

fs  
235  
A8X  
no.116  
Bot.

MINISTERO DI AGRICOLTURA, INDUSTRIA E COMMERCIO

DIREZIONE GENERALE DELL'AGRICOLTURA

ANNALI DI AGRICOLTURA  
1887.

STUDI BOTANICI SUGLI AGRUMI E SULLE PIANTE AFFINI

PER

O. PENZIG.

MEMORIA PREMIATA DAL R. MINISTERO D'AGRICOLTURA

(ATLANTE)



ROMA

TIPOGRAFIA EREDI BOTTA

























FS  
235  
AGX  
no. 116  
BOT

MINISTERO DI AGRICOLTURA, INDUSTRIA E COMMERCIO

DIREZIONE GENERALE DELL'AGRICOLTURA

# ANNALI DI AGRICOLTURA

## 1887.

STUDI BOTANICI SUGLI AGRUMI E SULLE PIANTE AFFINI

PER

O. PENZIG.

MEMORIA PREMIATA DAL R. MINISTERO D'AGRICOLTURA

(ATLANTE)



ROMA

TIPOGRAFIA EREDI BOTTA

1887



33.23  
P41  
tles

TAVOLA I.

# TAVOLA I.

- FIG. 1. — Piantina di seme del *Citrus Limonum*. — (gr. nat.)
- FIG. 2. — Sezione mediana del punto vegetativo d'una radichetta del *Citrus Limonum*: *e* = epidermide; *pe* = periblema; *pr* = procambio; *tc* = tessuto congiuntivo; *a* = focolare meristemico; *t* = serie di cellule radiate; *r* = luogo di differenziazione dell'epidermide; *c* e *d* = strati interni ed esterni della pileoriza [Vedi testo p. 17-19]. ( $\frac{700}{1}$ ).
- FIG. 3. — Sezione trasversale d'una radichetta del *Citrus Limonum*: *e* = epidermide; *s* = peli succhiatori; *pe* = parenchima corticale; *p* = pericambio; *f* = fasci di xilema; *l* = fasci di floema; *end* = endodermide [Vedi testo p. 19]. ( $\frac{450}{1}$ ).
- FIG. 4. — Cono di vegetazione, tolto dal fusto del *Citrus Limonum*. ( $\frac{60}{1}$ ).
- FIG. 5. — Sezione trasversale dell'asse ipocotileo di *Citrus Limonum* [Vedi testo p. 25]. ( $\frac{40}{1}$ ).
- FIG. 6. — Sezione trasversale dell'internodio epicotileo di *Citrus Limonum* [Vedi testo p. 25]. ( $\frac{40}{1}$ ).
- FIG. 7. — Epidermide d'un ramoscello giovane di *Citrus Aurantium*. ( $\frac{450}{1}$ ).
- FIG. 8. — Parte d'una sezione trasversale dell'asse ipocotileo di *Citrus Limonum*: *p* = parenchima corticale; *f* = parte del fascio legnoso; *m* = midollo, colle cellule punteggiate *a*, particolari al medesimo [Vedi testo p. 25]. ( $\frac{600}{1}$ ).
- FIG. 9. — Sezione longitudinale dell'epidermide (*e*) e degli strati ipodermici d'un rametto di *Citrus Aurantium*. ( $\frac{450}{1}$ ).



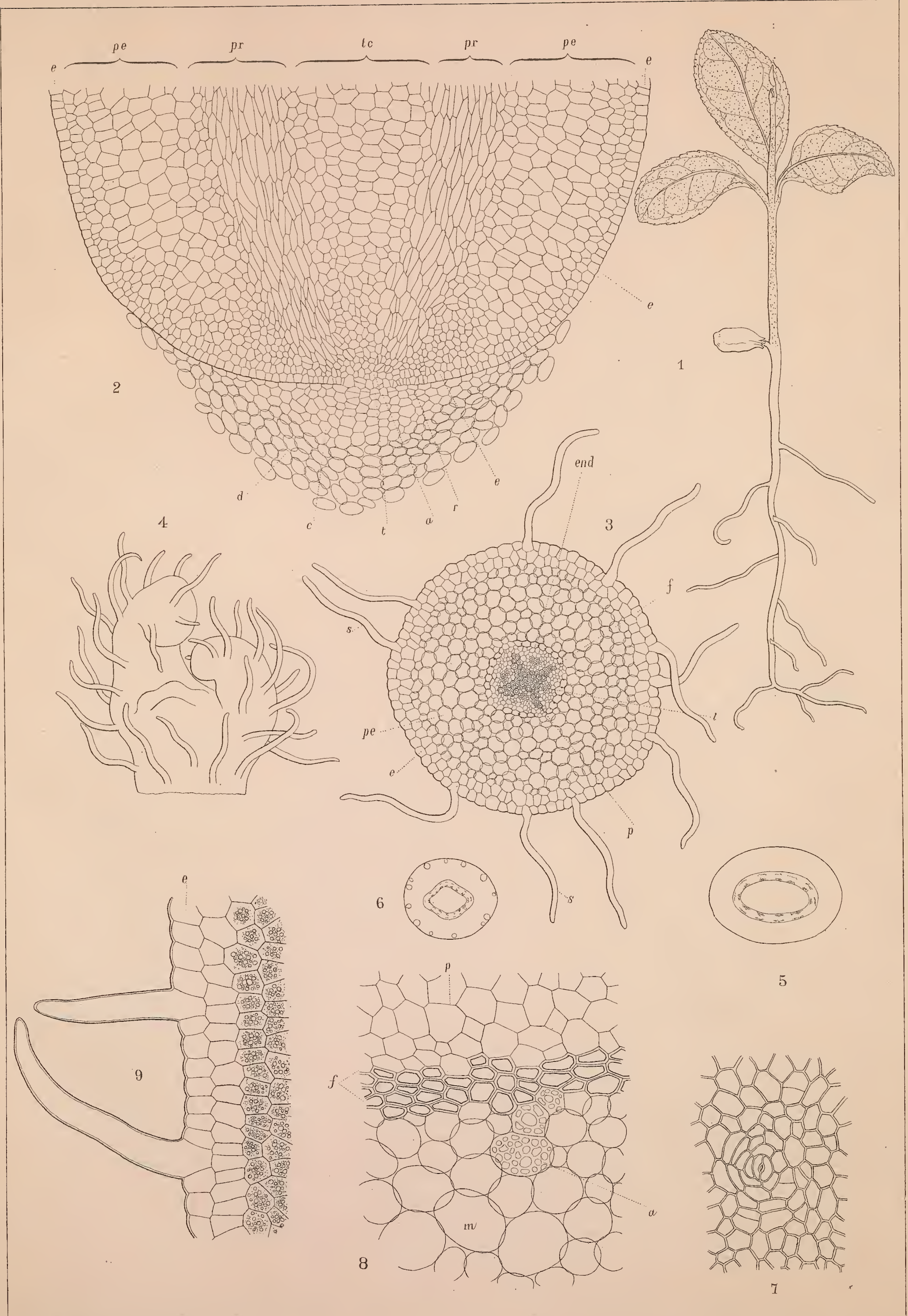




TAVOLA II.

## TAVOLA II.

- FIG. 1. — Figura schematica per il decorso dei fasci fibrovasali nei rami dei *Citrus*. Le righe verticali I-VIII indicano gli otto ortostici fogliari, le righe trasversali invece i singoli nodi dei rami. Le foglie vi sono inserite nell'ordine indicato dai numeri 1-22, secondo la spirale dell'indice fillofascico  $\frac{3}{8}$ . Ad ogni nodo entrano nel picciuolo cinque fasci, di cui uno più grande, centrale (*c*) e due paia di laterali, più piccoli [Vedi testo p. 28-30].
- FIG. 2. — Figura schematica per l'inserzione d'una foglia di *Citrus* sul suo ramo [Vedi testo p. 28; p. 240, 241].
- FIG. 3-13. — Serie di sezioni trasversali d'un internodio del ramo di *Citrus Aurantium*, per illustrare il decorso dei fasci fibrovasali [Vedi testo p. 28]. ( $\frac{8}{1}$ ).
- FIG. 14. — Sezione simile a quelle rappresentate dalle fig. 3-13, con divisione eccezionale dei fascetti laterali [Vedi testo p. 28]. ( $\frac{8}{1}$ ).
- FIG. 15. — Estremità d'un ramo di *Citrus Aurantium*. ( $\frac{1}{1}$ ).
- FIG. 16. — Sezione trasversale d'uno stoma situato nell'ipofillo di *Citrus Aurantium*. ( $\frac{450}{1}$ ).
- FIG. 17. — Parte della sezione trasversale del midollo d'un ramo di *Citrus Aurantium*, con cordoni speciali (*c*) di cellulosa attraverso le singole cellule [Vedi testo p. 33]. ( $\frac{450}{1}$ ).
- FIG. 18<sup>a</sup>. — Foglia d'arancio, con verruche sugherose [Vedi testo p. 58 e seg.]. ( $\frac{1}{1}$ ).
- FIG. 18<sup>b</sup>. — Sezione trasversale di simili foglie. ( $\frac{2}{1}$ ).
- FIG. 19. — Primordio d'una pustola sugherosa; ipofillo visto di faccia [Vedi testo p. 59]. ( $\frac{450}{1}$ ).
- FIG. 20. — Porzione di sezione trasversale d'una foglia con produzione sugherosa. ( $\frac{300}{1}$ ).
- FIG. 21. — Zona fellogena di simile produzione, più ingrandita [Vedi testo p. 60]. ( $\frac{600}{1}$ ).
- FIG. 22. — Porzione dell'epifillo d'una foglia di *Citrus Aurantium*, sovrastante ad una ghiandola oleifera. ( $\frac{600}{1}$ ).

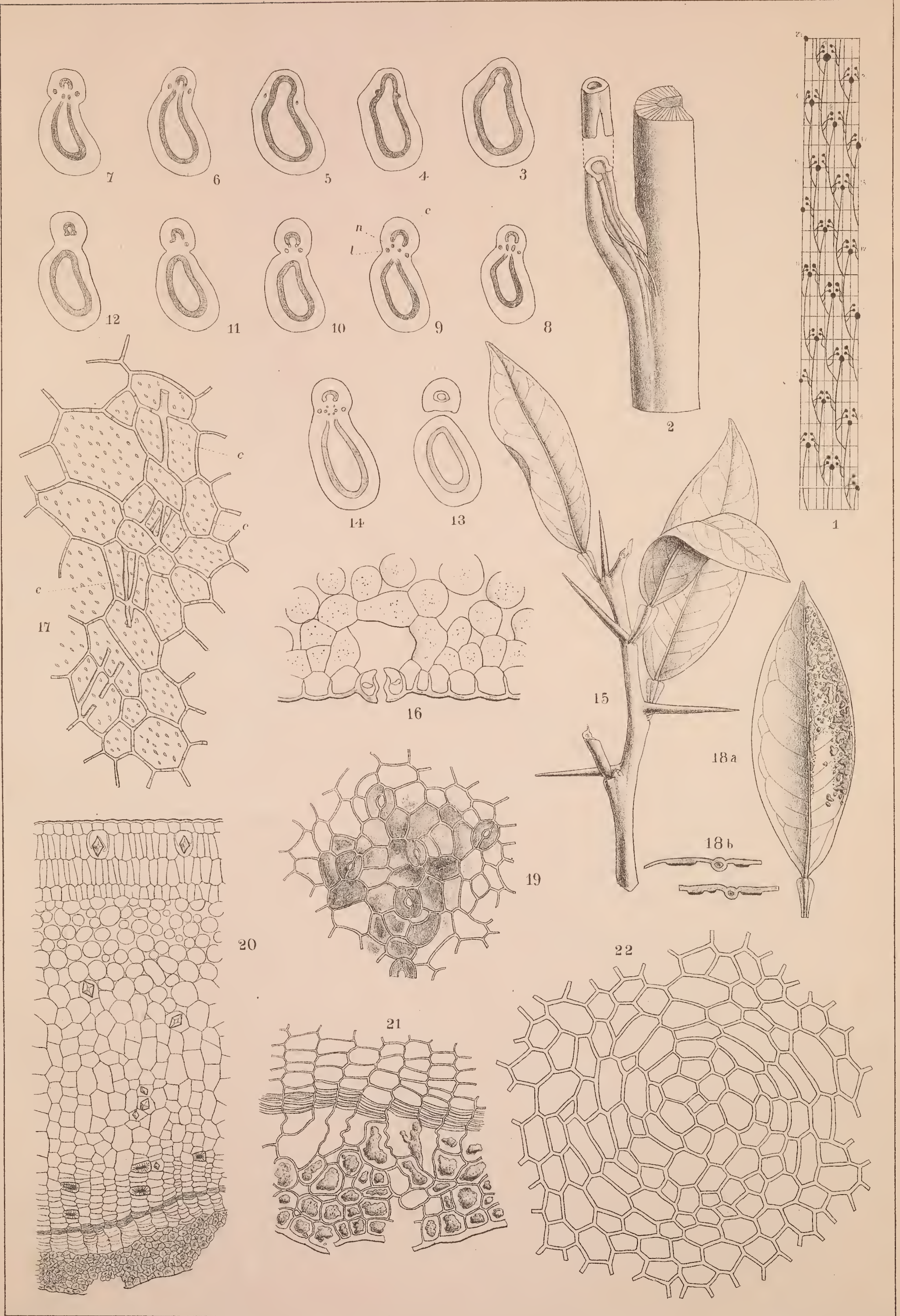




TAVOLA III.

## TAVOLA III.

- FIG. 1. — Parte della sezione trasversale d'un ramoscello di *Citrus Aurantium*: *e* = epidermide; *pc* = parenchima corticale; *l* = libro duro; *c* = libro tenero; *s* = cellule sclerotiche [Vedi testo p. 27]. ( $\frac{450}{1}$ ).
- FIG. 2. — Cellule dei raggi midollari (*Citrus Aurantium*), isolate per macerazione. ( $\frac{600}{1}$ ).
- FIG. 3. — Terminazioni di fibre libriformi, dai rami di *Citrus Aurantium*, isolate per macerazione. ( $\frac{600}{1}$ ).
- FIG. 4. — Serie di cellule del parenchima legnoso, d'un ramo d'arancio. ( $\frac{600}{1}$ ).
- FIG. 5. — Epidermide superiore d'una foglia di *Citrus Aurantium*, vista di faccia. ( $\frac{450}{1}$ ).
- FIG. 6. — Epidermide d'una spina d'arancio. ( $\frac{450}{1}$ ).
- FIG. 7. — Sezione longitudinale dell'articolazione del picciuolo (*Citrus Limonum*), subito dopo avvenuto il distacco della lamina fogliare [Vedi testo p. 44]. ( $\frac{300}{1}$ ).
- FIG. 8. — « Idioblasto del Pfitzer » in una foglia di *Citrus* [Vedi testo p. 49]. ( $\frac{600}{1}$ ).
- FIG. 9. — Cellula cristallifera nel parenchima corticale del picciuolo. ( $\frac{600}{1}$ ).
- FIG. 10. — Ipofillo d'una foglia giovanissima di *Citrus*, con stomi in varie fasi di sviluppo. ( $\frac{450}{1}$ ).
- FIG. 11. — Idioblasto analogo a fig. 8. ( $\frac{600}{1}$ ).
- FIG. 12-13. — Scheletri di simili idioblasti, dopo il trattamento coll'acido cloridico. ( $\frac{600}{1}$ ).
- FIG. 14-15. — Idioblasti analoghi a fig. 8 e 11. ( $\frac{600}{1}$ ).
- FIG. 16. — Cellula cristallifera, come in fig. 9. ( $\frac{600}{1}$ ).
- FIG. 17. — Idioblasto analogo a fig. 8, 11, 14, 15. ( $\frac{600}{1}$ ).



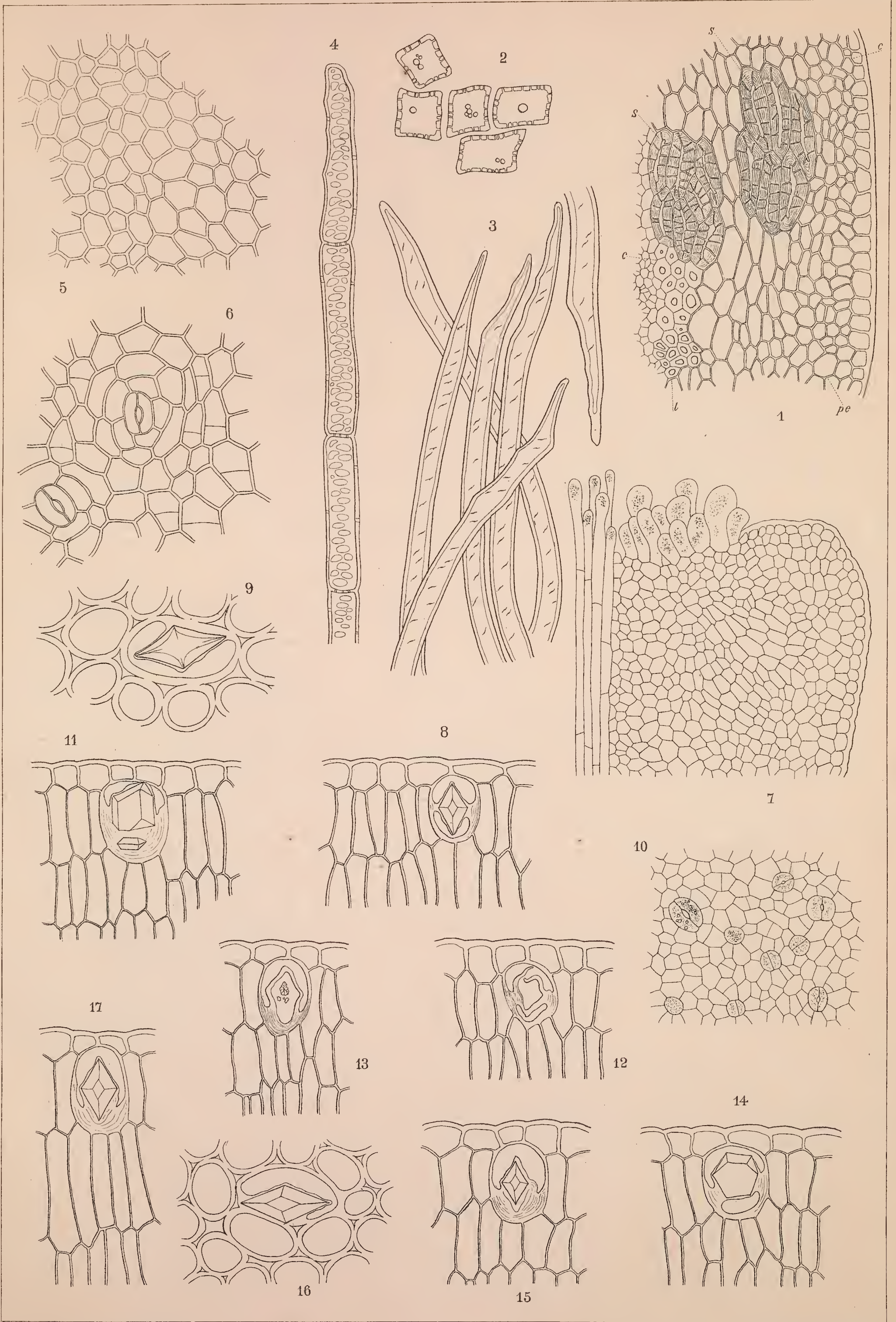




TAVOLA IV.

## TAVOLA IV.

FIG. 1. — Sezione longitudinale d'un fascio fibrovasale nel peduncolo florale di *Citrus Limonum* [da un abozzo fatto dal Prof. G. CUGINI]. ( $\frac{450}{1}$ ).

FIG. 2. — Sezione longitudinale d'un pistillo, tolto da un boccio d'arancio. ( $\frac{12}{1}$ ).

FIG. 3. — Idioblasto cristallifero nel tessuto parenchimatico d'un sepalò d'arancio. ( $\frac{450}{1}$ ).

FIG. 4-15. — Serie di sezioni trasversali del talamo florale d'un arancio, ascendente dall'inserzione del calice fino alla base dei carpidi; *s* = fasci proprj dei sepali; *p* = fasci dei petali; *a* = fasci entranti nell'androceo; *g* = fasci del gineceo [Vedi testo p. 69, 70]. ( $\frac{10}{1}$ ).

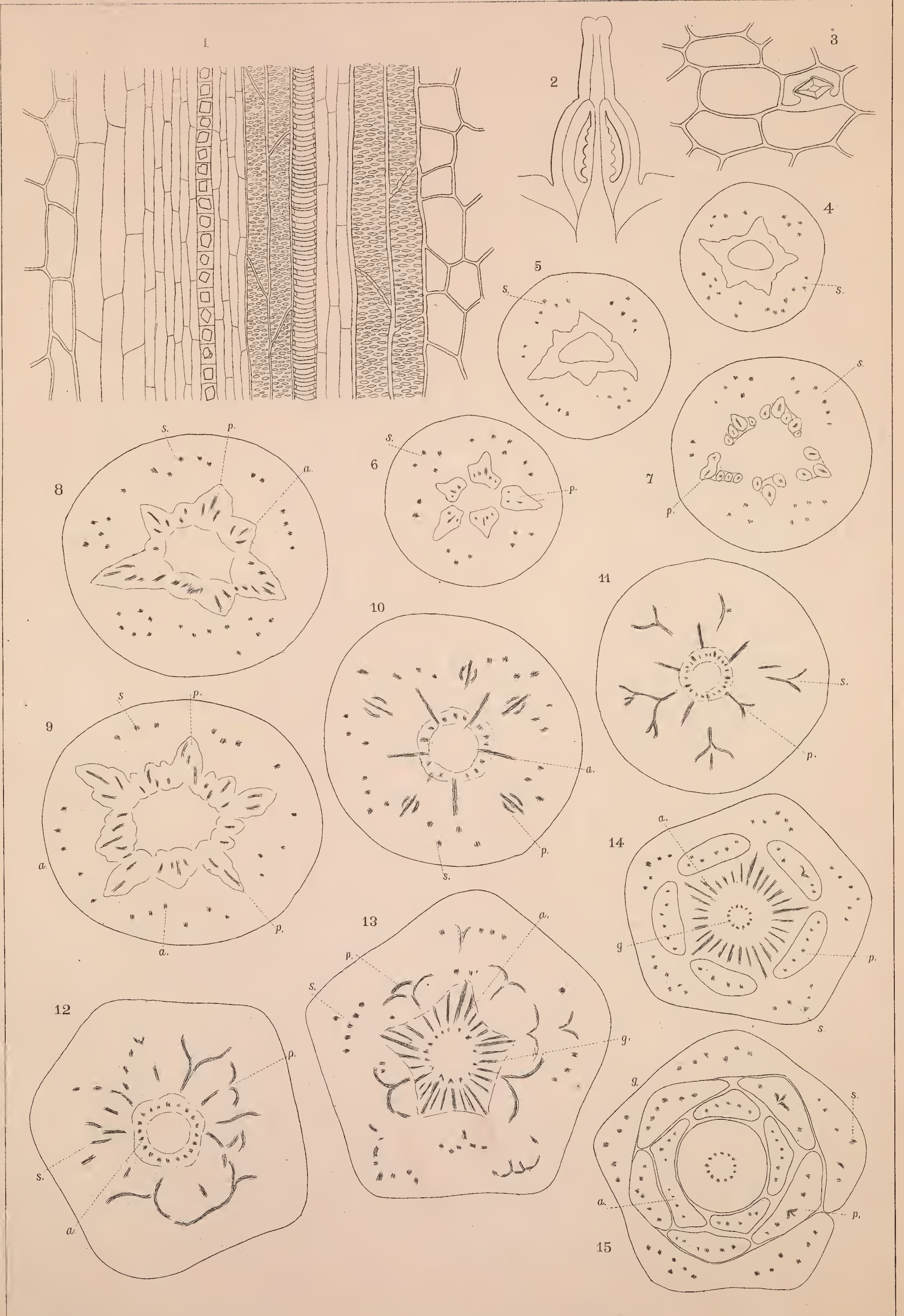




TAVOLA V.

## TAVOLA V.

- FIG. 1. — Peli della faccia interna del calice giovane (*Citrus Aurantium*). ( $\frac{450}{1}$ ).
- FIG. 2. — Abozzi dell'organogenia florale d'un *Citrus* (tolti dal Payer); i fiori sono visti dall'alto:  
*a* = fiore giovanissimo, nel quale sono visibili soltanto due sepali ( $s_1$  e  $s_2$ ) ed alcuni petali ( $p_1$  e  $p_2$ ); *b* = fiore più avanzato, nel quale sono già ben distinti tutti i sepali e petali; *c* = fiore, nel quale, oltre ai due verticilli involucrali, è già visibile il primo ciclo staminale [Vedi testo p. 69].
- FIG. 3. — Cellule punteggiate dei raggi midollari, nel peduncolo florale di *Citrus Aurantium*. ( $\frac{600}{1}$ ).
- FIG. 4. — Peli analoghi a quelli illustrati in fig. 1 di questa tavola, ma d'un calice vecchio. ( $\frac{450}{1}$ ).
- FIG. 5-7. — Disposizione dei grani clorofillici nelle macchie delle foglie di *Citrus Limonum fol. varieg.*  
[Vedi testo pag. 56, 57]. ( $\frac{600}{1}$ ).
- FIG. 8. — Sezione trasversale del lato esterno d'un petalo di *Citrus medica*. ( $\frac{450}{1}$ ).
- FIG. 9. — Granello di polline d'un *Citrus*, molto ingrandito. ( $\frac{600}{1}$ ).
- FIG. 10. — Epidermide esterna d'un petalo di *Citrus medica*, vista di faccia. ( $\frac{450}{1}$ ).
- FIG. 11. — Grani di polline maturi di *Citrus Aurantium*, messi nell'acqua. ( $\frac{300}{1}$ ).
- FIG. 12. — Epidermide interna, papillosa d'un petalo di *Citrus medica*. ( $\frac{450}{1}$ ).
- FIG. 13-14. — Sviluppo dei granelli di polline dalle cellule madri (*Citrus Aurantium*). ( $\frac{250}{1}$ ).
- FIG. 15. — Stomi rudimentali sull'epidermide delle antere (*Citrus Aurantium*). ( $\frac{450}{1}$ ).



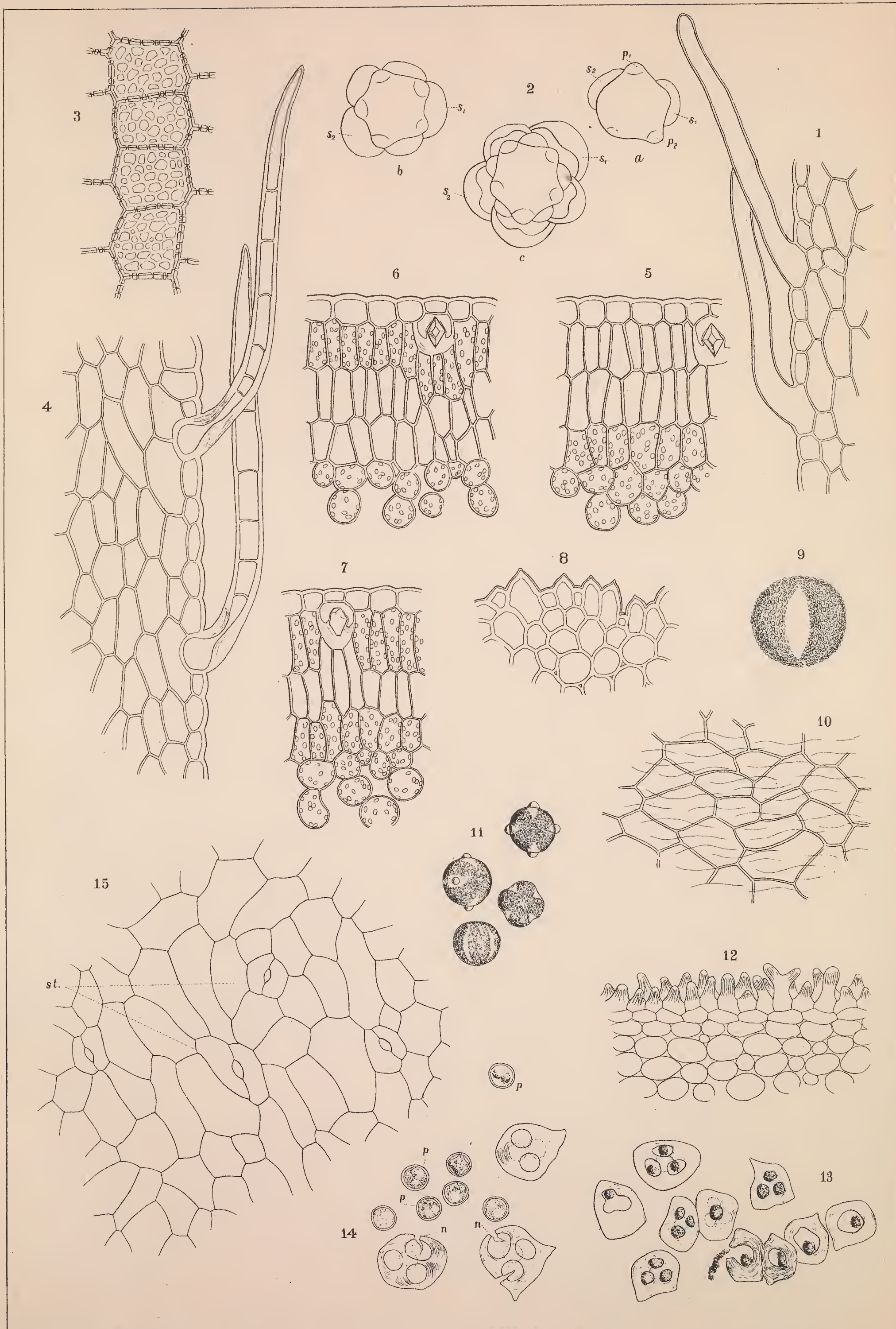




TAVOLA VI.

## TAVOLA VI.

- FIG. 1. — Sezione longitudinale d'una metà dello stamma con granelli di polline (*p*) (*Citrus Aurantium*). ( $\frac{250}{1}$ ).
- FIG. 2. — Sezione trasversale dello stamma (*Citrus Limonum*): *s* = solchi stammatici; *f* = fasci fibrovasali; *g* = ghiandole oleifere. ( $\frac{100}{1}$ ).
- FIG. 3. *a, b, c.* — Sezioni trasversali dello stilo in diverse altezze: *ca* = canali stilari; *f* = fasci fibrovasali.
- FIG. 4. — Sezione longitudinale dello stamma (*Citrus Limonum*): *p* = granelli pollinici; *f* = fasci dello stilo; *c* = epitelio che riveste i canali stilari. ( $\frac{140}{1}$ ).
- FIG. 5. — Sezione longitudinale (schematica) d'un ovulo di *Citrus*: *f* = funicolo; *p* = primina; *s* = secondina; *n* = nucella; *se* = sacco embrionale; *m* = micropilo.
- FIG. 6. — Angolo interno d'una loggia ovariale (sez. trasv.) di *Citrus Aurantium*, coi peli conduttori (*p*) [Vedi testo p. 81]. ( $\frac{140}{1}$ ).
- FIG. 7. — Epidermide dell'ovario giovanissimo di *Citrus Aurantium*. ( $\frac{450}{1}$ ).
- FIG. 8. — Sezione trasversale d'un ovario giovane, non fecondato di *Citrus*. ( $\frac{12}{1}$ ).
- FIG. 9. — Sezione trasversale d'una loggia dell'ovario (*Citrus Aurantium*), con due ovuli collaterali: *p* = peli conduttori; *e* = emergenze nascenti della polpa. ( $\frac{80}{1}$ ).
- FIG. 10-11-12. — Diversi stadij di sviluppo delle emergenze della polpa, dal primo apparire in poi [Vedi testo p. 92]. ( $\frac{330}{1}$ ).
- FIG. 13. *a, b, c.* — Punteggiature particolari delle cellule mesocarpiche nel genere *Citrus* [Vedi testo p. 90]. ( $\frac{600}{1}$ ).
- FIG. 14. — Cellule idioblastiche, ingrossate e punteggiate, nell'epidermide d'una emergenza della polpa [Vedi testo p. 93 e 243]. ( $\frac{450}{1}$ ).
- FIG. 15. — Sezione trasversale della parete dell'antera, nel *Citrus Aurantium*: *e* = epidermide; *f* = cellule Purkinjane; *n* = secondo strato di cellule spirali; *d* = rimasugli dello strato più interno. ( $\frac{330}{1}$ ).

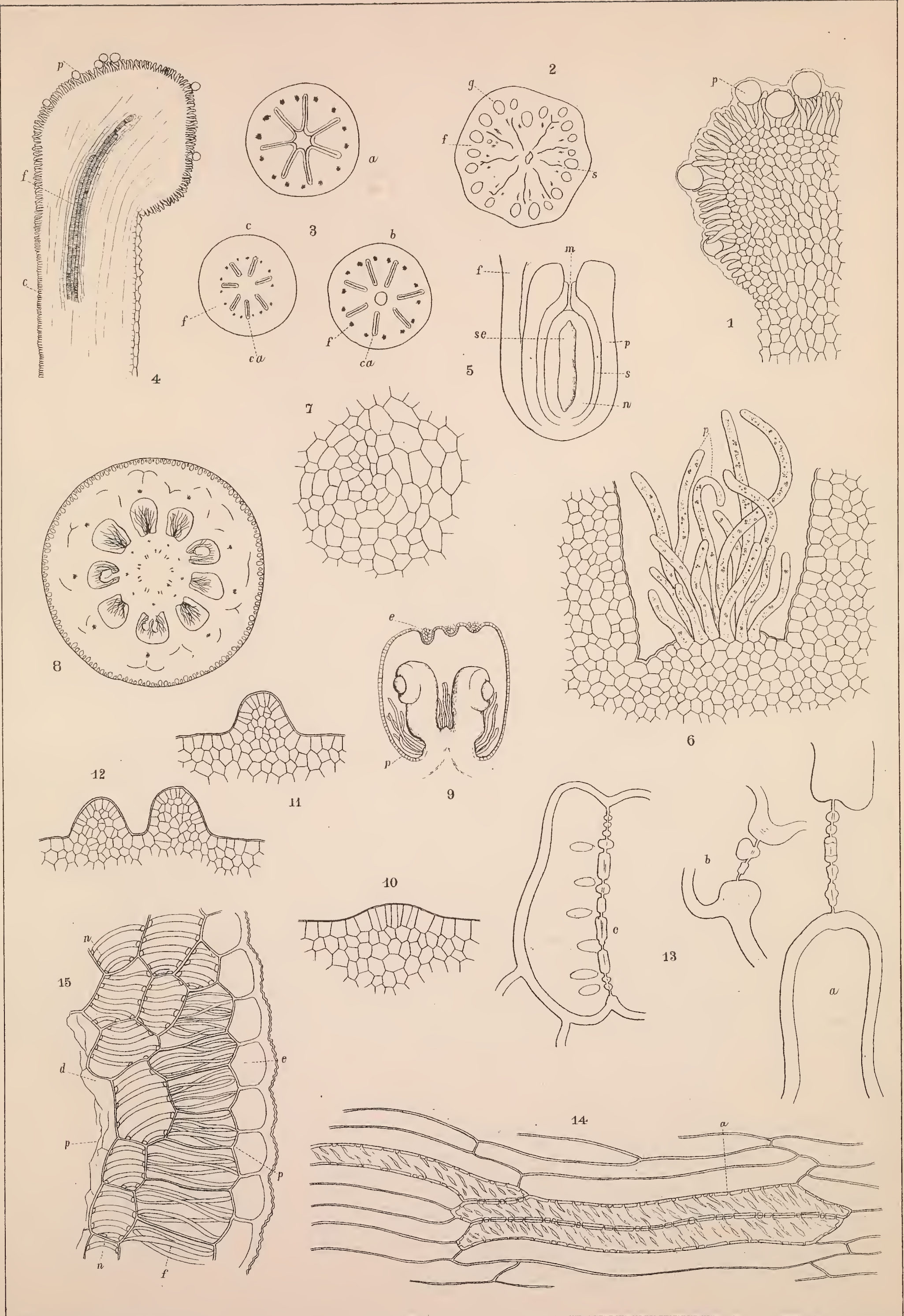




TAVOLA VII.

## TAVOLA VII.

- FIG. 1. — Epidermide delle emergenze della polpa nel *Citrus Aurantium*. ( $\frac{450}{1}$ ).
- FIG. 2. — Parenchima interno di tali emergenze, con gruppi di cristalli d'ossalato calcico. ( $\frac{450}{1}$ ).
- FIG. 3. — Sezione trasversale (radiale) d'un tramezzo del frutto (Arancio). ( $\frac{450}{1}$ ).
- FIG. 4. — Semi di *Citrus Aurantium*, di varia forma e grandezza. ( $\frac{1}{1}$ ).
- FIG. 5. — Sezione trasversale degli strati più esterni d'un tramezzo nel frutto immaturo di *Citrus vulgaris*: *a* = cellula ingrossata. ( $\frac{500}{1}$ ).
- FIG. 6. — Sezione trasversale analoga alla precedente, in un arancio maturo. ( $\frac{450}{1}$ ).
- FIG. 7. — Sezione attraverso gli integumenti d'un seme non completamente maturo di *Citrus Aurantium*: *d* = zona dura; *p* = stati interni della primina; *s* = secondina; *n* = tessuti del cotiledone [Vedi testo p. 95, 96]. ( $\frac{450}{1}$ ).
- FIG. 8. — Cellule della zona dura del seme maturo, tagliate trasversalmente [Vedi testo p. 96]. ( $\frac{450}{1}$ ).
- FIG. 9. — Simili cellule, sovrastanti al rafe del seme: lo strato esterno, mucilaginoso è del tutto disciolto (da un disegno del Prof. CUGINI). ( $\frac{500}{1}$ ).
- FIG. 10. — Innervazione d'un cotiledone di *Citrus*, figura schematica (secondo GODFRIN) [Vedi testo p. 43].
- FIG. 11. — Cristallini geminati di ossalato calcico, dalla polpa di limone. ( $\frac{800}{1}$ ).
- FIG. 12. — Cellule parenchimatiche dall'interno dei cotiledoni di *Citrus*, ricche di sostanze grasse e di aleurona ( $\frac{600}{1}$ ).



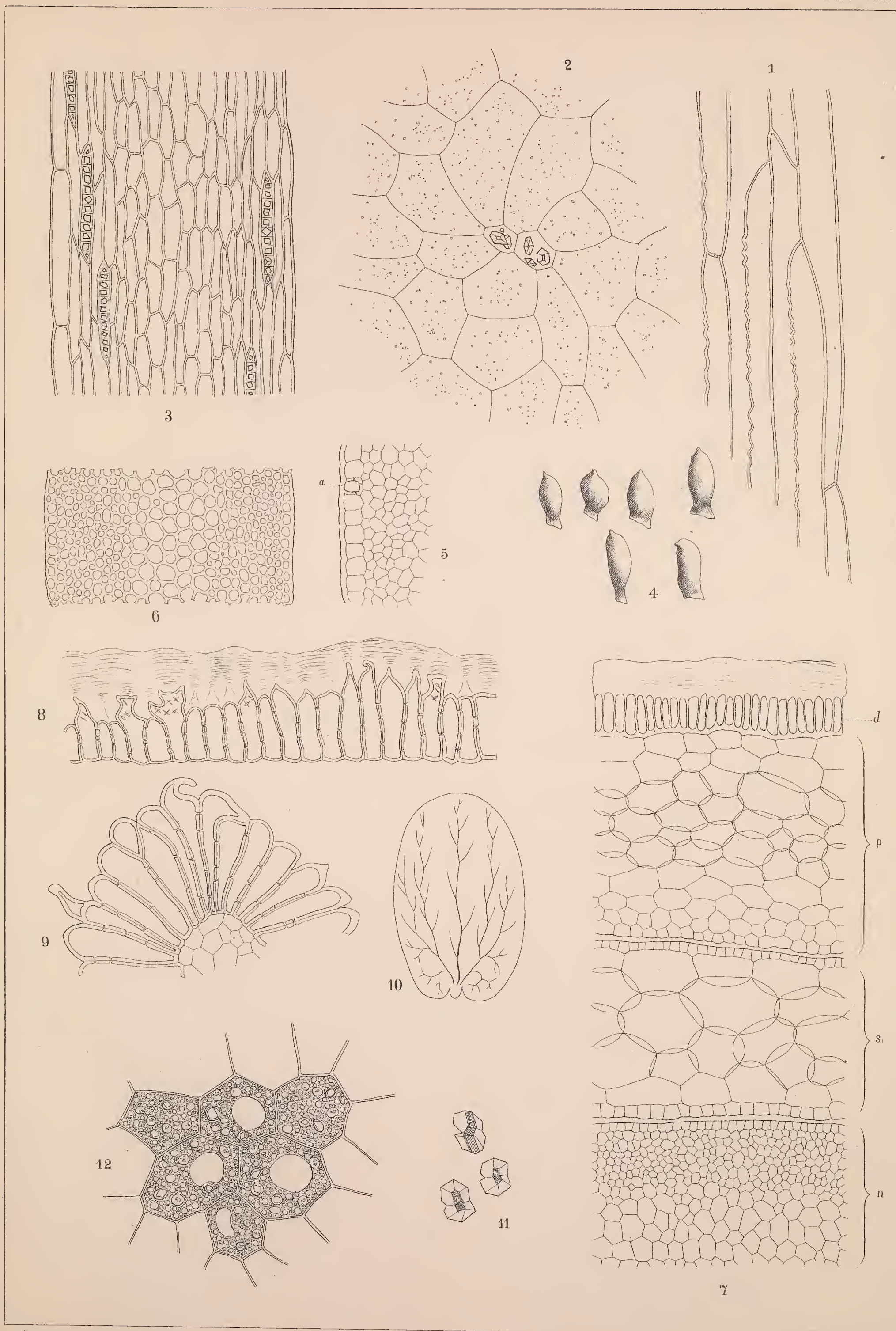




TAVOLA VIII.

## TAVOLA VIII.

- FIG. 1-2. — Casi di saldature anormali degli stami col pistillo. ( $\frac{3}{1}$ ) (secondo RISSO).
- FIG. 3. — Stame petaloideo [Vedi testo p. 101]. ( $\frac{3}{1}$ ) (secondo RISSO).
- FIG. 4-5. Alterazione morfologica dei bocci fiorali in una varietà d'arancio [Vedi testo p. 111]. ( $\frac{3}{1}$ ).
- FIG. 6. — Calice accresciuto ed ingiallito dopo la caduta dell'ovario [Vedi testo p. 100]. ( $\frac{1}{1}$ ).
- FIG. 7. — Cristalli del Rosanoff, a due uniti in una cellula, nel calice di limone. ( $\frac{450}{1}$ ).
- FIG. 8. — Sezione trasversale d'un fiore mostruoso come in fig. 4 e 5. ( $\frac{30}{1}$ ).
- FIG. 9-10. — Embrione tricotiledone di *Citrus Aurantium*. ( $\frac{1}{1}$ ).
- FIG. 11. — Endocarpio del frutto, visto di faccia. ( $\frac{450}{1}$ ).
- FIG. 12. — Mostrosità dell'androceo nell'arancio: gli stami sono trasformati in carpelli e saldati al gineceo, portato da un ginoforo [Vedi testo p. 101 e 102]. ( $\frac{3}{1}$ ) (da LE MAOÛT).
- FIG. 13. — Caso di saldatura anormale degli stami col pistillo. ( $\frac{3}{1}$ ) (secondo RISSO).
- FIG. 14. — Embrione anormale d'arancio, con cotiledoni molto disuguali ( $\frac{2}{1}$ ).
- FIG. 15. — Sezione longitudinale d'un seme con molti embrioni (Arancio). ( $\frac{4}{1}$ ).
- FIG. 16. — Sezione trasversale d'un frutto d'arancio, con leggera adesmia dei carpelli. ( $\frac{1}{1}$ ).
- FIG. 17-18. — « Limoni digitati », con adesmia carpidea. ( $\frac{1}{1}$ ).
- FIG. 19. — Sezione longitudinale del frutto figurato nella fig. 18. ( $\frac{1}{1}$ ).
- FIG. 20-21. — Altri casi di adesmia carpidea, nell'arancio. ( $\frac{1}{1}$ ).
- FIG. 22. — Piantina germogliante di limone. ( $\frac{1}{1}$ ).

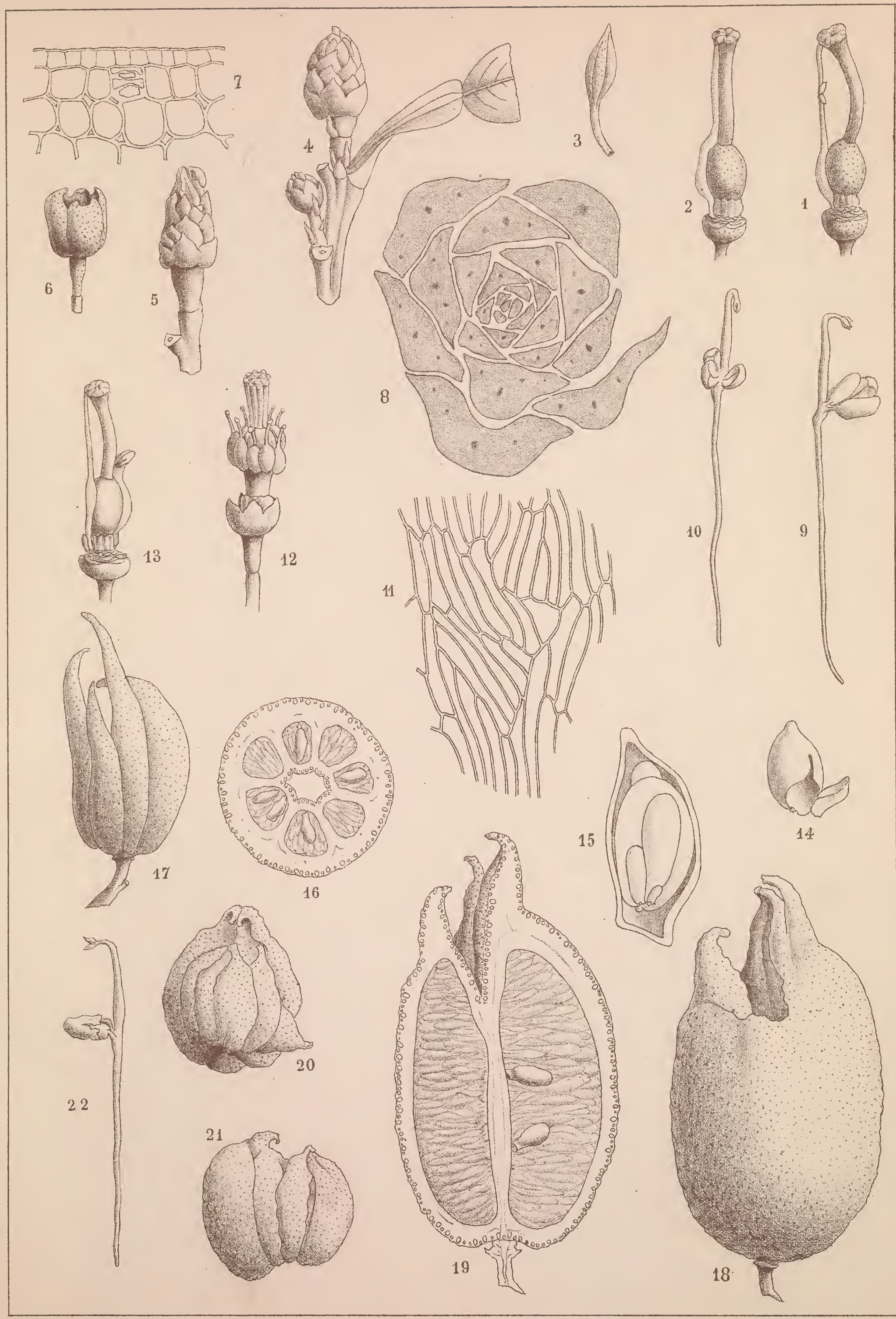




TAVOLA IX.

## TAVOLA IX.

FIG. 1. — Cedro a frutto digitato. ( $\frac{1}{7}$ ).

FIG. 2. — Sezione del medesimo frutto ( $\frac{1}{7}$ ).

FIG. 3. — Limone con adesmia carpidea molto pronunciata. ( $\frac{1}{7}$ ).

FIG. 4-5. — Sezione longitudinale e figura intera d'un limone digitato. ( $\frac{1}{7}$ ).

FIG. 6. — Limone simile a quello della fig. 3 ( $\frac{1}{7}$ ).

FIG. 7-8. — Sezioni trasversali di limoni con adesmia parziale dei carpidi. ( $\frac{1}{7}$ ).

[Gli abbozzi per le figure di questa tavola furono disegnate dal Prof. G. CUGINI].



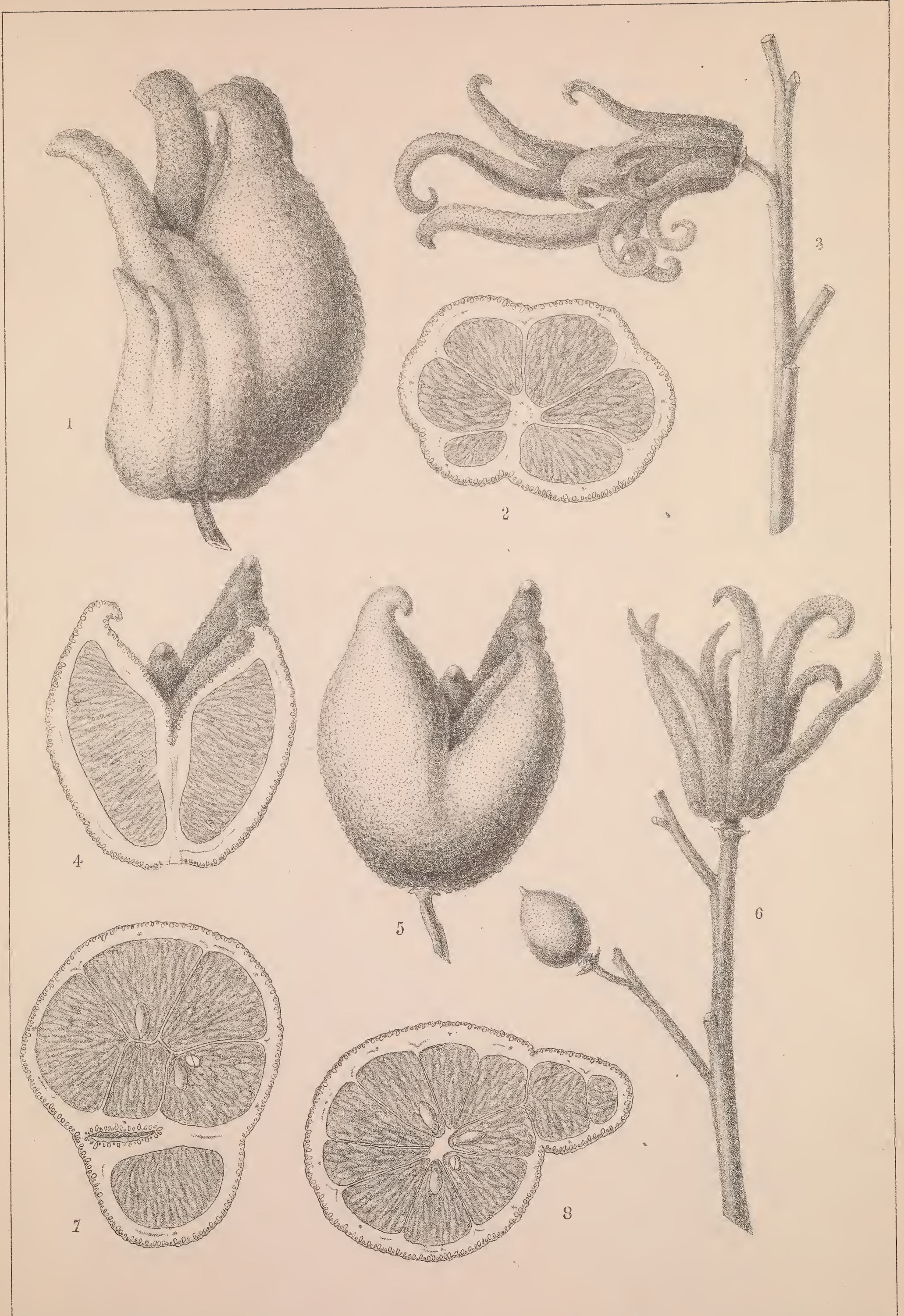




TAVOLA X.

## TAVOLA X.

FIG. 1-2. — Sezioni trasversale e longitudinale d'un arancio prolifero, con poche logge accessorie. ( $\frac{1}{1}$ ).

FIG. 3. — Sezione trasversale d'un arancio prolifero. ( $\frac{1}{1}$ ).

FIG. 4. — Arancio con diafisi centrale fruttipara, dal quale è levata la scorza. ( $\frac{1}{1}$ ).

FIG. 5. — Sezione longitudinale dello stesso arancio, colla scorza. ( $\frac{1}{1}$ ).

FIG. 6. — Frutto di cedro, con ipertrofie locali del mesocarpio. ( $\frac{1}{1}$ ). [Da un disegno del Prof. G. CUGINI].

### *Fig. 7-11.* — **CITRUS DECUMANA.**

FIG. 7. — Sezione verticale d'uno stoma situato sulla faccia esterna d'un petalo. ( $\frac{450}{1}$ ).

FIG. 8. — Papille della faccia interna d'un petalo. ( $\frac{450}{1}$ ).

FIG. 9. — Peli della faccia interna d'un sepalo. ( $\frac{450}{1}$ ).

FIG. 10. — Pelo della faccia esterna d'un sepalo. ( $\frac{450}{1}$ ).

FIG. 11. — Collenchima nel midollo del peduncolo florale. ( $\frac{450}{1}$ ).

### *Fig. 12-14.* — **CITRUS HYSTRIX.**

FIG. 12. — Semi ( $\frac{1}{1}$ ).

FIG. 13. — Escrescenze molto allungate e curvate delle cellule della zona dura nel seme [Vedi testo p. 132]. ( $\frac{450}{1}$ ).

FIG. 14. — Epidermide d'un ramo, visto di faccia. ( $\frac{450}{1}$ ).

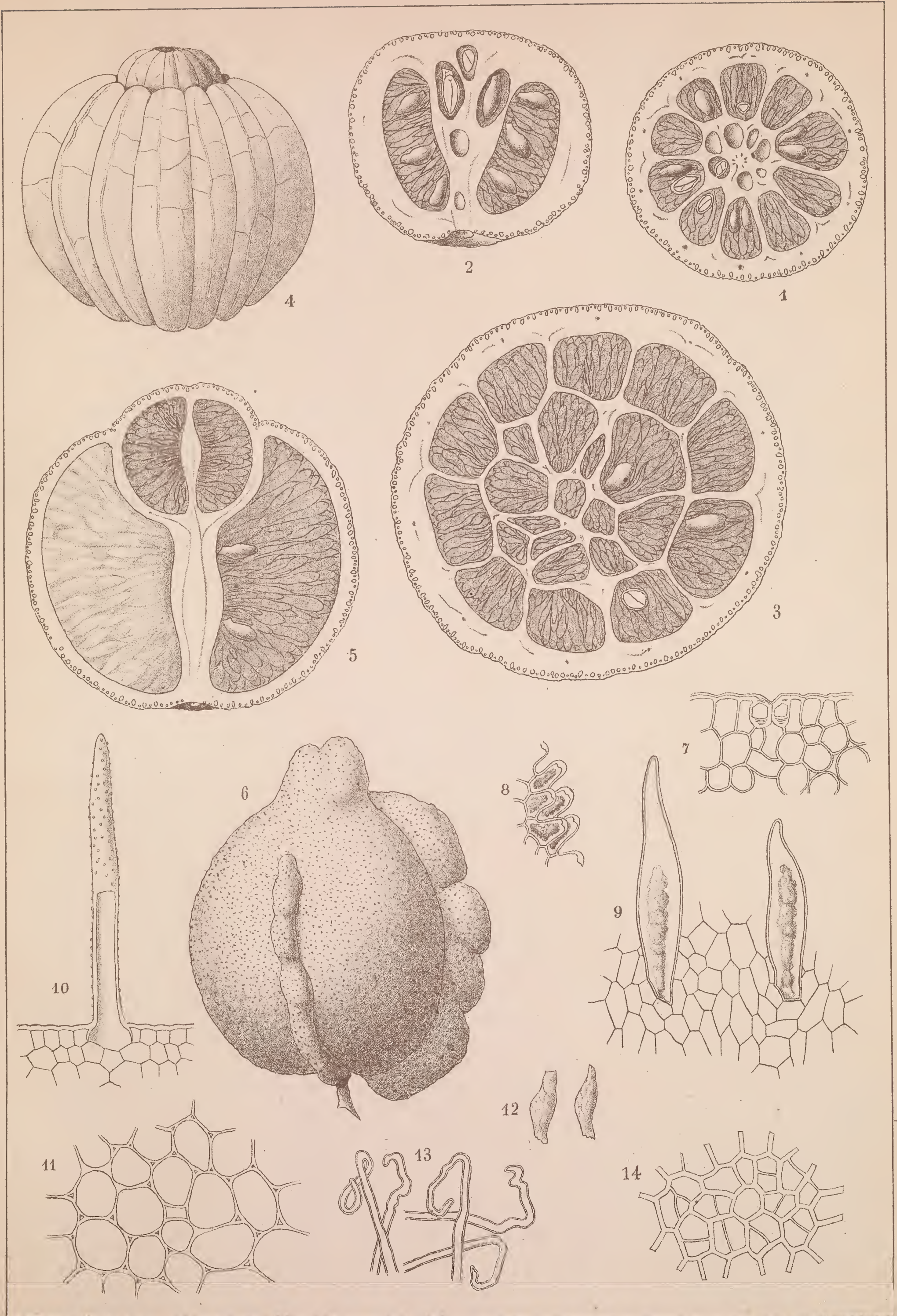




TAVOLA XI.

## TAVOLA XI.

### Fig. 1-5. — AEGLE SEPIARIA.

- FIG. 1. — Epidermide e collenchima in una squametta (catafillo).  $(\frac{450}{1})$ .
- FIG. 2. — Uno dei tricomi singolari residenti sulle emergenze della polpa [Vedi testo p. 146].  $(\frac{450}{1})$ .
- FIG. 3. — Granelli composti d'amido, nei cotiledoni.  $(\frac{800}{1})$ .
- FIG. 4-5. — Germogliazione dell' *Aegle sepiaria*.  $(\frac{1}{1})$ .

### Fig. 6-17. — ATALANTIA BUXIFOLIA.

- FIG. 6. — Sezione trasversale d'una foglia.  $(\frac{300}{1})$ .
- FIG. 7. — Epifillo della foglia: *a* = cellule sovrastanti ad una ghiandola interna d'olio etereo.  $(\frac{450}{1})$ .
- FIG. 8. — Ipofillo della foglia, con stomi.  $(\frac{450}{1})$ .
- FIG. 9. — Boccio florale.  $(\frac{1}{1})$ .
- FIG. 10. — Fiore privo di petali.  $(\frac{1}{1})$ .
- FIG. 11. — Rametto con fiore.  $(\frac{1}{1})$ .
- FIG. 12. — Epidermide della faccia superiore d'una brattea.  $(\frac{450}{1})$ .
- FIG. 13. — Pelo del margine ciliato d'una perula.  $(\frac{450}{1})$ .
- FIG. 14. — Gruppo di cellule sclerotiche nel parenchima corticale della radice.  $(\frac{450}{1})$ .
- FIG. 15. — Epidermide esterna d'un sepallo, a cellule apofisate.  $(\frac{450}{1})$ .
- FIG. 16. — Epidermide interna d'un petalo, con stomi male conformati.  $(\frac{450}{1})$ .
- FIG. 17. — Fibra tramezzata del legno della radice, con cristalli d'ossalato calcico saldati alla parete cellulare.  $(\frac{450}{1})$ .



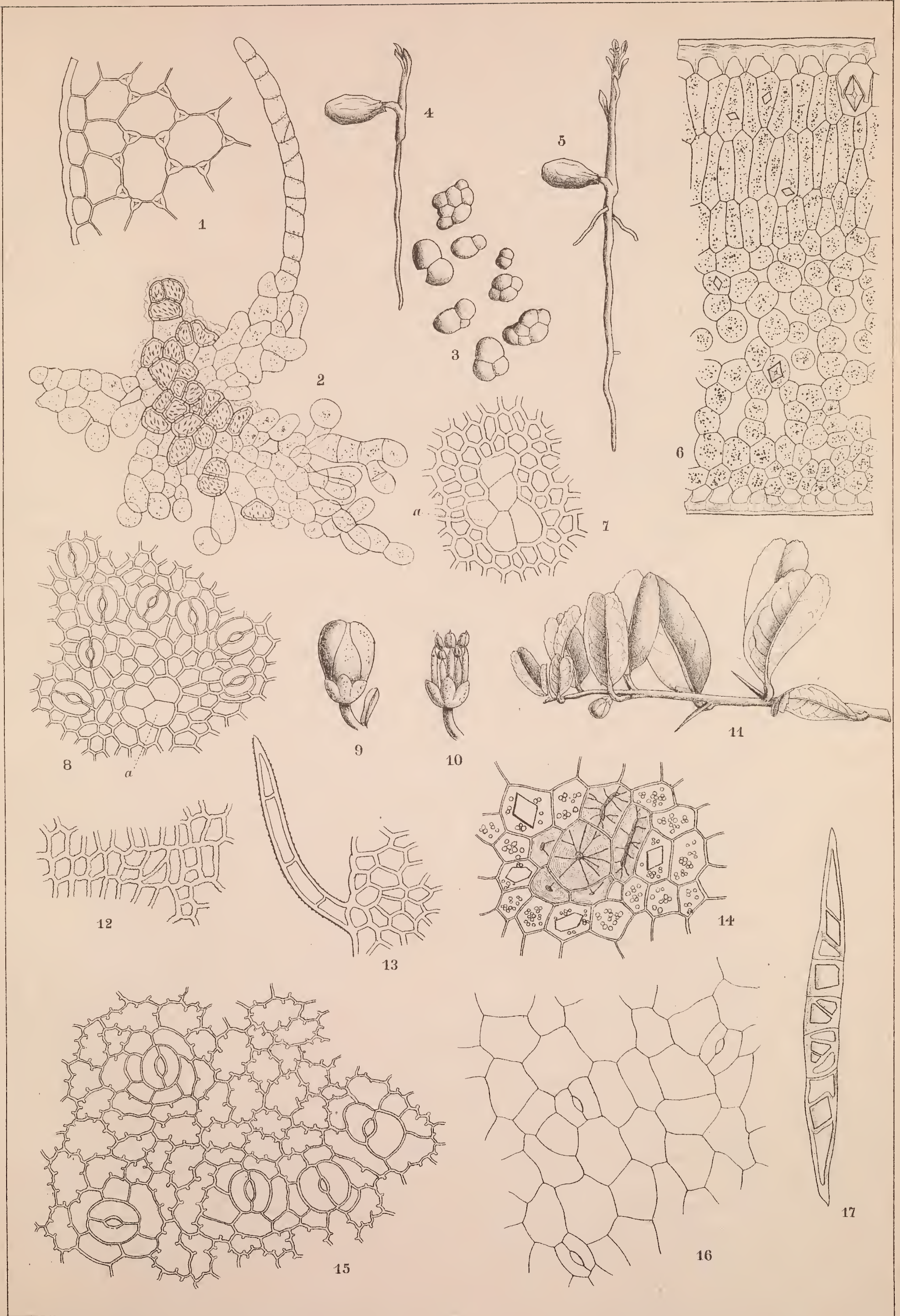


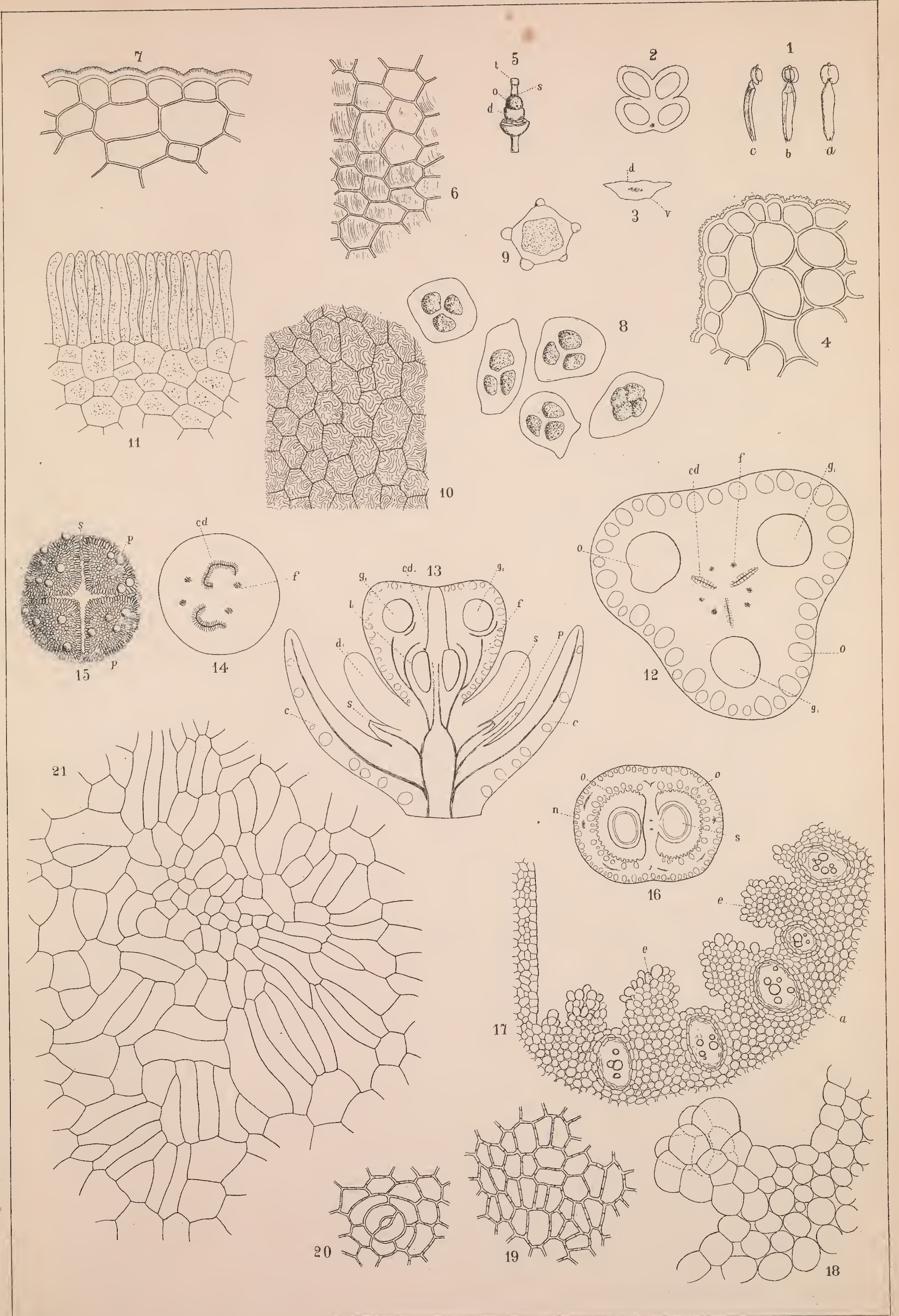


TAVOLA XII.

# TAVOLA XII.

## ATALANTIA BUXIFOLIA.

- FIG. 1. — Stami, visti dal dorso (*a*), di faccia (*b*) e dal fianco (*c*). ( $\frac{8}{1}$ ).
- FIG. 2. — Sezione trasversale d'una antera. ( $\frac{36}{1}$ ).
- FIG. 3. — Sezione trasversale d'un filamento: *v* = faccia ventrale, *d* = faccia dorsale. ( $\frac{36}{1}$ ).
- FIG. 4. — Parte d'una sezione d'un filamento, molto ingrandita, per far vedere le pieghe cuticolari. ( $\frac{450}{1}$ ).
- FIG. 5. — Gineceo e disco; sono stati tolti dal fiore i sepali, petali e stami: *d* = disco; *o* = ovario; *s* = stilo; *t* = stimma. ( $\frac{6}{1}$ ).
- FIG. 6. — Epidermide dello stilo. Le pieghe cuticolari seguono la direzione longitudinale dello stilo. ( $\frac{450}{1}$ ).
- FIG. 7. — Parte d'una sezione trasversale dello stilo. ( $\frac{450}{1}$ ).
- FIG. 8. — Sviluppo del polline. Le cellule madri riunite in tetradi. ( $\frac{450}{1}$ ).
- FIG. 9. — Granello maturo di polline.
- FIG. 10. — Epidermide dei filamenti, con pieghe cuticolari molto sinuose. ( $\frac{450}{1}$ ).
- FIG. 11. — Papille stigmatiche. ( $\frac{450}{1}$ ).
- FIG. 12. — Sezione trasv. dell'ovario, nella metà superiore: *o* = ghiandole comuni; *g* = riserbatoi d'olio grasso; *f* = fasci fibrovascolari; *cd* = canali stilari. ( $\frac{30}{1}$ ).
- FIG. 13. — Sezione longitudinale d'un fiore: *c* = calice; *p* = petalo; *ss* = stami; *d* = disco; *l* = logge ovariali, *g* = riserbatoi d'olio grasso, *cd* = canali stilari; *f* fasci fibrovasc. ( $\frac{20}{1}$ ).
- FIG. 14. — Sezione trasversale dello stilo: *cd* = canali stilari; *f* = fasci fibrovascolari. ( $\frac{40}{1}$ ).
- FIG. 15. — Stimma, visto dall'alto: *s* = solchi stigmatici; *p* = granelli di polline. ( $\frac{40}{1}$ ).
- FIG. 16. — Sezione trasversale dell'ovario fecondato: *n* = ghiandole d'olio etereo; *o* = ghiandole endocarpiche; *s* = semi. ( $\frac{20}{1}$ ).
- FIG. 17. — Parte della stessa sezione, più ingrandita: *a* = ghiandole; *e* = emergenze della parete. ( $\frac{300}{1}$ ).
- FIG. 18. — Una di tali emergenze, in istadio giovane. ( $\frac{450}{1}$ ).
- FIG. 19-20. — Epicarpio. ( $\frac{450}{1}$ ).
- FIG. 21. — Endocarpio, al disopra d'una delle ghiandole interne del frutto. ( $\frac{450}{1}$ ).





TAVOLA

TAVOLA XIII.

# TAVOLA XIII.

## AEGLE SEPIARIA.

- FIG. 1. — Cilindro centrale d'una radice giovane (Sez. trasv.):  $c$  = parenchima corticale;  $e$  = endoderme;  $p$  = pericambio;  $f$  = fasci primordiali (xilema);  $l$  = fasci primordiali di libro (floema);  $t$  = tessuto congiuntivo. ( $\frac{450}{1}$ ).
- FIG. 2. — Sezione verticale dell'ipofillo d'una foglia:  $a$  = camera ipostomatica. ( $\frac{450}{1}$ ).
- FIG. 3. — Sezione trasversale d'una radice di media età:  $r$  = strati esterni di sughero;  $c$  = parenchima corticale;  $s$  = zona interna di sughero;  $p$  = pericambio;  $l$  = libro duro;  $n$  = libro tenero;  $b$  = zona di rigenerazione;  $f$  = legno interfascicolare;  $pr$  = i sei fasci primordiali. ( $\frac{20}{1}$ ).
- FIG. 4. — Parte della sezione precedente, molto più ingrandita. Le diverse lettere hanno la medesima significazione, come nella figura precedente:  $e$  = endoderme. ( $\frac{450}{1}$ ).
- FIG. 5. — Estremità d'un ramo. ( $\frac{1}{1}$ ).
- FIG. 6. — Midollo dei rami, composto di due generi di cellule, di cui soltanto quelle ingrossate ( $a$ ) contengono amido e cristalli.
- FIG. 7. — Sezione longitudinale d'uno stoma, sui rami:  $e$  = camera epistomatica;  $a$  = camera ipostomatica. ( $\frac{450}{1}$ ).
- FIG. 8. — Sezione trasversale per stomi analoghi. ( $\frac{450}{1}$ ).
- FIG. 9. — Simili stomi visti di faccia; non ne appare che la camera epistomatica. ( $\frac{450}{1}$ ).
- FIG. 10. — Orlo fimbriato della squametta esterna delle gemme. ( $\frac{140}{1}$ ).
- FIG. 11. — Margine fimbriato di una delle squame interne delle gemme. ( $\frac{450}{1}$ ).



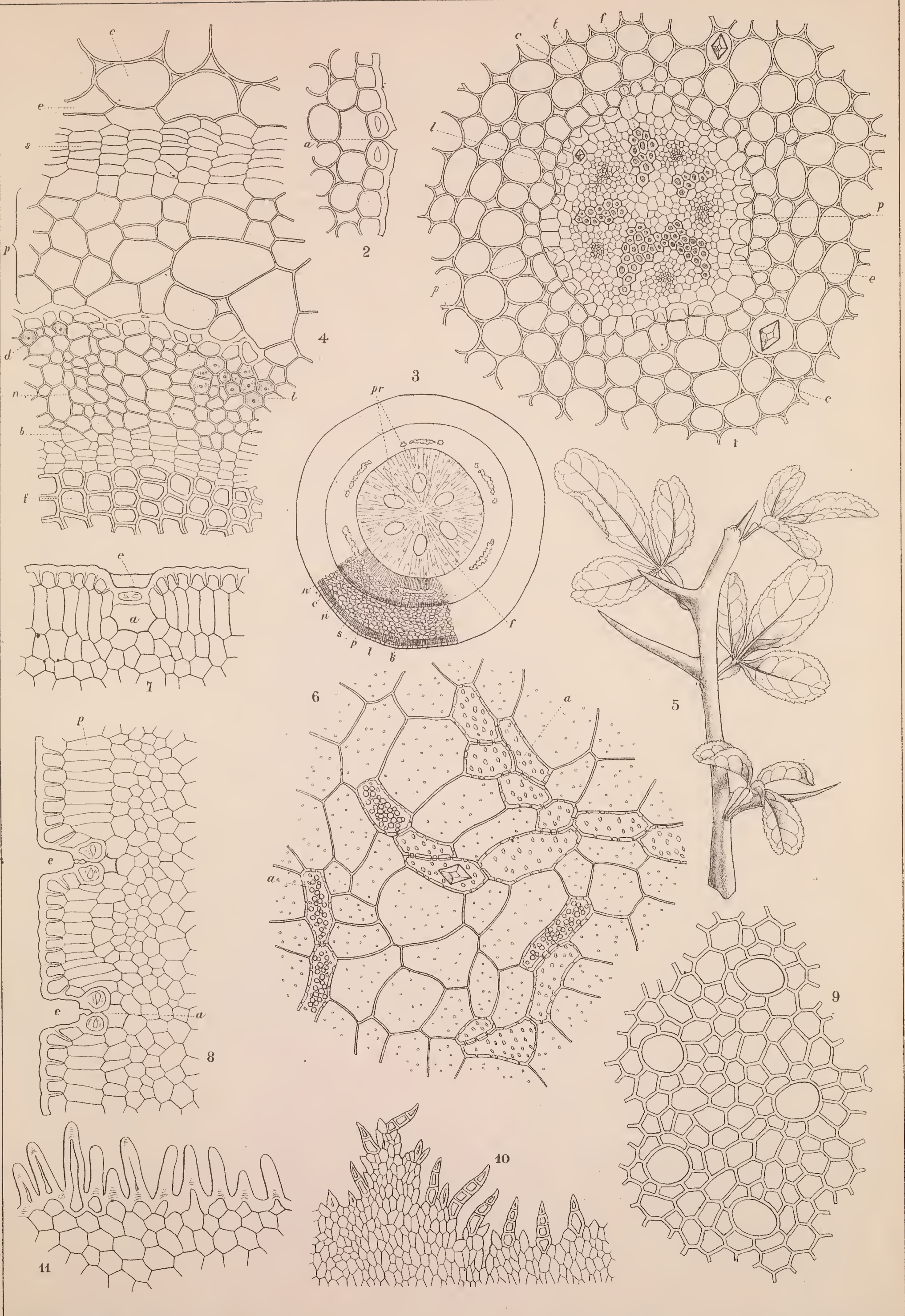




TAVOLA XIV.

# TAVOLA XIV.

## AEGLE SEPIARIA.

- FIG. 1. — Epicarpio dell'*Aegle sepiaria*. ( $\frac{450}{1}$ ).
- FIG. 2. — Sezione verticale d'un setto del frutto. ( $\frac{450}{1}$ ).
- FIG. 3. — Sferocristalli della Aegleina [Vedi testo p. 146 e 297]. ( $\frac{450}{1}$ ).
- FIG. 4. — Sezione verticale dell'epicarpio e del mesocarpio. ( $\frac{450}{1}$ ).
- FIG. 5. — Punteggiature particolari delle cellule mesocarpiche. ( $\frac{600}{1}$ ).
- FIG. 6. — Sezione trasversale d'un ovario giovane. ( $\frac{6}{1}$ ).
- FIG. 7. — *a* = seme dell'*Aegle sepiaria*. ( $\frac{1}{1}$ ); *b* un embrione, a cui è tolto uno dei cotiledoni. ( $\frac{1}{1}$ );  
*c* = plumula e radichetta dell'embrione. ( $\frac{16}{1}$ ).
- FIG. 8. — Due emergenze della polpa isolate, sulla cui superficie spuntano tricomi particolari [Vedi testo p. 146].
- FIG. 9-10-11. — Tali tricomi secernenti, molto ingranditi [Vedi testo p. 146]. ( $\frac{450}{1}$ ).
- FIG. 12. — Alcune cellule epidermiche di emergenze della polpa, con punteggiature.
- FIG. 13. — Epidermide interna d'un sepalò, a cellule apofisate. ( $\frac{450}{1}$ ).
- FIG. 14. — Sezione trasversale dei cotiledoni, al punto dove essi si saldano. ( $\frac{450}{1}$ ).
- FIG. 15. — Sezione d'un fascio fibrovascolare degli stessi cotiledoni. ( $\frac{450}{1}$ ).

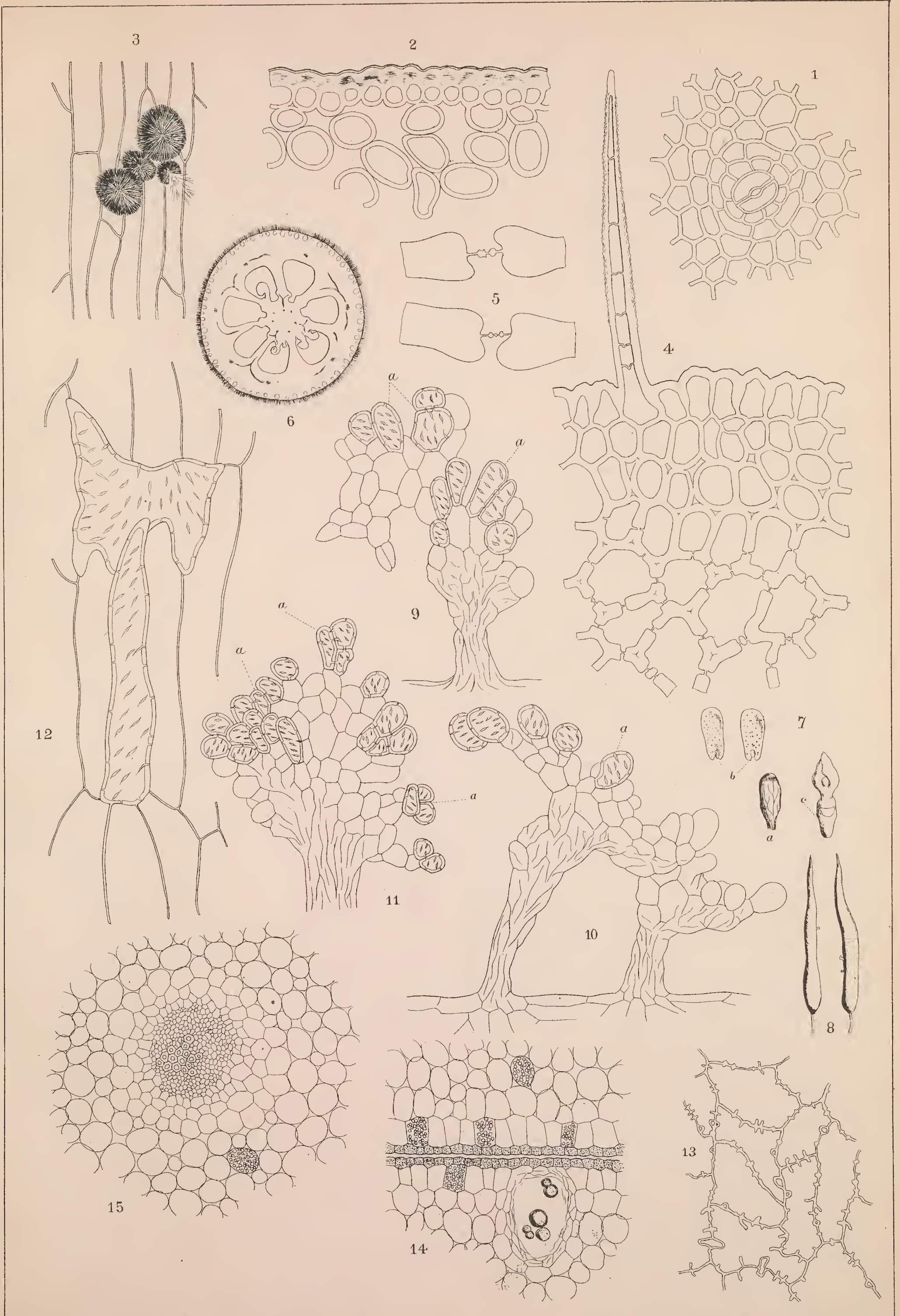




TAVOLA XV.

# TAVOLA XV.

## COOKIA PUNCTATA.

- FIG. 1-2. — Druse (*dd*) del Rosanoff, nelle cellule midollari dei rami. ( $\frac{450}{1}$ ).
- FIG. 3. — Formazione d'un canale gommifero nel midollo dei rami. ( $\frac{450}{1}$ ).
- FIG. 4. — Parenchima corticale della rachide fogliare. ( $\frac{450}{1}$ ).
- FIG. 5. *a-b*. — Serie di sezioni trasversali d'un ramo, all'inserzione d'una foglia; *c* = fascio centrale del picciuolo; *l* = fasci laterali. ( $\frac{1}{1}$ ).
- FIG. 6. *a-e*. — Serie di sezioni trasversali della rachide fogliare: *a* più vicino alla base; *e* vicino all'apice [Vedi testo p. 169]. ( $\frac{15}{1}$ ).
- FIG. 7-8-9. — Vari stadi di sviluppo delle emergenze (verruche) glandulifere, sulla superficie dei rami. ( $\frac{450}{1}$ ).
- FIG. 10. — Epidermide del picciuolo, con un pelo. ( $\frac{450}{1}$ ).
- FIG. 11. — Sezione trasversale d'una foglia, con druse stellate. ( $\frac{300}{1}$ ).
- FIG. 12. — Parte della sezione trasversale d'un ramo: *r* = parenchima corticale; *l* = fibre del libro duro; *t* = libro tenero; *c* = cambio; *f* = fibre legnose e vasi; *m* = raggi midollari. ( $\frac{250}{1}$ ).
- FIG. 13. — Gemma terminale d'un ramo [Vedi testo p. 172]. ( $\frac{1}{1}$ ).
- FIG. 14. — Epicarpio del frutto, con stomi e con un pelo. ( $\frac{450}{1}$ ).
- FIG. 15. — Porzione d'una sezione longitudinale d'un sepalo [Vedi testo pag. 174]. ( $\frac{300}{1}$ ).



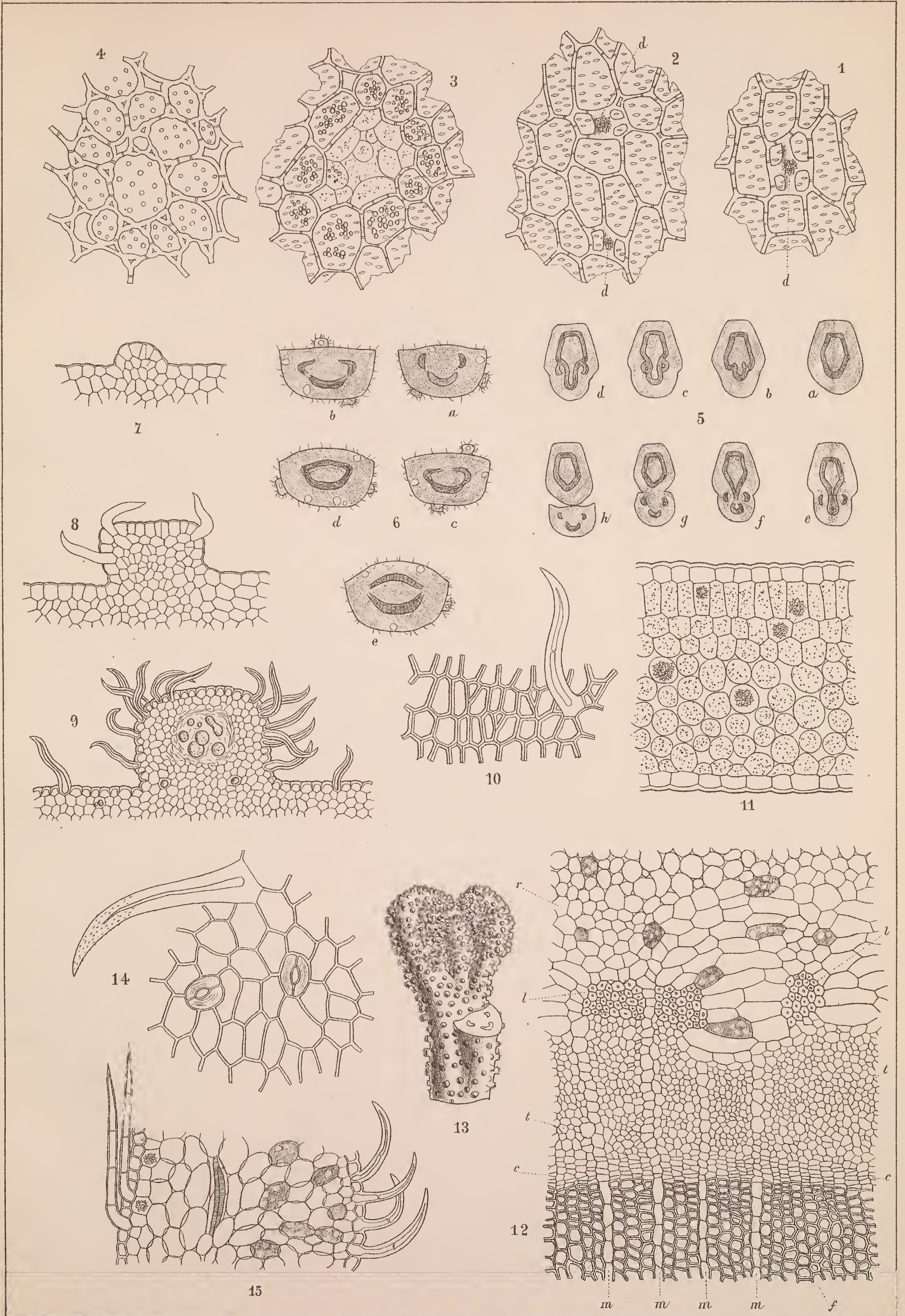




TAVOLA XVI.

# TAVOLA XVI.

*Fig. 1-18.* — **COOKIA PUNCTATA.**

- FIG. 1. — Rametto dell'infiorescenza. ( $\frac{1}{1}$ ).  
FIG. 2. — Diagramma teorico del fiore.  
FIG. 3. — Sezione trasversale d'un boccio florale. ( $\frac{8}{1}$ ).  
FIG. 4. — Epidermide interna d'un petalo, con peli capitati. ( $\frac{450}{1}$ ).  
FIG. 5. — Sezione trasversale della parte interna d'un petalo. ( $\frac{450}{1}$ ).  
FIG. 6. — Epidermide esterna d'un petalo. ( $\frac{450}{1}$ ).  
FIG. 7. — Fiore privo di petali e di stami. ( $\frac{4}{1}$ ).  
FIG. 8. — Fiore privo di petali. ( $\frac{4}{1}$ ).  
FIG. 9. — Rametto con due frutti maturi. ( $\frac{1}{1}$ ).  
FIG. 10-11. — Sezioni trasversali dell'ovario. ( $\frac{24}{1}$  e  $\frac{40}{1}$ ).  
FIG. 12. — Sezione longitudinale del pistillo. ( $\frac{24}{1}$ ).  
FIG. 13. — Un petalo. ( $\frac{8}{1}$ ).  
FIG. 14. — Sezione longitudinale dello stilo. ( $\frac{15}{1}$ ).  
FIG. 15. — Sezione trasversale dello stilo. ( $\frac{24}{1}$ ).  
FIG. 16. — Sezione trasversale d'una loggia ovariale, con peli e col primordio d'un ovulo. ( $\frac{120}{1}$ ).  
FIG. 17. — Metà d'un frutto maturo, visto dal lato. ( $\frac{8}{1}$ ).  
FIG. 18. — Sezione trasversale d'un frutto maturo. ( $\frac{3}{1}$ ).

*Fig. 19-22.* — **MURRAYA EXOTICA.**

- FIG. 19-20-22. — Epidermide dei rami, vista di faccia, con pieghe cuticolari. ( $\frac{450}{1}$ ).  
FIG. 21. — Epidermide dei rami, vista in sezione trasversale. ( $\frac{450}{1}$ ).

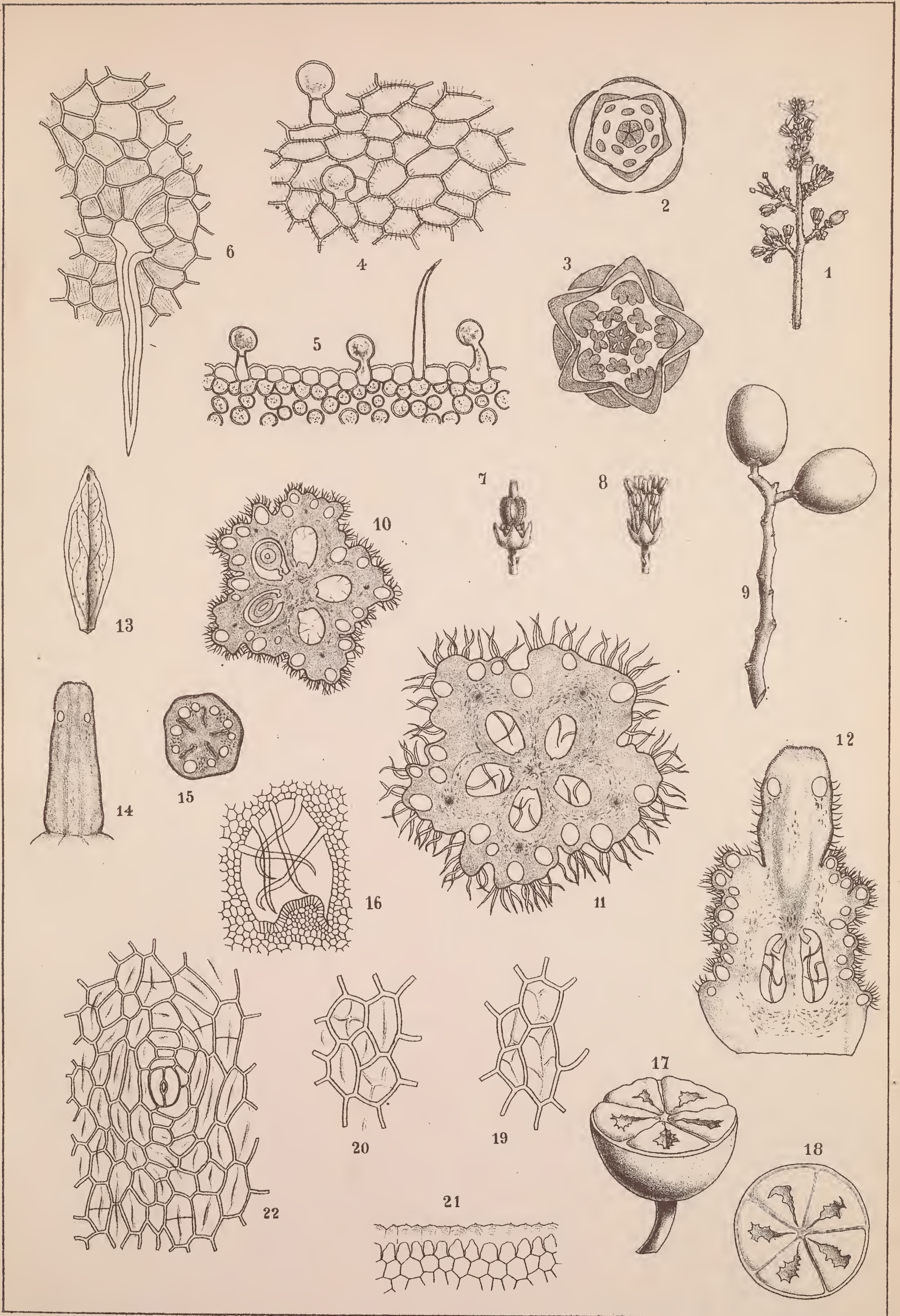




TAVOLA XVII.

# TAVOLA XVII.

## MURRAYA EXOTICA.

- FIG. 1. — Elementi del legno di *Murraya exotica*, isolati per macerazione: *p* = parenchima legnoso; *f* = fibra libriforme; *t* = tracheide. ( $\frac{600}{1}$ ).
- FIG. 2. — Serie di sezioni trasversali della rachide, dalla base (*a*) fino all'apice (*b*). ( $\frac{20}{1}$ ).
- FIG. 3. — Sezione trasversale d'un picciuolletto. ( $\frac{25}{1}$ ).
- FIG. 4. — Sezione trasversale della nervatura mediana d'una fogliolina. ( $\frac{40}{1}$ ).
- FIG. 5. — Sezione longitudinale del punto di vegetazione, all'apice d'un ramo. ( $\frac{240}{1}$ ).
- FIG. 6. — Pelo dell'epifillo. ( $\frac{450}{1}$ ).
- FIG. 7. — Peli sulla faccia dorsale d'una brattea. ( $\frac{450}{1}$ ).
- FIG. 8. — Parte d'una sezione trasversale del picciuolletto: *p* = parenchima corticale; *c* = cellule colenchimoidee del libro; *s* = fibre sclerotiche, isolate; *t* = libro tenero. ( $\frac{450}{1}$ ).
- FIG. 9. — Cristalli del Rosanoff, riuniti in due in una cellula del parenchima, nel peduncolo della *Murraya exotica*. ( $\frac{450}{1}$ ).
- FIG. 10. — Petali, in grandezza naturale.
- FIG. 11. — Epidermide interna dei petali. ( $\frac{450}{1}$ ).
- FIG. 12-13. — Epidermide esterna dei petali. ( $\frac{450}{1}$ ).
- FIG. 14. — Epidermide dei filamenti. ( $\frac{450}{1}$ ).
- FIG. 15. — Estremità d'un ramo fogliato, in grandezza naturale.
- FIG. 16. — Papille epidermiche delle antere, rivestite di una cuticola pieghettata. ( $\frac{450}{1}$ ).
- FIG. 17. — Granelli di polline. ( $\frac{450}{1}$ ).
- FIG. 18. — Taglio trasversale della parete d'un'antera: *e* = epidermide; *p* = cellule Purkinjane. ( $\frac{450}{1}$ ).



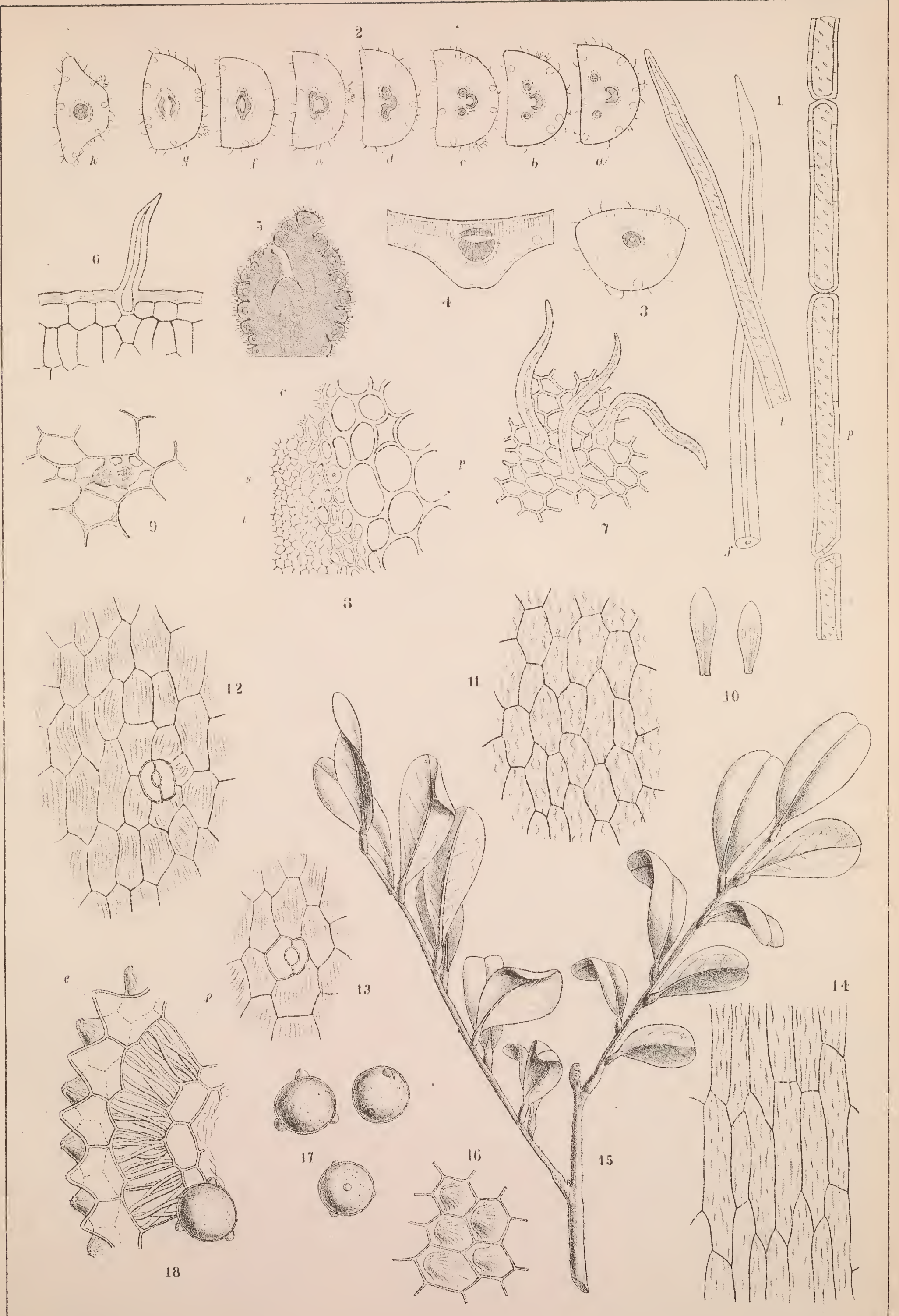




TAVOLA XVIII.

# TAVOLA XVIII.

## MURRAYA EXOTICA.

- FIG. 1. — Cristallo del Rosanoff, nel tessuto del disco florale. ( $\frac{450}{1}$ ).
- FIG. 2. — Pistillo. ( $\frac{3}{1}$ ).
- FIG. 3-7. — Sezioni attraverso lo stilo e l'apice dell'ovario, per illustrare la connessione dei canali stilari colle logge ovariali: *g* = ghiandole; *f* fasci fibrovascolari; *c* = canali stilari; *p* (in fig. 6 e 7) = peli conduttori. ( $\frac{20}{1}$ ).
- FIG. 8. — Figura schematica dell'infiorescenza [Vedi testo p. 187].
- FIG. 9. — Cellule del mesocarpio. ( $\frac{450}{1}$ ).
- FIG. 10. — Sezione trasversale d'una loggia ovariale: *p* = peli conduttori; *n* = primordi delle emergenze parietali. ( $\frac{450}{1}$ ).
- FIG. 11. — Pelo conduttore in un frutto quasi maturo. ( $\frac{450}{1}$ ).
- FIG. 12. — Sezione longitudinale dell'apice d'un ovario. ( $\frac{120}{1}$ ).
- FIG. 13. — Frutto quasi maturo. ( $\frac{1}{1}$ ).
- FIG. 14. — Il medesimo, tagliato a traverso: *n* = loggia sterile, compressa. ( $\frac{1}{1}$ ).
- FIG. 15. — Seme: *a* = il seme a superficie villosa; *b* = sezione trasversale; *c* = embrione; *d* = embrione visto dalla parte basale. ( $\frac{1}{1}$ ).
- FIG. 16. — Un embriofillo, colla plumula e la radichetta. ( $\frac{5}{1}$ ).
- FIG. 17. — Sezione longitudinale dello stilo: *p* = epitelio del canale stilare; *s* = cellule circostanti, oblique; *e* = astuccio di cellule più forti, a pareti brune [Vedi il testo p. 190].
- FIG. 18. — Sezione trasversale degli integumenti del seme: *a* = ciocche di peli secernenti; *b* = tessuto interno, clorofillico della primina; *c* = epidermide interna della medesima; *d* = cellule della secondina; *e* = epidermide interna. ( $\frac{450}{1}$ ).
- FIG. 19-20. — Ciocche di peli secernenti, dal testa del seme. ( $\frac{450}{1}$ ).

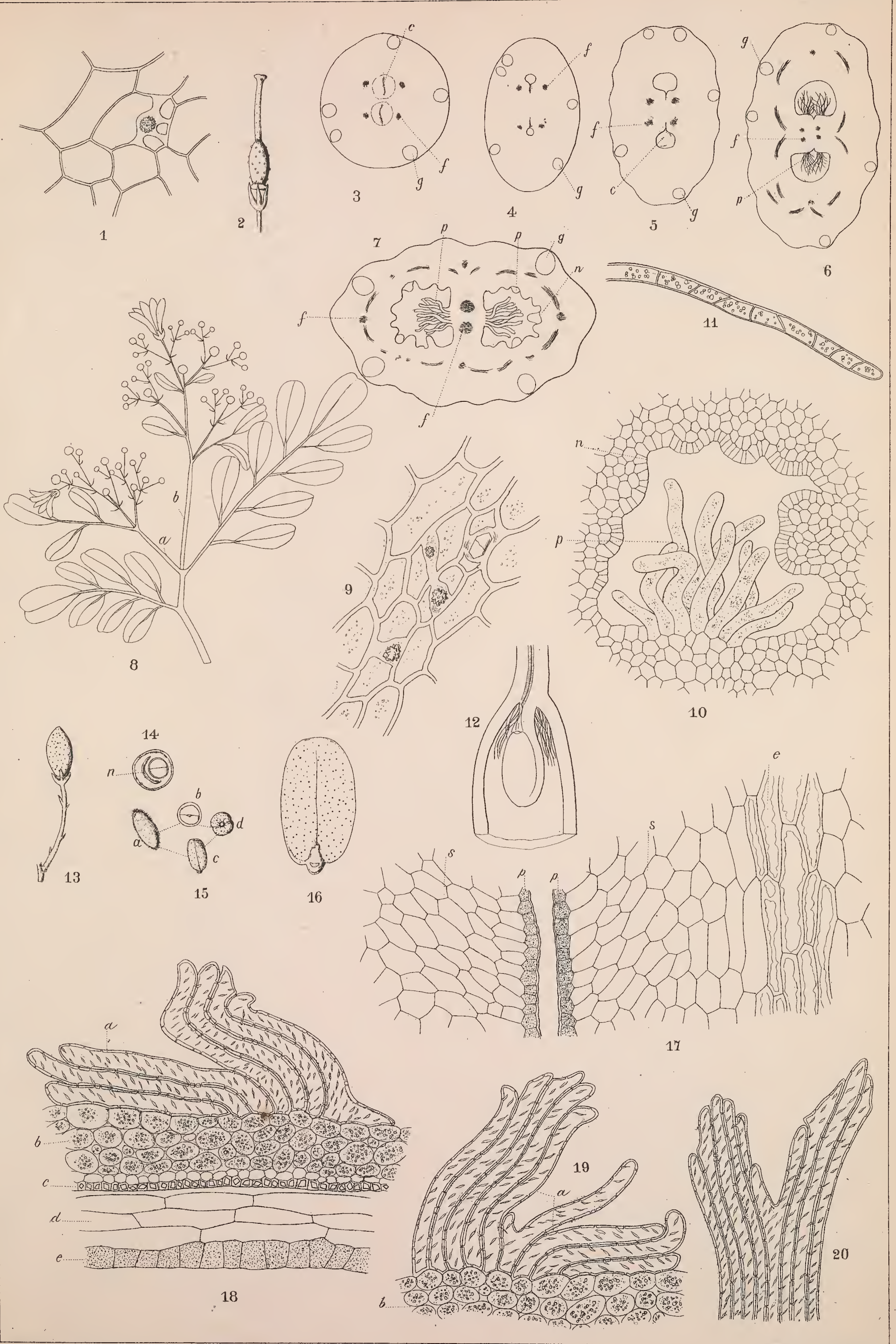




TAVOLA XIX.

# TAVOLA XIX.

*Fig. 1-15.* — **GLYCOSMIS PENTAPHYLLA.**

FIG. 1. — Ramo fiorito. ( $\frac{1}{1}$ ).

FIG. 2. — Rametto dell'infiorescenza. ( $\frac{5}{1}$ ).

FIG. 3. — Disco e pistillo. ( $\frac{10}{1}$ ).

FIG. 4. — Sezione longitudinale d'un fiore senza petali e senza stami. ( $\frac{5}{1}$ ).

FIG. 5. — Brattea dell'infiorescenza. ( $\frac{5}{1}$ ).

FIG. 6. — Sepalo. ( $\frac{12}{1}$ ).

FIG. 7. — Stami visti (*a*) dal dorso, (*b*) da un lato e (*c*) dal lato ventrale. ( $\frac{12}{1}$ ).

FIG. 8. — Fiore privo di petali e di stami, visto dall'alto. ( $\frac{6}{1}$ ).

FIG. 9. — Epidermide interna d'un petalo, vista in sezione longitudinale. ( $\frac{450}{1}$ ).

FIG. 10. — La medesima, vista di faccia. ( $\frac{450}{1}$ ).

FIG. 11. — Epidermide esterna d'un petalo. ( $\frac{450}{1}$ ).

FIG. 12. — Peli del margine ciliato dei sepali. ( $\frac{450}{1}$ ).

FIG. 13. — Epidermide esterna d'un sepal. ( $\frac{450}{1}$ ).

FIG. 14. — Epidermide del filamento staminale. ( $\frac{450}{1}$ ).

FIG. 15. — Midollo dei rami, con granelli d'amido. ( $\frac{450}{1}$ ).

*Fig. 16-17.* — **GLYCOSMIS LANCEOLATA.**

FIG. 16-17. — Epidermide superiore d'una foglia; le cellule sovrastanti ad una ghiandola interna. ( $\frac{450}{1}$ ).

FIG. 18. — Epidermide superiore d'una foglia, con stoma. ( $\frac{450}{1}$ ).



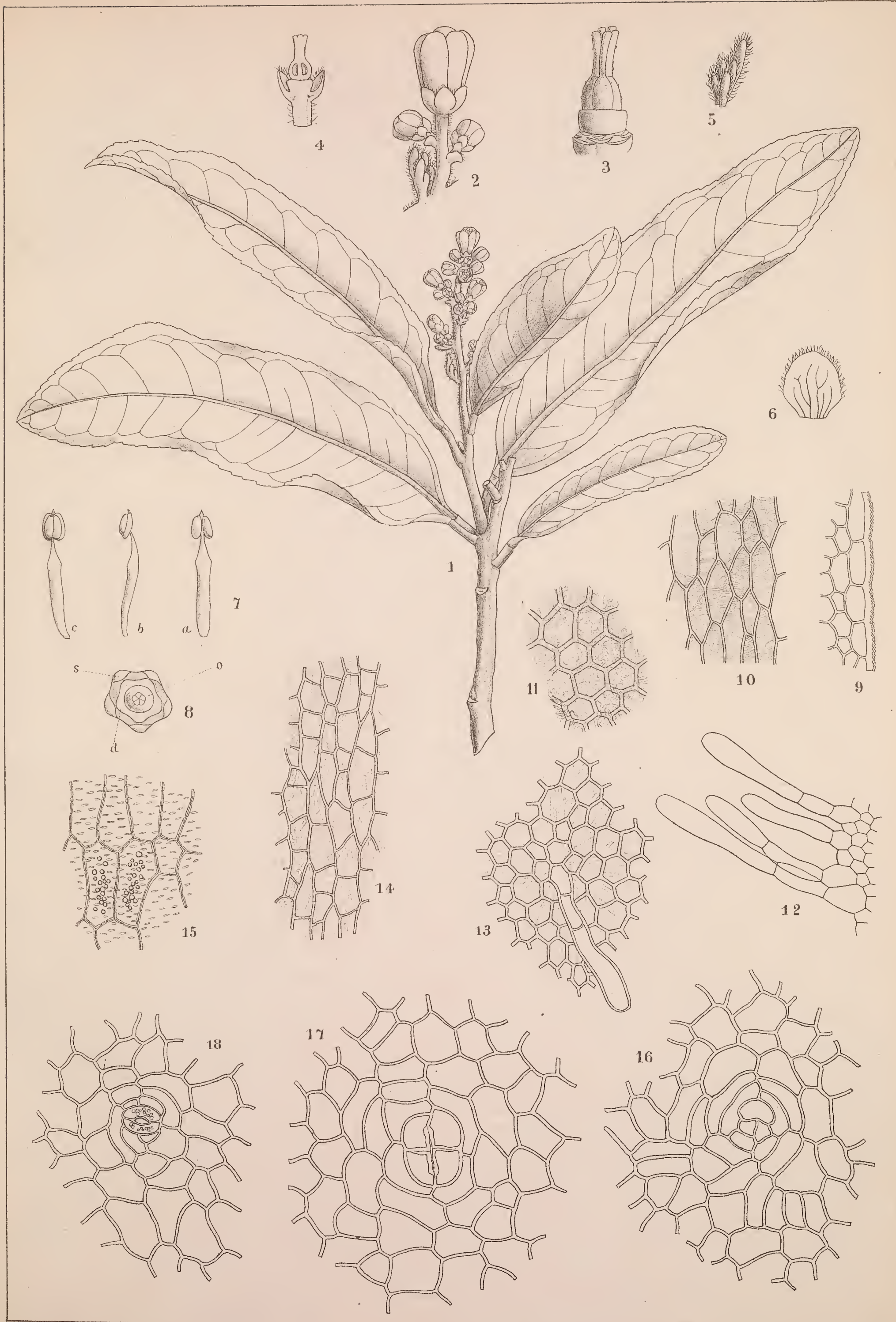




TAVOLA XX.

# TAVOLA XX.

## GLYCOSMIS LANCEOLATA.

- FIG. 1. — Ramo fiorito. ( $\frac{1}{1}$ ).
- FIG. 2. — Boccio florale. ( $\frac{2}{1}$ ).
- FIG. 3. — Fiore aperto. ( $\frac{2}{1}$ ).
- FIG. 4. — Sepalo. ( $\frac{8}{1}$ ).
- FIG. 5. — Fiore privo di petali e di stami. ( $\frac{2}{1}$ ).
- FIG. 6. — Ovario fecondato. ( $\frac{2}{1}$ ).
- FIG. 7. — Fiore privo di petali e di stami, visto dall'alto. ( $\frac{6}{1}$ ).
- FIG. 8. — Stami del verticillo esterno (epipetali) visti (*a*) di faccia, (*b*) di fianco e (*c*) dal dorso. ( $\frac{12}{1}$ ).
- FIG. 9. — Stami del verticillo interno (episepali) visti (*a*) di faccia, (*b*) di fianco e (*c*) dal dorso. ( $\frac{12}{1}$ ).
- FIG. 10. — Pezzo dell'epidermide superiore d'una foglia. ( $\frac{450}{1}$ ).
- FIG. 11. — Sezione trasversale di un ovario giovine, fecondato. ( $\frac{20}{1}$ ).
- FIG. 12. — Sezione trasversale del frutto maturo, con un seme. ( $\frac{4}{1}$ ).
- FIG. 13. — Embrione intero, visto dal lato della sutura dei cotiledoni. ( $\frac{2}{1}$ ).
- FIG. 14. — Seme privo di un cotiledone. ( $\frac{2}{1}$ ).
- FIG. 15. — Rametto d'infiorescenza, con frutti maturi. ( $\frac{1}{1}$ ).
- FIG. 16. — Cellule dell'epicarpio sovrastanti ad una ghiandola. ( $\frac{450}{1}$ ).
- FIG. 17. — Cellule dell'endocarpio. ( $\frac{450}{1}$ ).

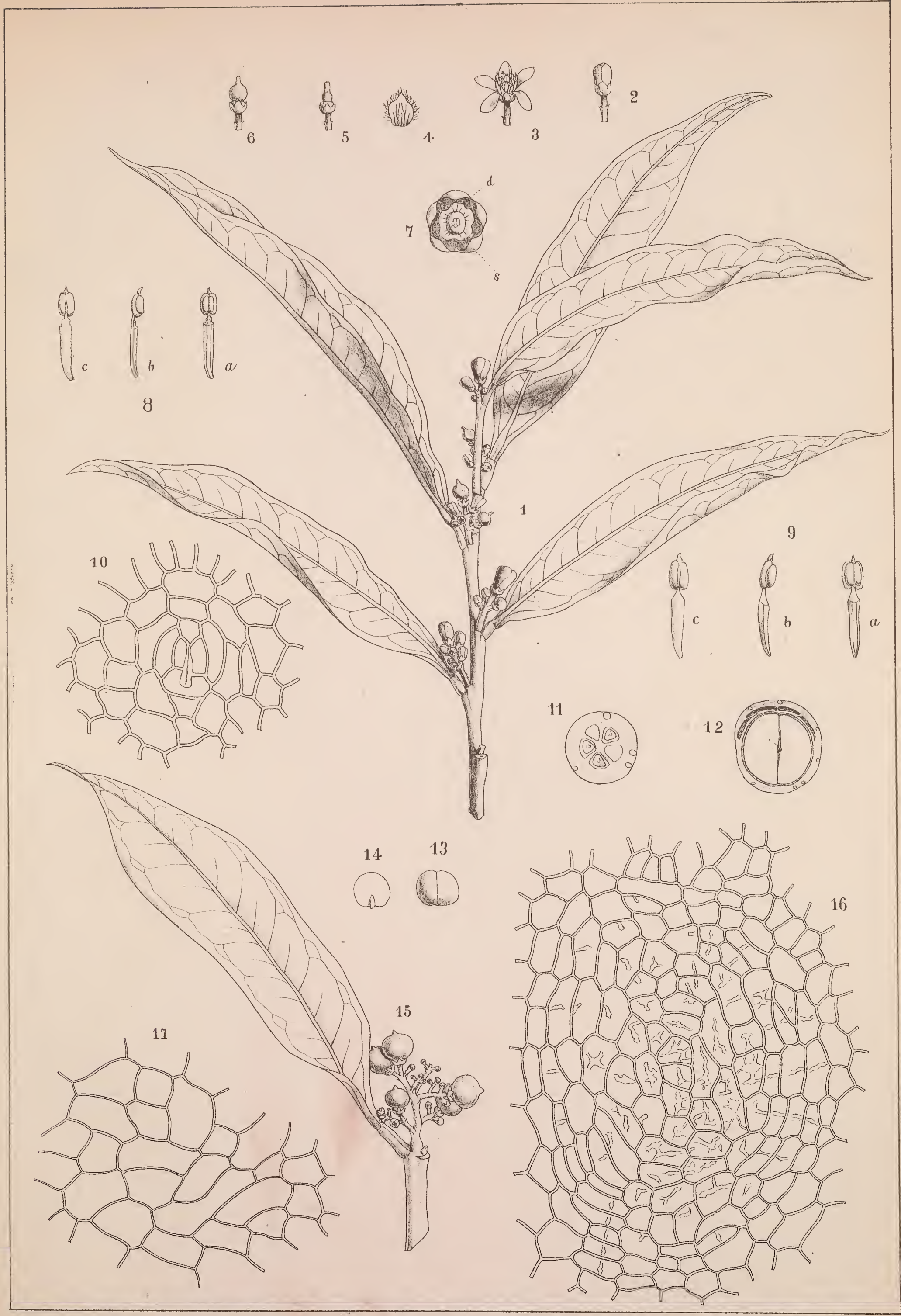




TAVOLA XXI.

# TAVOLA XXI.

## Fig. 1-7. — GLYCOSMIS LANCEOLATA.

- FIG. 1. — Sezione attraverso il guscio del seme:  $e$  = integumento esterno;  $i$  = integumento interno;  $c$  = tessuto del cotiledone ( $\frac{450}{1}$ ).
- FIG. 2. — Plumula pelosa. ( $\frac{5}{1}$ ).
- FIG. 3. — Sezione longitudinale della plumula e radichetta. ( $\frac{30}{1}$ ).
- FIG. 4. — Sezione trasversale della plumula. ( $\frac{30}{1}$ ).
- FIG. 5. — Epidermide del picciuolo, in sezione trasversale. ( $\frac{450}{1}$ ).
- FIG. 6. — Tracheide tolta dal picciuolo. ( $\frac{450}{1}$ ).
- FIG. 7. — Pelo della plumula. ( $\frac{120}{1}$ ).

## Fig. 8-13. — LIMONIA AUSTRALIS.

- FIG. 8. — Ramo fogliato, con foglie di diversa foggia. ( $\frac{1}{1}$ ).
- FIG. 9. — Ramo fruttifero. ( $\frac{1}{1}$ ).
- FIG. 10. — Sezione trasversale del frutto. ( $\frac{1}{1}$ ).
- FIG. 11. — Epidermide d'un ramo. ( $\frac{450}{1}$ ).
- FIG. 12. — La stessa, vista in sezione trasversale. ( $\frac{450}{1}$ ).
- FIG. 13. — Cellule della zona dura del seme, viste in sezione longitudinale. ( $\frac{450}{1}$ ).



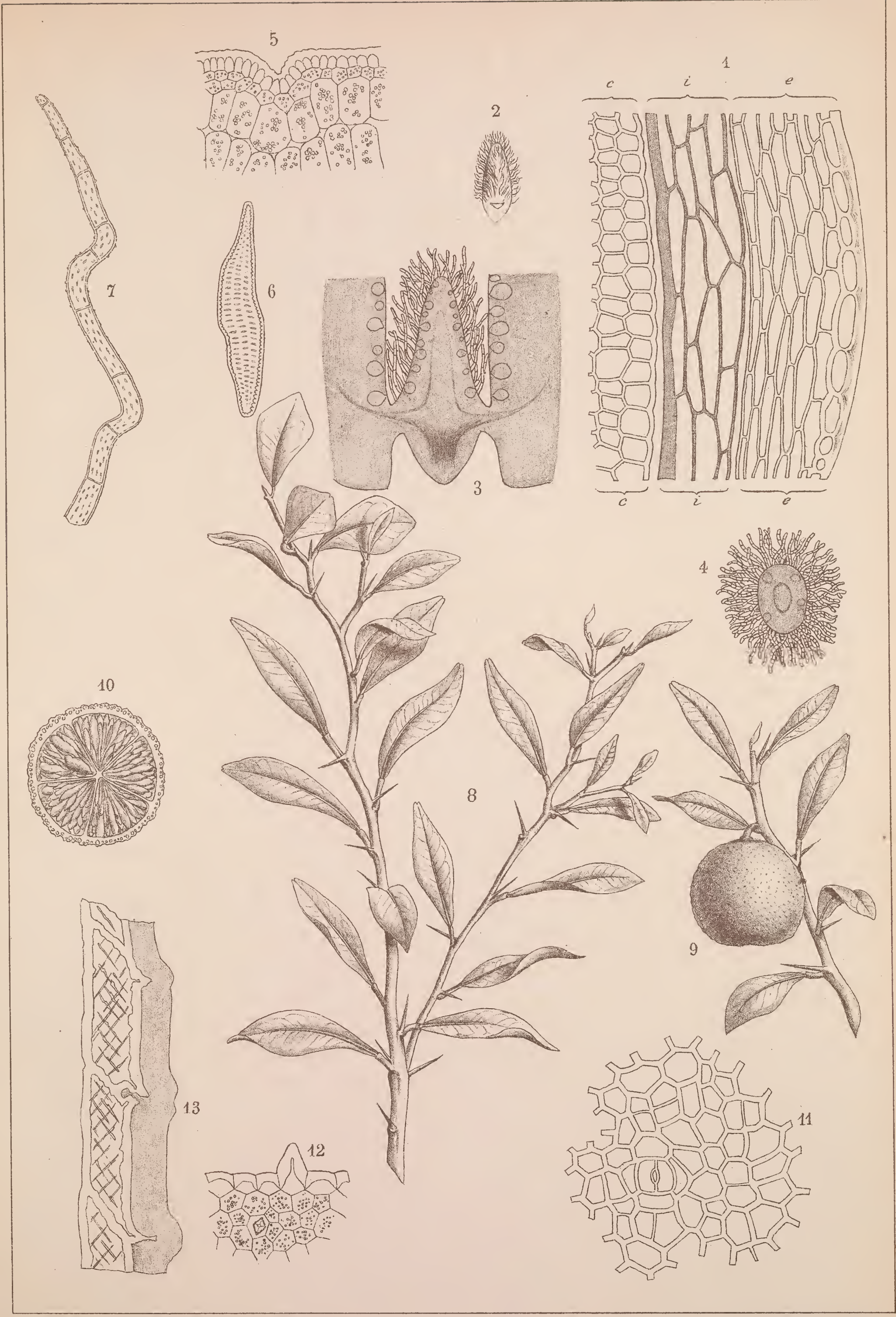




TAVOLA XXII.

## TAVOLA XXII.

FIG. 1. — *Agaricus (Armillaria) Citri* Inz. [p. 308]. ( $\frac{1}{2}$ ).

FIG. 2. — *Agaricus (Psilocybe) Hesperidum* Brig. [p. 309]: *a* = esemplare giovane; *b* = individuo adulto; *c* = fungo tagliato longitudinalmente ( $\frac{1}{1}$ ).

FIG. 3. — *Agaricus (Lepiota) Steinhausii* n. sp. [p. 310]: *a*, *b* = individui giovani; *c* = individuo adulto; *d* = fungo diviso per metà ( $\frac{1}{1}$ ); *e* = basidio con spore; *f* = spore ( $\frac{500}{1}$ ).

FIG. 4. — *Schizophyllum commune* Fr. [p. 310]: *a* = pezzo di scorza d'arancio, con vari concettacoli del fungo ( $\frac{1}{1}$ ); *b* = cappello, visto dal basso ( $\frac{2}{1}$ ); *c* = sezione verticale del cappello, colle lamelle bifide ( $\frac{4}{1}$ ).

FIG. 5. — *Polyporus obliquus* Fr. [p. 311]: *a* = fungo intero; *b* = sezione longitudinale ( $\frac{1}{2}$ ).

FIG. 6. — *Daedalea unicolor* Fr. [p. 312]: *a* = colonia di individui di varia età; *b* = cappello visto dal basso; *c* = sezione verticale di tre individui sovrapposti uno all'altro ( $\frac{1}{1}$ ).

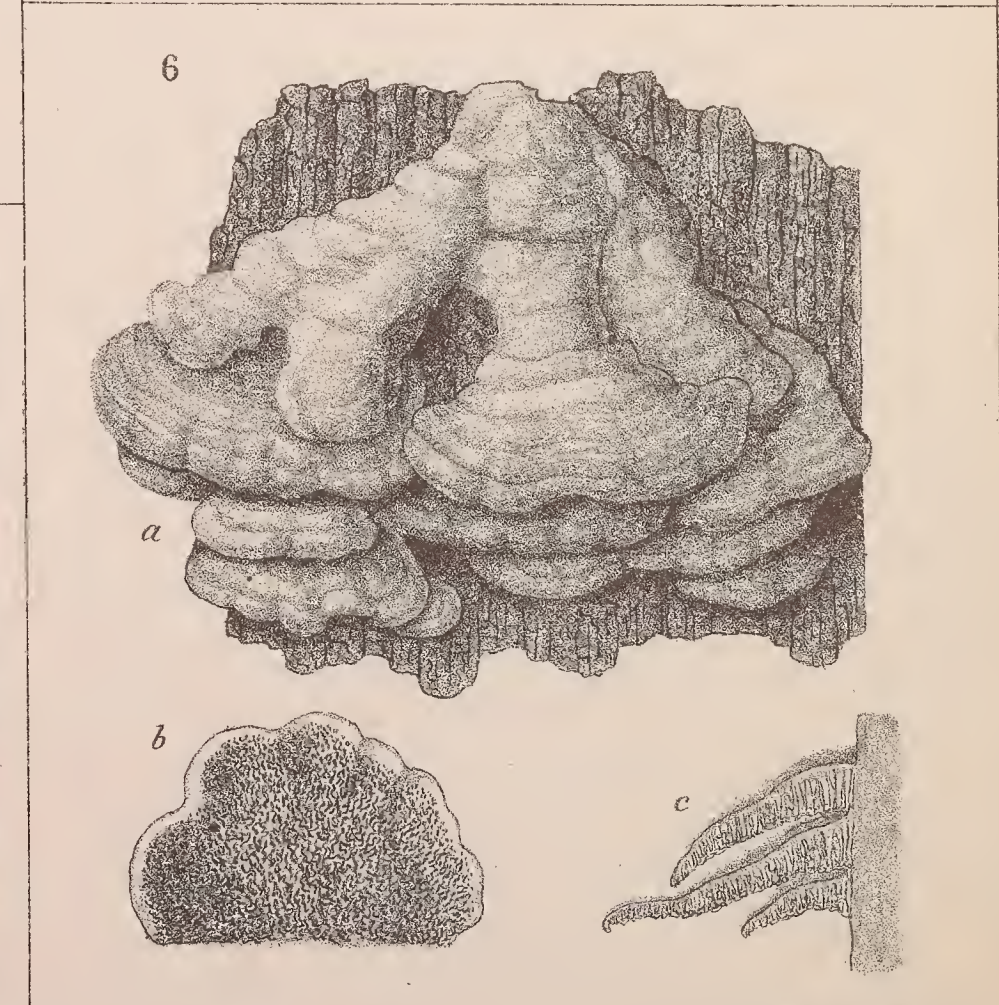
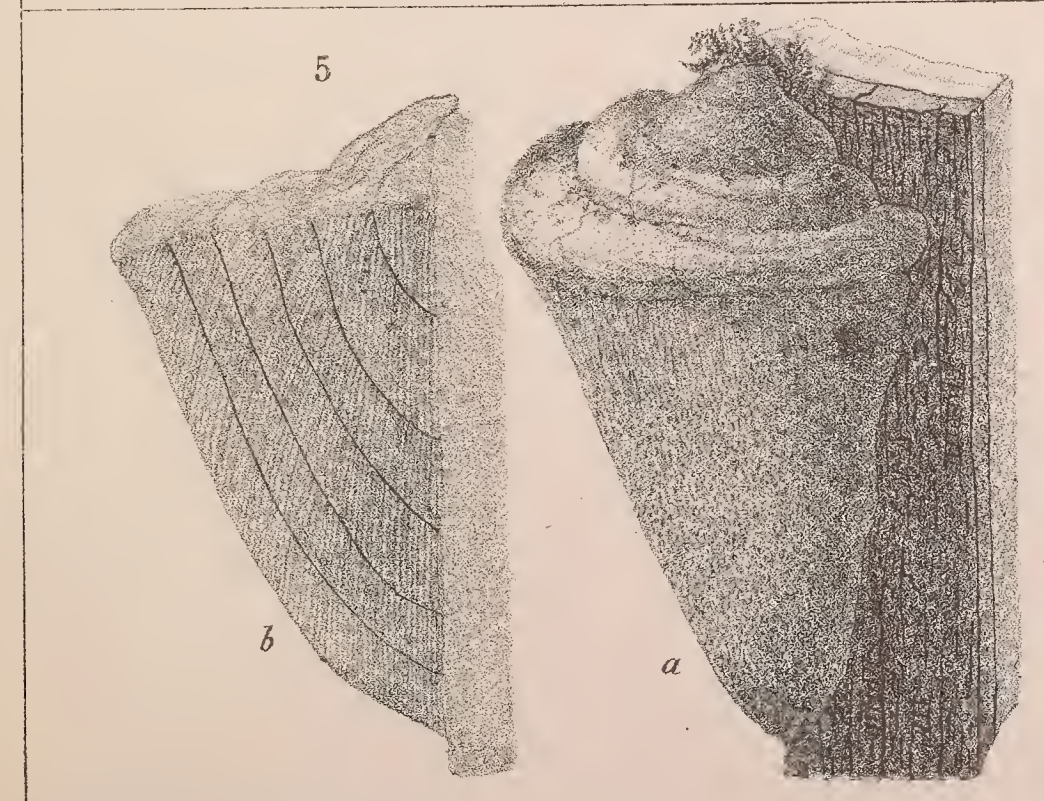
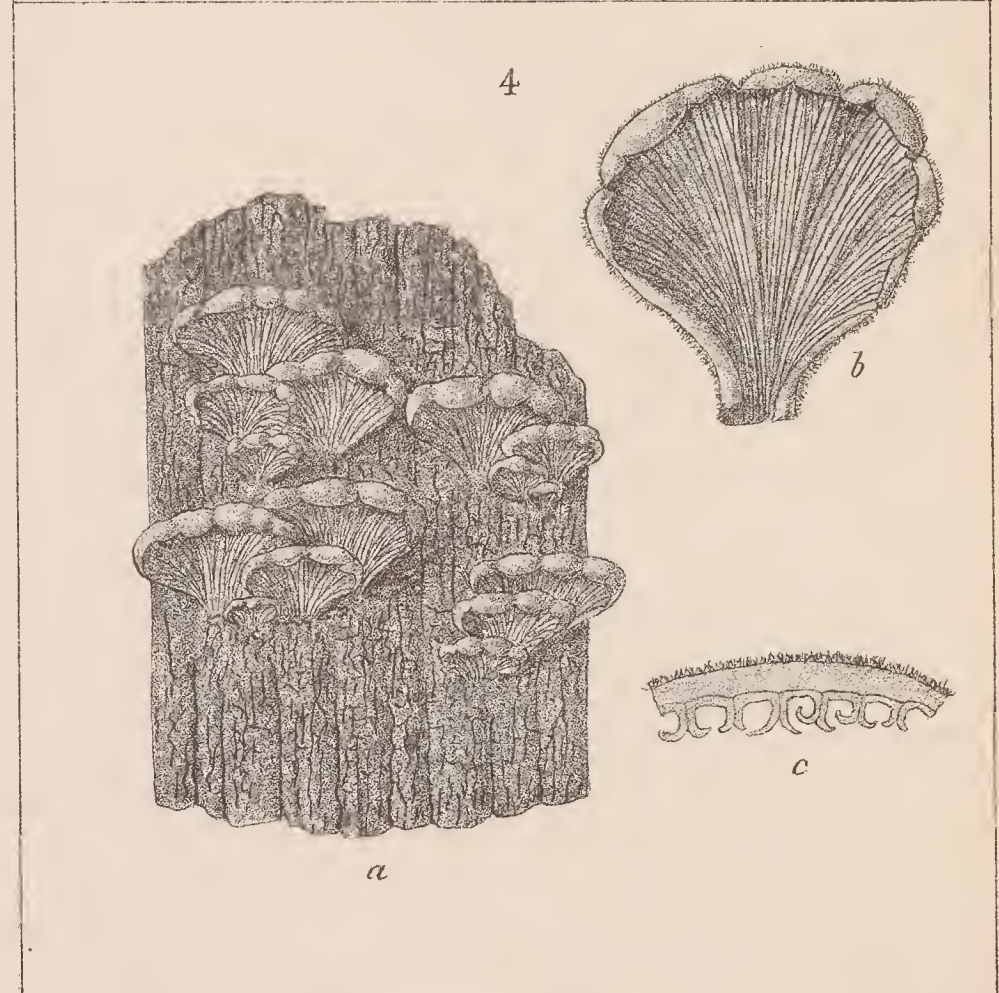
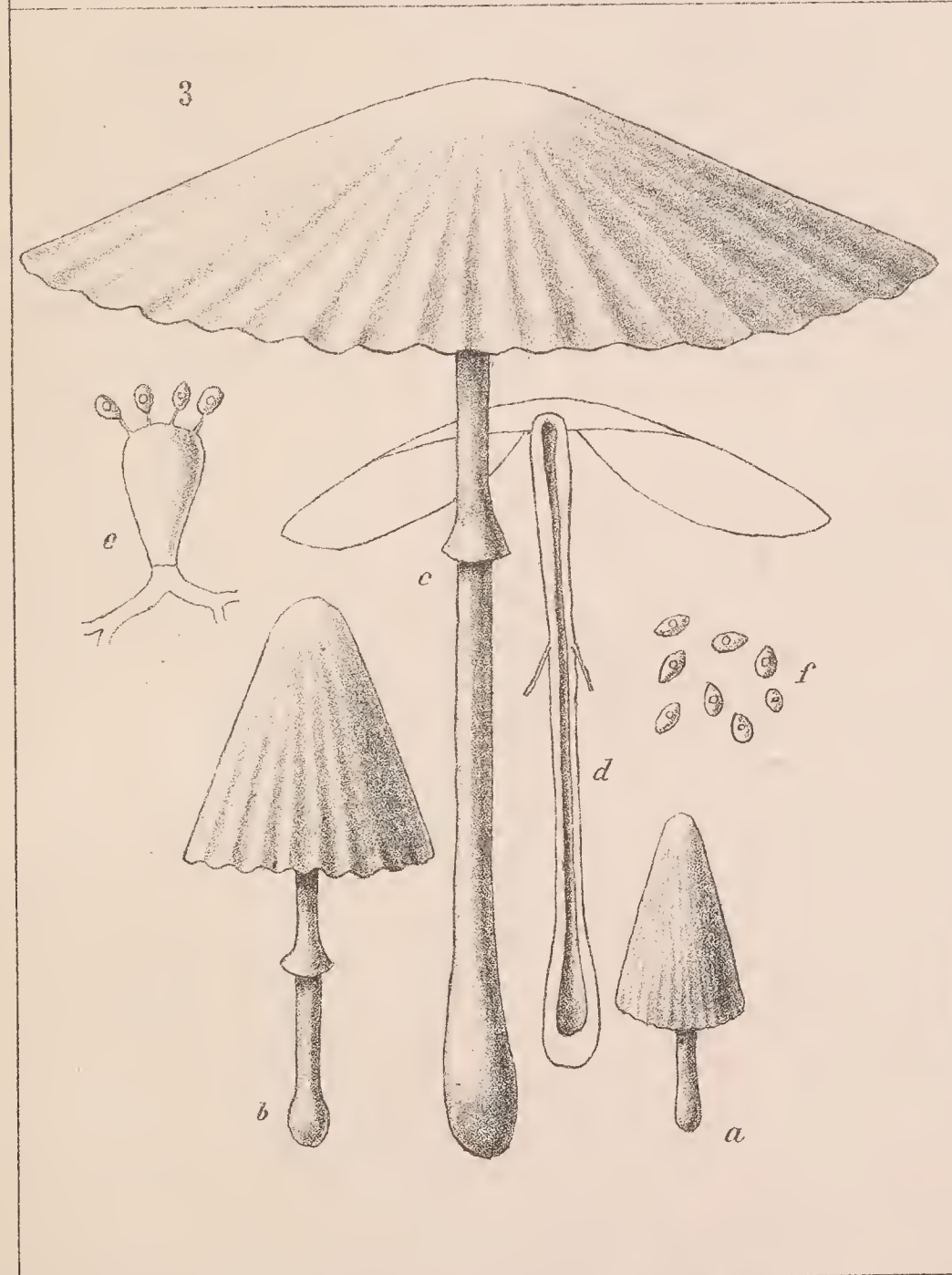
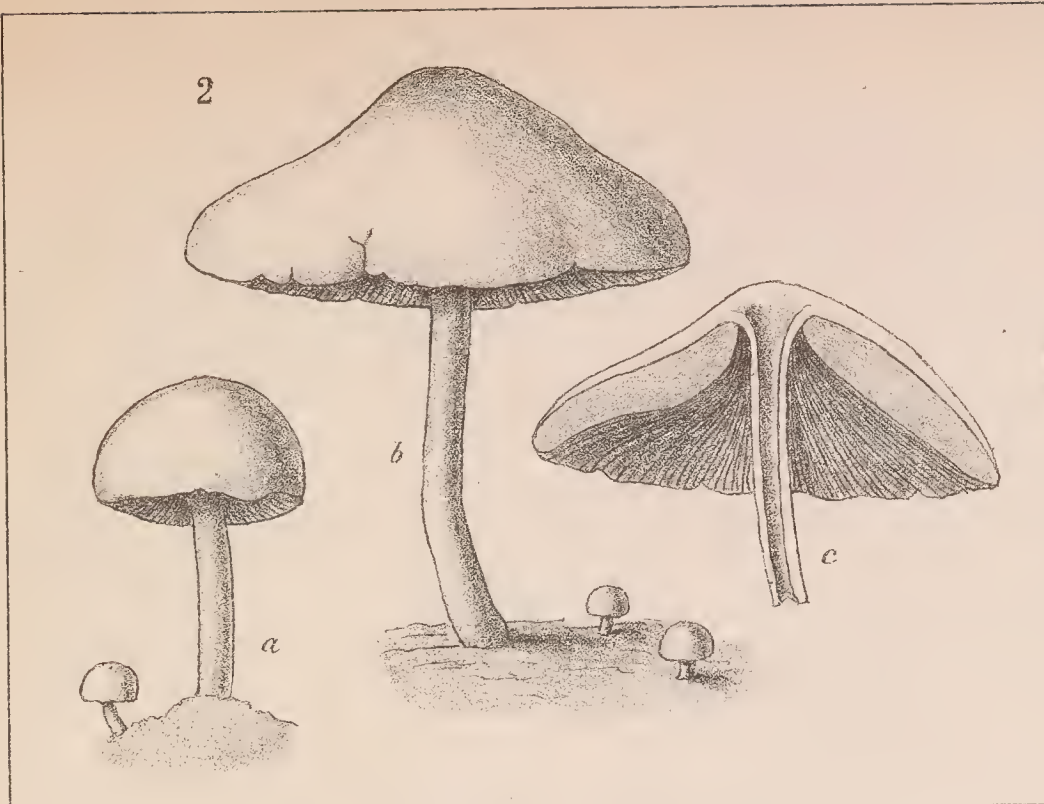




TAVOLA XXIII.

## TAVOLA XXIII.

FIG. 1. — *Corticium cinereum* Fr. [p. 312]: *a* = esemplare giovane ( $\frac{1}{1}$ ); *b* = esemplare vecchio, con l'imenio screpolato ( $\frac{1}{1}$ ); *c* = spore ( $\frac{800}{1}$ ).

FIG. 2. — *Corticium nudum* Fr. [p. 313]. ( $\frac{1}{1}$ ).

FIG. 3. — *Merulius Corium* Fr. [p. 315]. ( $\frac{1}{1}$ ).

FIG. 4. — *Helotium Citri* Penzig [p. 316]: *a* = apparenza esterna del funghetto sopra un rametto di limone ( $\frac{1}{1}$ ); *b* = quattro cupolette ingrandite ( $\frac{20}{1}$ ); *c* = mezza cupoletta, maggiormente ingrandita ( $\frac{80}{1}$ ); *d* = peli marginali ( $\frac{200}{1}$ ); *e* = asco con parafisi ( $\frac{500}{1}$ ); *f* = ascospore ( $\frac{500}{1}$ ); *g* = tessuto parenchimatico della cupoletta ( $\frac{800}{1}$ ).

FIG. 5. — *Lecanidion atratum* Rabenh. [p. 317]: *a* = pezzetto di legno, con vari concettacoli del fungo ( $\frac{1}{1}$ ); *b*, *c* = concettacoli visti di fianco e dall'alto ( $\frac{4}{1}$ ); *d* = gruppo di aschi e di parafisi ( $\frac{600}{1}$ ); *e* = ascospore ( $\frac{600}{1}$ ).

FIG. 6. — *Stictis radiata* Pers. [p. 318]: *a* = ramo infetto ( $\frac{1}{1}$ ); *b*, *c* = concettacoli visti dall'alto e di fianco ( $\frac{4}{1}$ ); *d* = gruppo di aschi e di parafisi ( $\frac{300}{1}$ ); *e* = ascospore ( $\frac{300}{1}$ ).



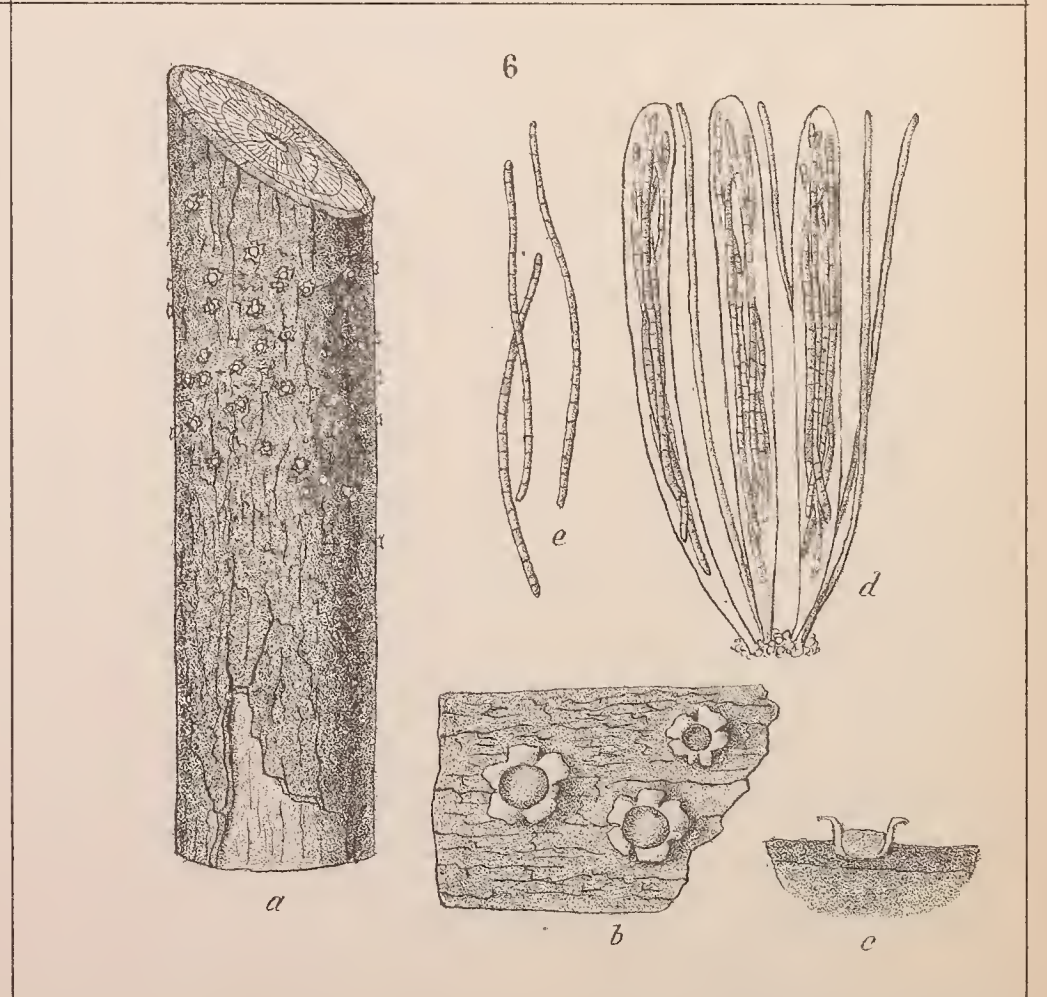
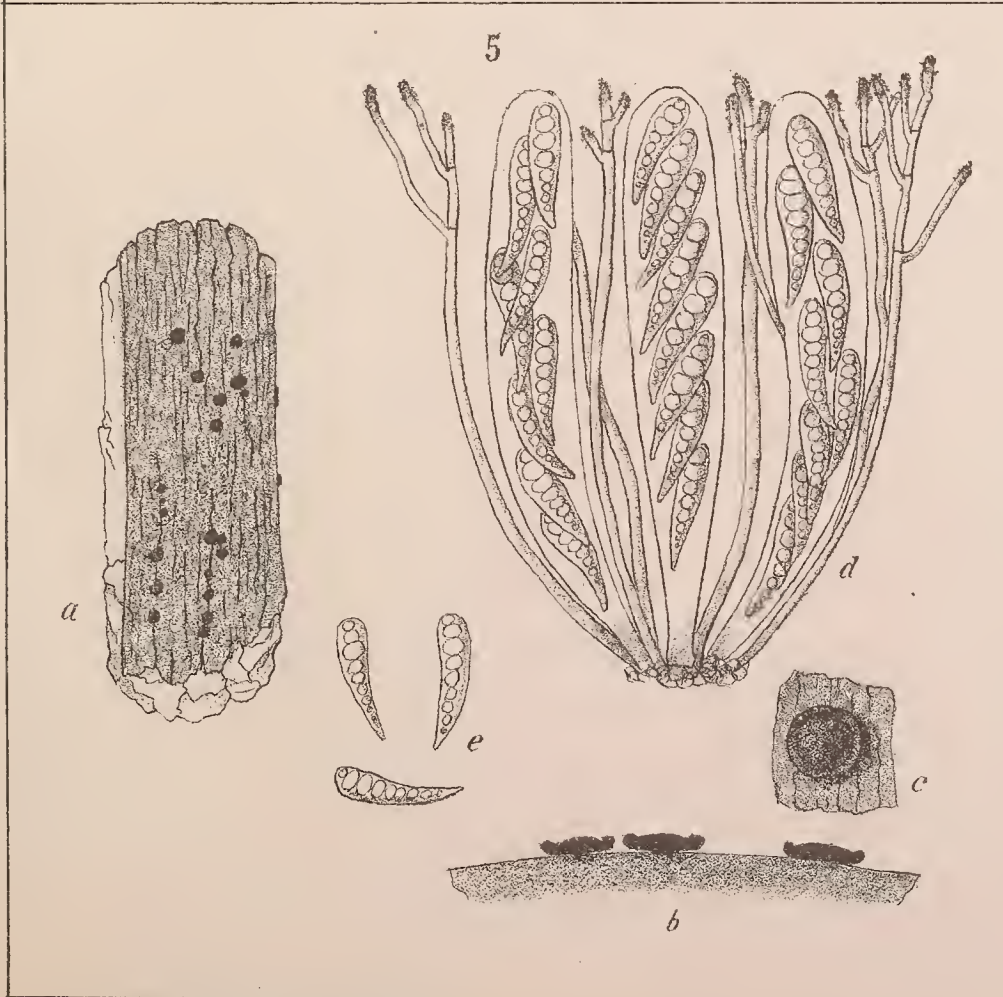
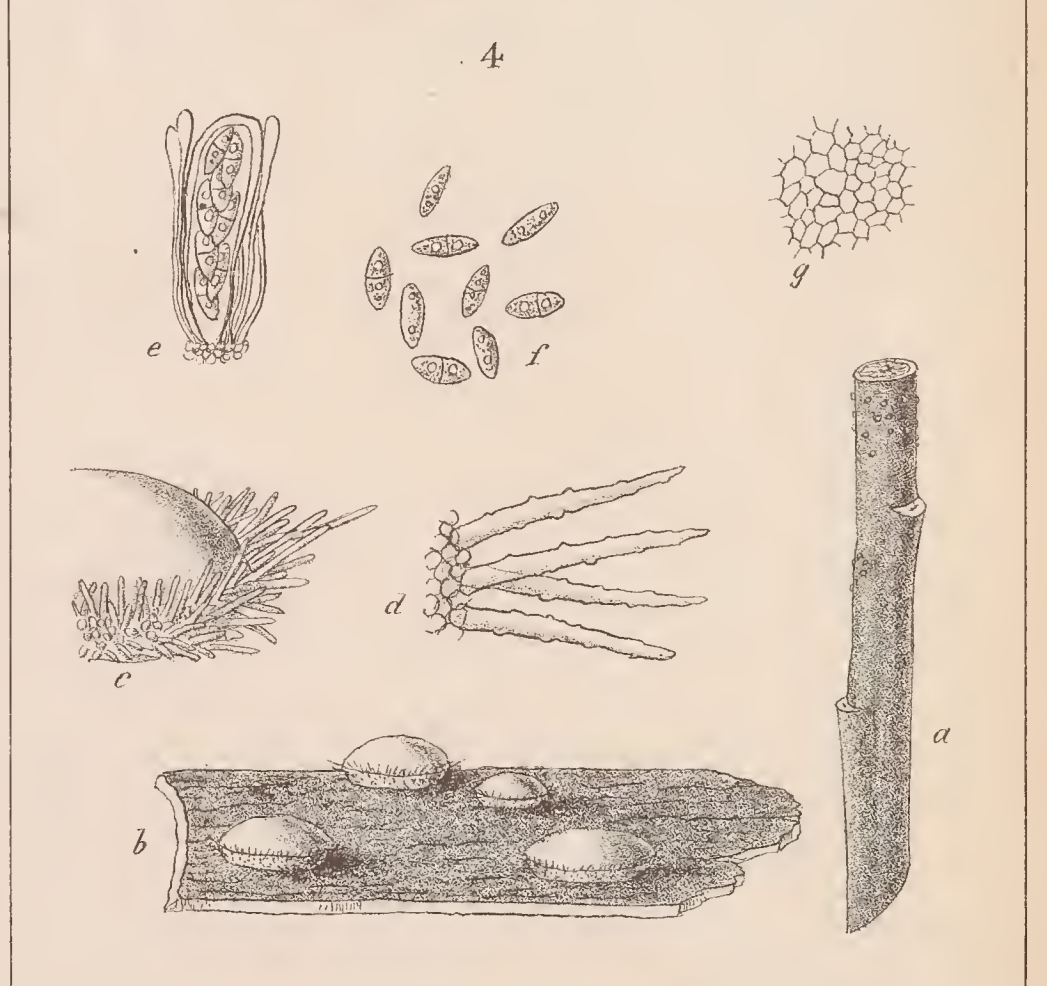
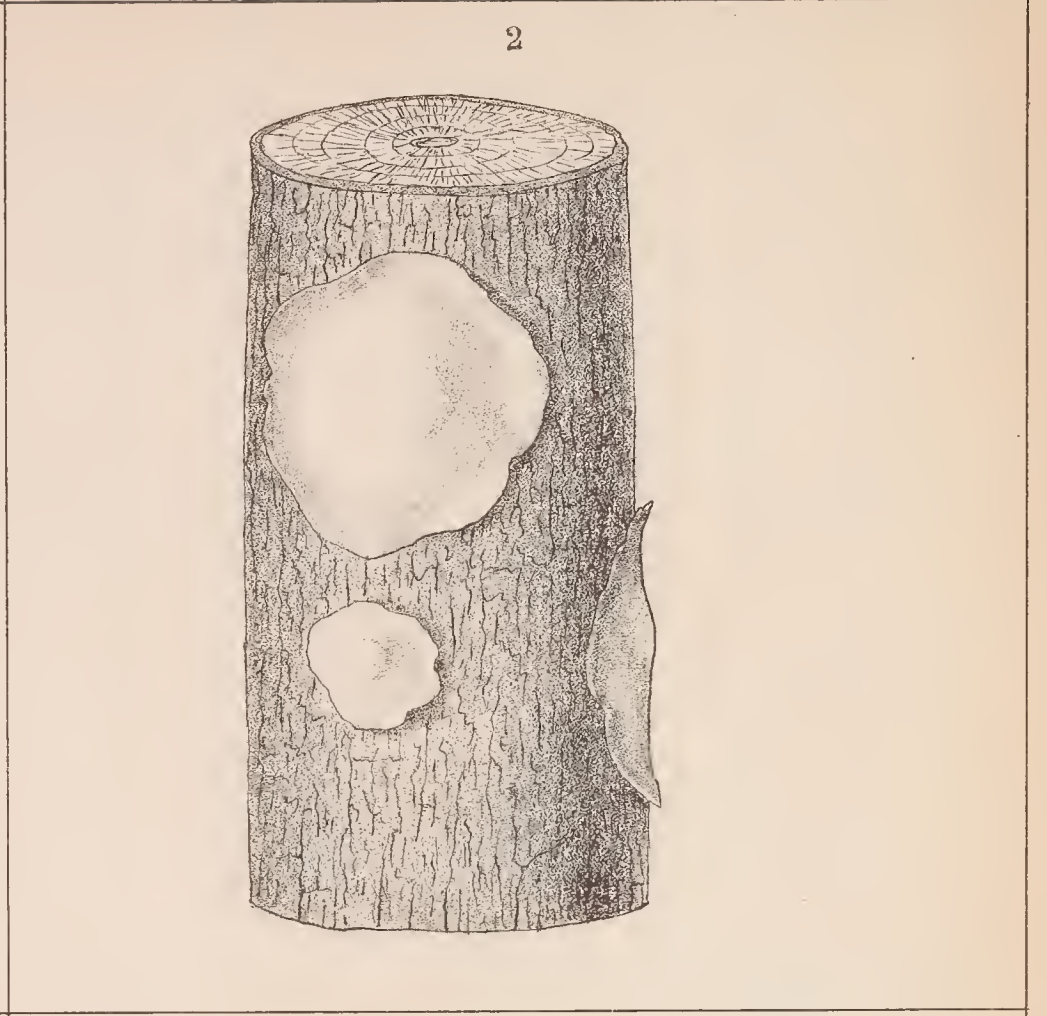
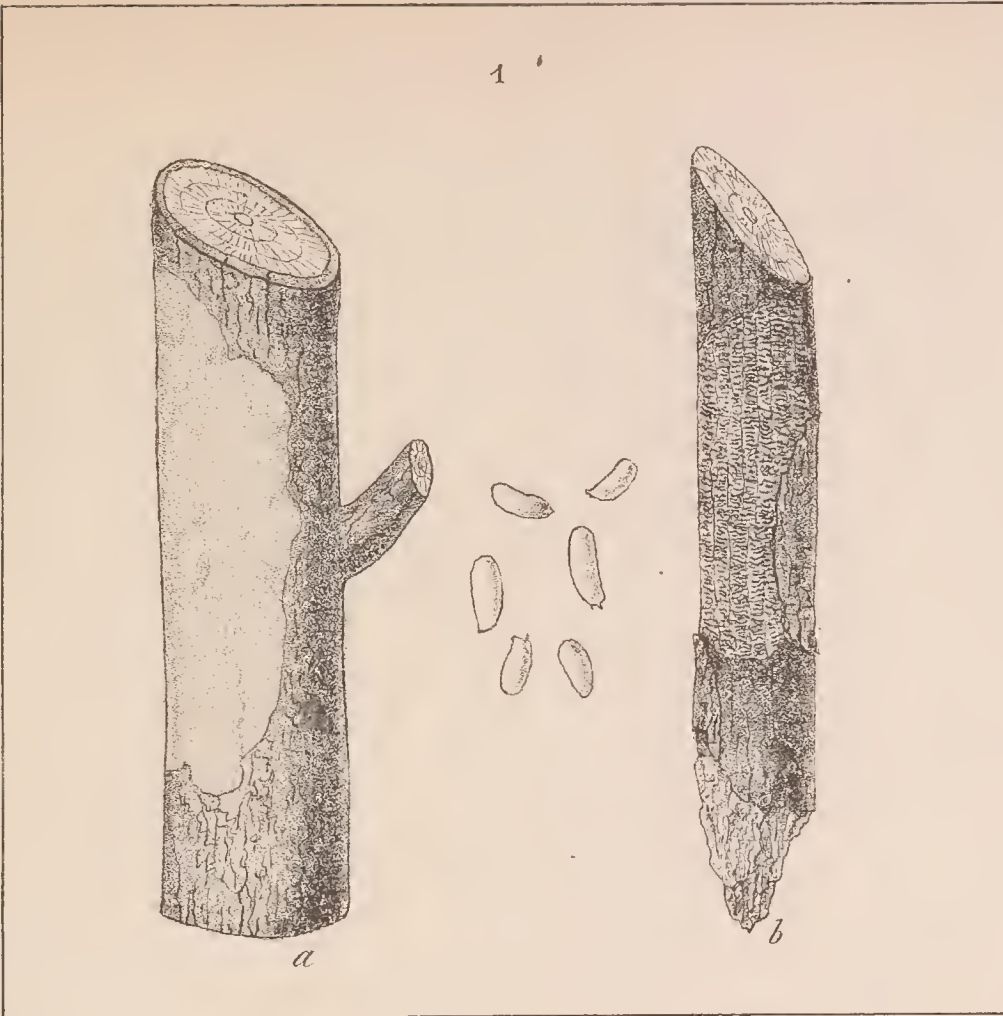




TAVOLA XXIV.

## TAVOLA XXIV.

- FIG. 1. — *Meliola Camelliae* (Catt.) Sacc. [p. 319]: *a* = foglia infetta ( $\frac{1}{1}$ ); *b* = peritecio ascoforo armato ( $\frac{170}{1}$ ); *c* = aschi ( $\frac{400}{1}$ ); *d* = ascospore ( $\frac{800}{1}$ ).
- FIG. 2. — *Meliola Citri* (Briosi et Passer.) Sacc. [p. 319]: *a* = foglia infetta ( $\frac{1}{1}$ ); *b* = micelio con catene conidiche; *c* = picnidio armato, visto dall'alto ( $\frac{170}{1}$ ); *d* = stilospore.
- FIG. 3. — *Meliola Penzigi* Sacc. [p. 320]: aspetto d'un ramo infetto. In *aa* si vedono i ceratopicnidi in forma di piccole setole nerissime ( $\frac{1}{1}$ ).
- FIG. 4. — *Meliola Penzigi* Sacc. [p. 320], micelio, forme conidiche e picnidiche: *a* = micelio; *b* = conidi semplici e concatenati; *c* = botrioconidi; *d* = forma picnidica descritta col nome di *Heterobotrys paradoxa* Sacc. ( $\frac{170}{1}$ ); *e* = sporule della medesima ( $\frac{170}{1}$ ); *f* = picnidio inerme ( $\frac{170}{1}$ ); *g* = picnidio armato ( $\frac{170}{1}$ ); *h* = stilospore ( $\frac{800}{1}$ ).
- FIG. 5. — *Meliola Penzigi* Sacc. [p. 320]: *a* = ceratopicnidi; *b* = stilospore contenute nei medesimi ( $\frac{800}{1}$ ); *c* = peritecio ascoforo inerme ( $\frac{170}{1}$ ); *d, e* = aschi; *f* = ascospore ( $\frac{500}{1}$ ).
- FIG. 6. — *Antennaria elaeophila* Mont. [p. 323]: *a* = foglia infetta ( $\frac{1}{1}$ ); *b* = micelio sterile ( $\frac{170}{1}$ ).



U. Penzig ex nat, delin. et sculps.

Lit. G. Pizzolotti Modena



TAVOLA XXV.

## TAVOLA XXV.

- FIG. 1. — *Eutypha Acharii* Tul. [p. 324]:  $a$  = pezzo di legno coperto in parte dallo stroma nero del fungo ( $\frac{1}{1}$ );  $b$  = sezione verticale dello stroma con numerosi periteci ( $\frac{8}{1}$ );  $c$  = ostiolo d'un peritecio, visto dall'alto ( $\frac{40}{1}$ );  $d$  = aschi ( $\frac{800}{1}$ );  $e$  = ascospore ( $\frac{800}{1}$ ).
- FIG. 2. — *Eutypha lata* (Pers.) Tul. [p. 325]: le lettere hanno lo stesso significato come nella figura precedente.
- FIG. 3. — *Eutypha ludibunda* Sacc. [p. 326]:  $a$  = pezzo di legno collo stroma del parassita ( $\frac{1}{1}$ );  $b$  = sezione verticale dello stroma ( $\frac{4}{1}$ );  $c$  = peritecio isolato ( $\frac{8}{1}$ );  $d$  = sezione trasversale del collo del peritecio ( $\frac{12}{1}$ );  $e$  = aschi ( $\frac{800}{1}$ );  $f$  = ascospore ( $\frac{800}{1}$ ).
- FIG. 4. — *Cryptovalsa Citri* Catt. [p. 327]:  $a$  = pezzo di radice infetta ( $\frac{1}{1}$ );  $b$  = sezione verticale di uno stroma;  $c$  = aschi ( $\frac{100}{1}$ );  $d$  = ascospore.
- FIG. 5. — *Diatrype Aurantii* (De Not.) Sacc. [p. 327]:  $a$  = ramo infetto ( $\frac{1}{1}$ );  $b$  = sezione verticale di uno stroma ( $\frac{4}{1}$ );  $c$  = aschi ( $\frac{600}{1}$ );  $d$  = spore ( $\frac{600}{1}$ ).
- FIG. 6. — *Laestadia socia* Penzig [p. 328]:  $a$  = foglia infetta ( $\frac{1}{1}$ );  $b$  = sezione verticale della foglia, con un peritecio ( $\frac{60}{1}$ );  $c$  = peritecio visto dall'alto ( $\frac{60}{1}$ );  $d$  = aschi ( $\frac{600}{1}$ );  $e$  = ascospore ( $\frac{600}{1}$ ).



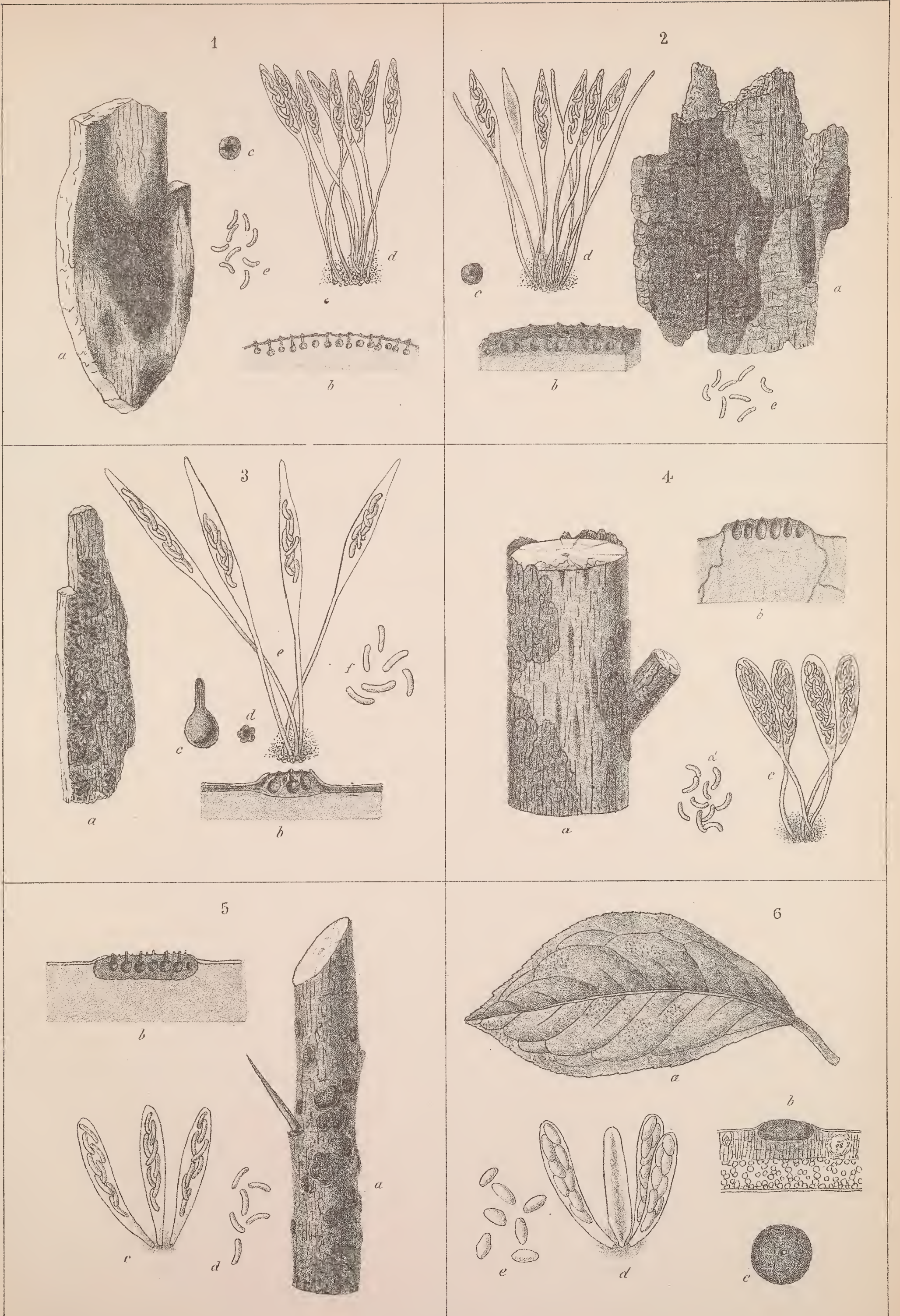




TAVOLA XXVI.

## TAVOLA XXVI.

- FIG. 1. — *Physalospora citricola* Penzig [p. 329]:  $a$  = foglia infetta ( $\frac{1}{1}$ );  $b$  = sezione verticale della foglia, con un peritecio ( $\frac{60}{1}$ );  $c$  = aschi con parafisi ( $\frac{800}{1}$ );  $d$  = ascospore ( $\frac{800}{1}$ ).
- FIG. 2. — *Physalospora gregaria* Sacc. [p. 329]:  $a$  = ramoscello di limone infetto ( $\frac{1}{1}$ );  $b$  = sezione verticale di due periteci corticicoli ( $\frac{80}{1}$ );  $c$  = aschi con parafisi brevi. ( $\frac{500}{1}$ ).
- FIG. 3. — *Wallrothiella basitricha* Penzig et Sacc. [p. 330]:  $a$  = pezzetto di legno con periteci ( $\frac{1}{1}$ );  $b$  = alcuni periteci ingranditi ( $\frac{12}{1}$ );  $c$  = aschi ( $\frac{1000}{1}$ );  $d$  = ascospore ( $\frac{1000}{1}$ ).
- FIG. 4. — *Ustulina vulgaris* Tul. [p. 330]:  $a$  = stroma del fungo ( $\frac{1}{1}$ );  $b$  = sezione verticale dello stroma ( $\frac{2}{1}$ );  $c$  = asco ( $\frac{250}{1}$ );  $d$  = ascospore.
- FIG. 5. — *Daldinia concentrica* (Bolt.) De Not. et Ces. [p. 331]:  $a$  = stroma in grandezza naturale;  $b$  = sezione radiale dello stroma ( $\frac{1}{1}$ );  $c$  = strato esterno dello stroma con periteci ( $\frac{2}{1}$ );  $d$  = aschi e parafisi ( $\frac{350}{1}$ );  $e$  = ascospore ( $\frac{500}{1}$ ).
- FIG. 6. — *Microthyrium Citri* Penzig [p. 332]:  $a$  = foglia infetta ( $\frac{1}{1}$ );  $b$  = peritecio visto dall'alto ( $\frac{170}{1}$ );  $c$  = parte del peritecio, più ingrandita ( $\frac{400}{1}$ ).





TAVOLA XXVII.

## TAVOLA XXVII.

- FIG. 1. — *Sphaerella Gibelliana* Passer. [p. 332]:  $a$  = foglia infetta ( $\frac{1}{1}$ );  $b$  = peritecio aperto, con aschi ( $\frac{200}{1}$ );  $c$  = aschi ( $\frac{600}{1}$ );  $d$  = ascospore ( $\frac{600}{1}$ ).
- FIG. 2. — *Sphaerella Hesperidum* Penz. et Sacc. [p. 333]:  $a$  = foglia infetta ( $\frac{1}{1}$ );  $b$  = aschi ( $\frac{800}{1}$ );  $c$  = ascospore ( $\frac{800}{1}$ ).
- FIG. 3. — *Sphaerella inflata* Penz. [p. 334]:  $a$  = rametto d'arancio infetto ( $\frac{1}{1}$ );  $b$  = pezzo della scorza con vari periteci ( $\frac{20}{1}$ );  $c$  = peritecio ( $\frac{90}{1}$ );  $d$  = aschi ( $\frac{700}{1}$ );  $e$  = spore ( $\frac{700}{1}$ ).
- FIG. 4. — *Sphaerella sicula* Penz. [p. 334]:  $a$  = foglia infetta ( $\frac{1}{1}$ );  $b$  = sezione verticale della foglia con due periteci;  $c$  = aschi ( $\frac{800}{1}$ );  $d$  = spore ( $\frac{800}{1}$ ).
- FIG. 5. — *Amphisphaeria Hesperidum* Penz. [p. 335]:  $a$  = pezzetto di legno con periteci ( $\frac{1}{1}$ );  $b$  = periteci ingranditi ( $\frac{20}{1}$ );  $c$  = asco con parafisi ( $\frac{720}{1}$ );  $d$  = asco isolato ( $\frac{720}{1}$ );  $e$  = ascospore ( $\frac{800}{1}$ ).
- FIG. 6. — *Metasphaeria dispar* Penz. et Sacc. [p. 335]:  $a$  = ramoscello infetto ( $\frac{1}{1}$ );  $b$  = sezione verticale di tre periteci ( $\frac{40}{1}$ );  $c$  = aschi e parafisi ( $\frac{750}{1}$ );  $d$  = ascospore ( $\frac{750}{1}$ ).



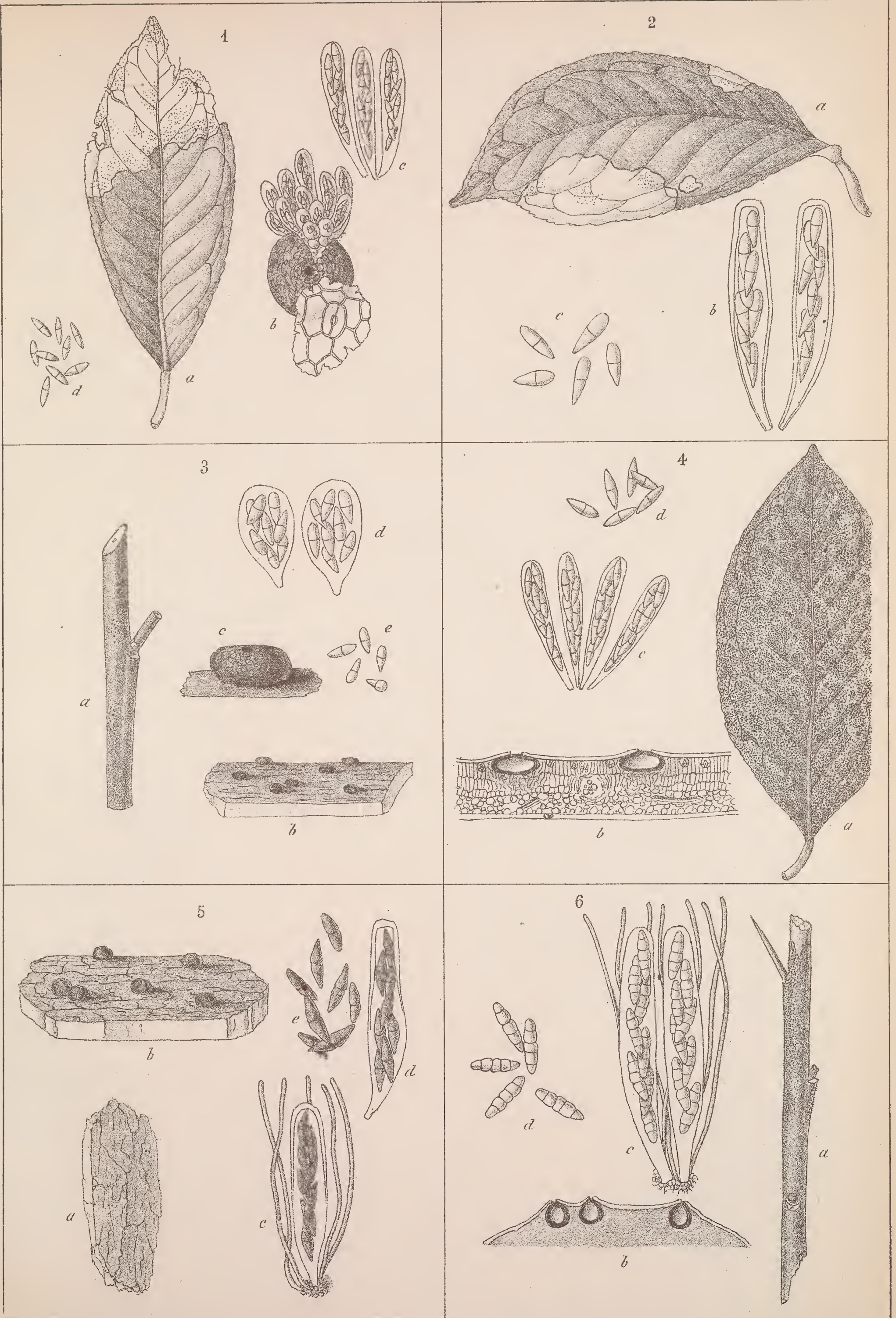




TAVOLA XXVIII.

## TAVOLA XXVIII.

- FIG. 1. — *Metasphaeria papulosa* Dur. et Mont. [p. 336]:  $a$  = foglia infetta ( $\frac{1}{1}$ );  $b$  = sezione verticale della medesima, con due periteci;  $c$  = aschi e parafisi ( $\frac{1000}{1}$ ).
- FIG. 2. — *Leptosphaeria citricola* Penz. [p. 337]:  $a$  = foglia infetta ( $\frac{1}{1}$ );  $b$  = sezione verticale di un peritecio;  $c$  = aschi ( $\frac{1000}{1}$ );  $d$  = ascospore ( $\frac{1000}{1}$ ).
- FIG. 3. — *Leptosphaeria Coniothyrium* Sacc. [p. 337]:  $a$  = ramoscello infetto ( $\frac{1}{1}$ );  $b$  = peritecio isolato, con fili micelici alla base ( $\frac{20}{1}$ );  $c$  = due periteci sezionati longitudinalmente ( $\frac{15}{1}$ );  $d$  = aschi e parafisi ( $\frac{1000}{1}$ );  $e$  = spore mature ed immature ( $\frac{1000}{1}$ ).
- FIG. 4. — *Leptosphaeria Diana* Sacc. et Speg. [p. 338]:  $a$  = foglia infetta ( $\frac{1}{1}$ );  $b$  = sezione verticale della medesima, con un peritecio;  $c$  = aschi ( $\frac{1000}{1}$ );  $d$  = ascospore ( $\frac{1000}{1}$ ).
- FIG. 5. — *Leptosphaeria vagabunda* Sacc. forma *Citri Limonum* Sacc. [p. 339]:  $a$  = ramo con periteci ( $\frac{1}{1}$ );  $b$  = peritecio immerso nella corteccia ( $\frac{25}{1}$ );  $c$  = aschi e parafisi ( $\frac{900}{1}$ );  $d$  = ascospore ( $\frac{900}{1}$ ).
- FIG. 6. — *Melanomma longicolle* Sacc. [p. 340]:  $a$  = pezzetto di legno con vari periteci ( $\frac{1}{1}$ );  $b$  = due periteci ( $\frac{40}{1}$ );  $c$  = aschi e parafisi ( $\frac{1000}{1}$ );  $d$  = ascospore ( $\frac{1000}{1}$ ).





TAVOLA XXIX.

## TAVOLA XXIX.

- FIG. 1. — *Melanomma medium* Sacc. et Speg. [p. 340]:  $a$  = pezzo di legno con periteci ( $\frac{1}{1}$ );  $b$  = quattro periteci, residenti sopra uno stroma nero ( $\frac{6}{1}$ );  $c$  = aschi e parafisi ( $\frac{500}{1}$ );  $d$  = ascospore ( $\frac{500}{1}$ ).
- FIG. 2. — *Pleosphaeria Passerinii* Penzig [p. 341]:  $a$  = foglia infetta;  $b$  = sezione della foglia con cinque periteci superficiali ( $\frac{4}{1}$ );  $c$  = peli residenti sulla superficie dei periteci ( $\frac{200}{1}$ );  $d$  = aschi e parafisi ( $\frac{280}{1}$ ).
- FIG. 3. — *Pleospora herbarum* (Pers.) Rabenh. [p. 342]:  $a$  = foglia infetta ( $\frac{1}{1}$ );  $b$  = sezione della foglia con un peritecio ( $\frac{14}{1}$ );  $c$  = aschi e parafisi ( $\frac{500}{1}$ );  $d$  = ascospore ( $\frac{650}{1}$ ).
- FIG. 4. — *Pleospora Hesperidearum* Catt. [p. 343]:  $a$  = frutto d'arancio infetto ( $\frac{1}{1}$ );  $b$  = sezione di un peritecio;  $c$  = aschi;  $d$  = ascospore (secondo Cattaneo).
- FIG. 5. — *Pleospora media* Niessl [p. 344]:  $a$  = foglia infetta ( $\frac{1}{1}$ );  $b$  = sezione della medesima con un peritecio;  $c$  = aschi e parafisi ( $\frac{500}{1}$ );  $d$  = ascospore ( $\frac{600}{1}$ ).
- FIG. 6. — *Nectria verruculosa* (Niessl) Penz. [p. 345]:  $a$  = pezzo di ramo di limone, con periteci ( $\frac{1}{1}$ );  $b$  = periteci ingranditi ( $\frac{15}{1}$ );  $c$  = aschi ( $\frac{700}{1}$ );  $d$  = ascospore ( $\frac{700}{1}$ ).



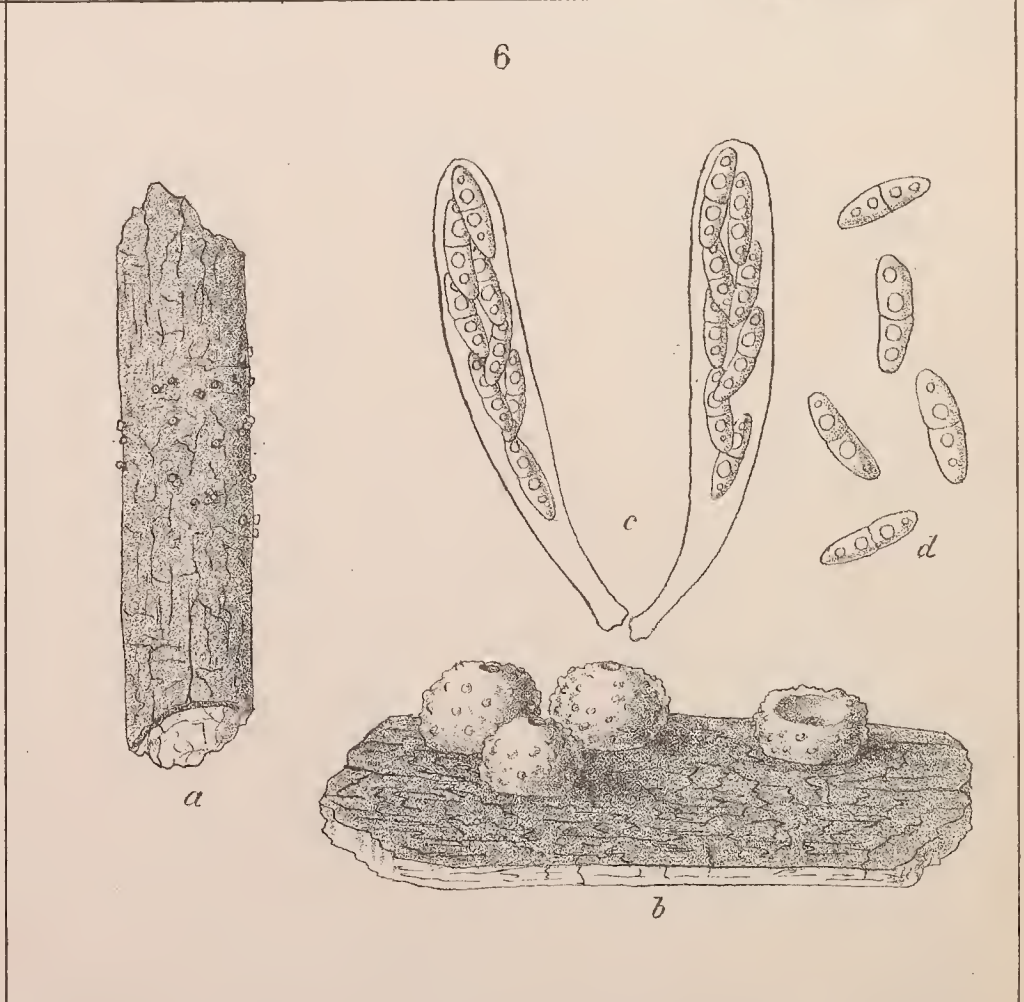
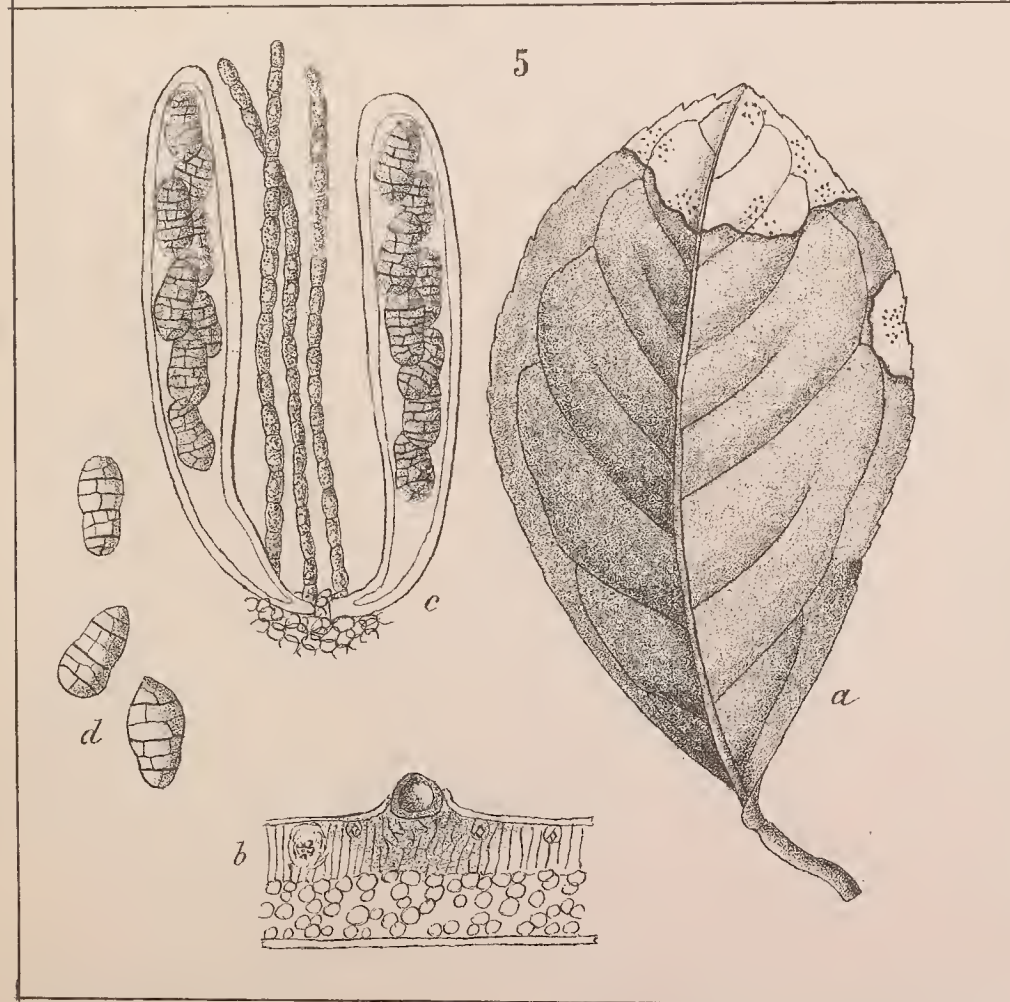
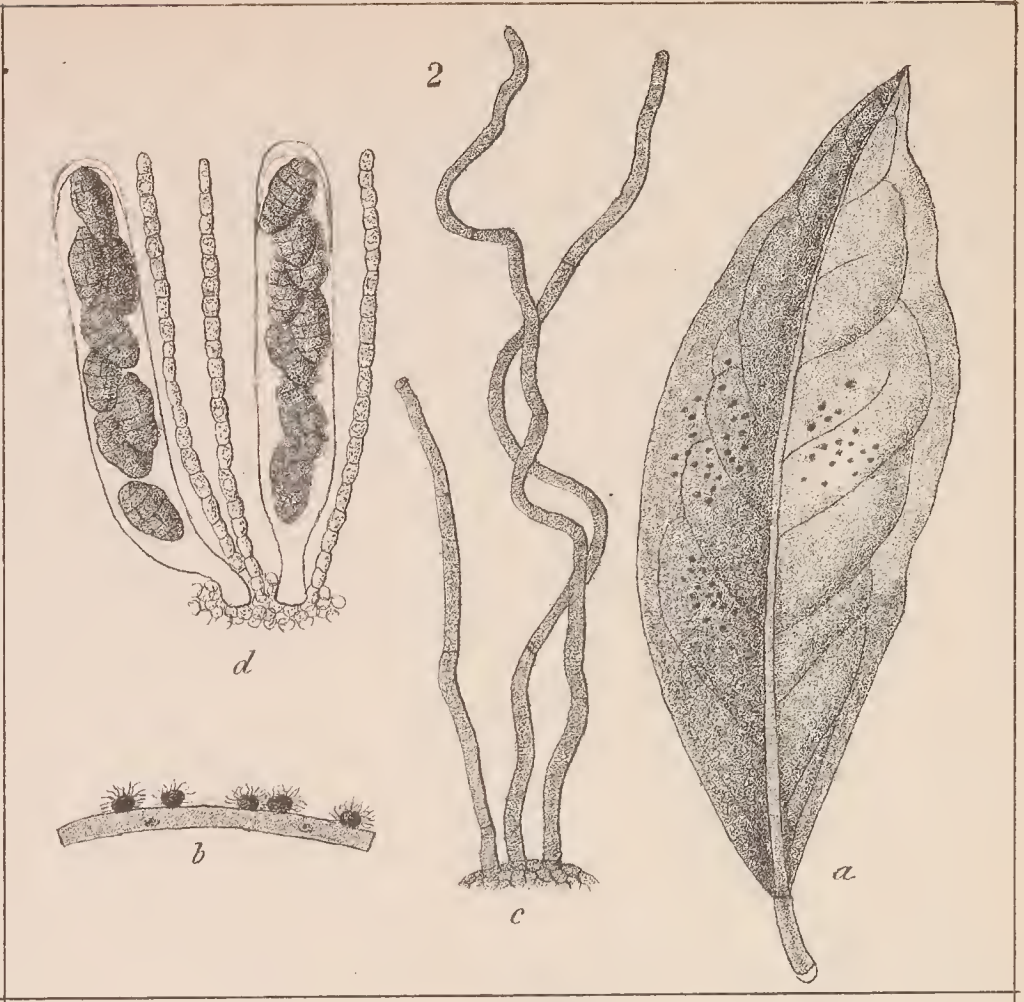
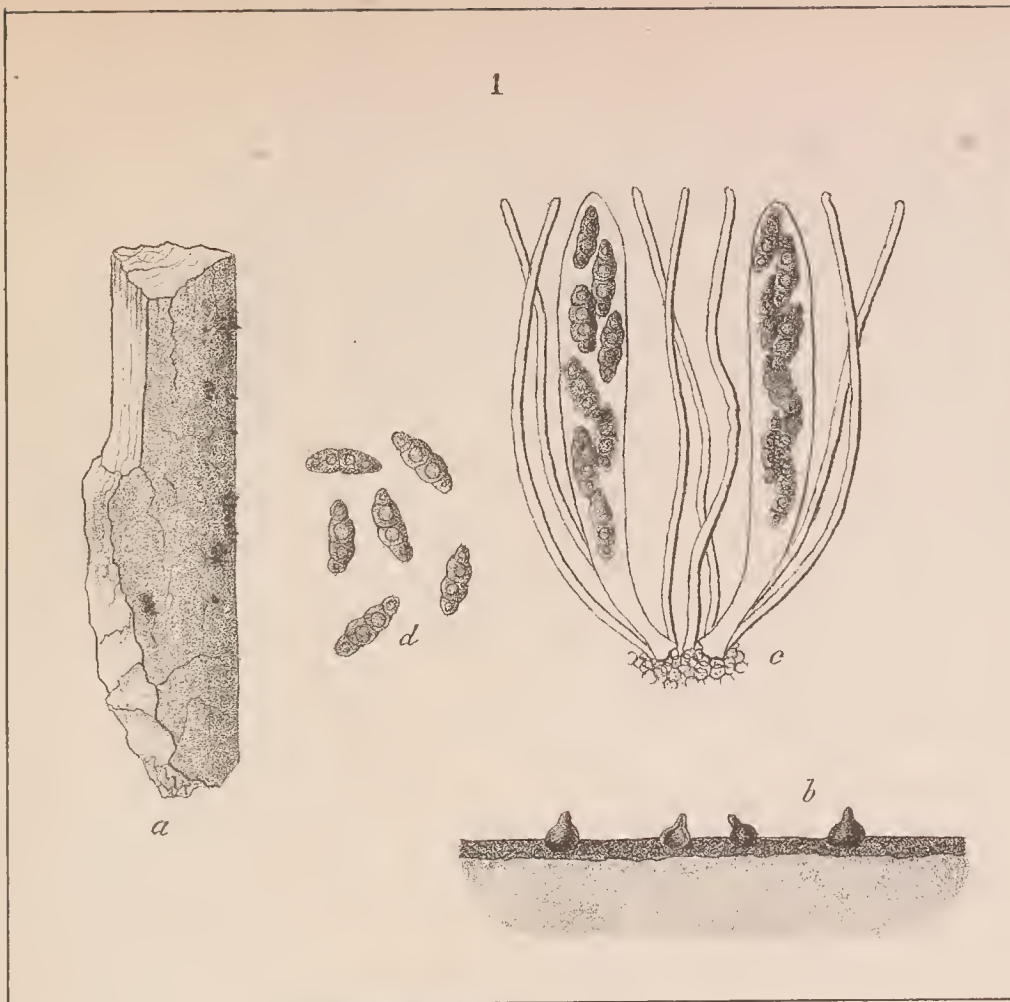




TAVOLA XXX.

## TAVOLA XXX.

- FIG. 1. — *Gibberella pulicaris* Sacc. [p. 346]: *a* = ramo infetto ( $\frac{1}{1}$ ); *b* = gruppo di periteci ( $\frac{10}{1}$ );  
*c* = ostiolo d'un peritecio, visto dall'alto ( $\frac{1000}{1}$ ); *d* = aschi ( $\frac{1000}{1}$ ); *e* = ascospore ( $\frac{1000}{1}$ ).
- FIG. 2. — *Glioniella Aurantii* (Catt.) Sacc. [p. 347]: *a* = ramo infetto ( $\frac{1}{1}$ ); *b* = sezione trasversale di  
un peritecio ( $\frac{30}{1}$ ); *c* = aschi e parafisi; *d* = ascospore ( $\frac{1000}{1}$ ).
- FIG. 3. — *Lophium Limoni* Thuemen Herb. [p. 348]: *a* = ramo infetto ( $\frac{1}{1}$ ); *b* = peritecio isolato ( $\frac{10}{1}$ );  
*c* = aschi e parafisi ( $\frac{100}{1}$ ); *d* = ascospore ( $\frac{600}{1}$ ).
- FIG. 4. — *Phyllosticta Beltranii* Penz. [p. 349]: *a* = foglia infetta ( $\frac{1}{1}$ ); *b* = pezzo di foglia infetta, coi  
periteci sulla nervatura mediana; *c* = sezione trasversale di un gruppo di periteci ( $\frac{500}{1}$ );  
*d* = stilospore ( $\frac{1000}{1}$ ).
- FIG. 5. — *Phyllosticta disciformis* Penz. [p. 350]: *a*, *b*, *c* = foglie infette ( $\frac{1}{1}$ ) di limone, di *Atalantia*  
*buxifolia* e di *Limonia australis*; *d* = peritecio visto dall'alto ( $\frac{100}{1}$ ); *e* = sezione verticale  
della foglia, con due periteci; *f* = stilospore ( $\frac{1000}{1}$ ).
- FIG. 6. — *Phyllosticta Hesperidearum* (Catt.) Penz. [p. 350]: *a* = foglia infetta ( $\frac{1}{1}$ ); *b* = peritecio visto  
dall'alto; *c* = sezione verticale della foglia, con due periteci; *d* = stilospore ( $\frac{1000}{1}$ ).

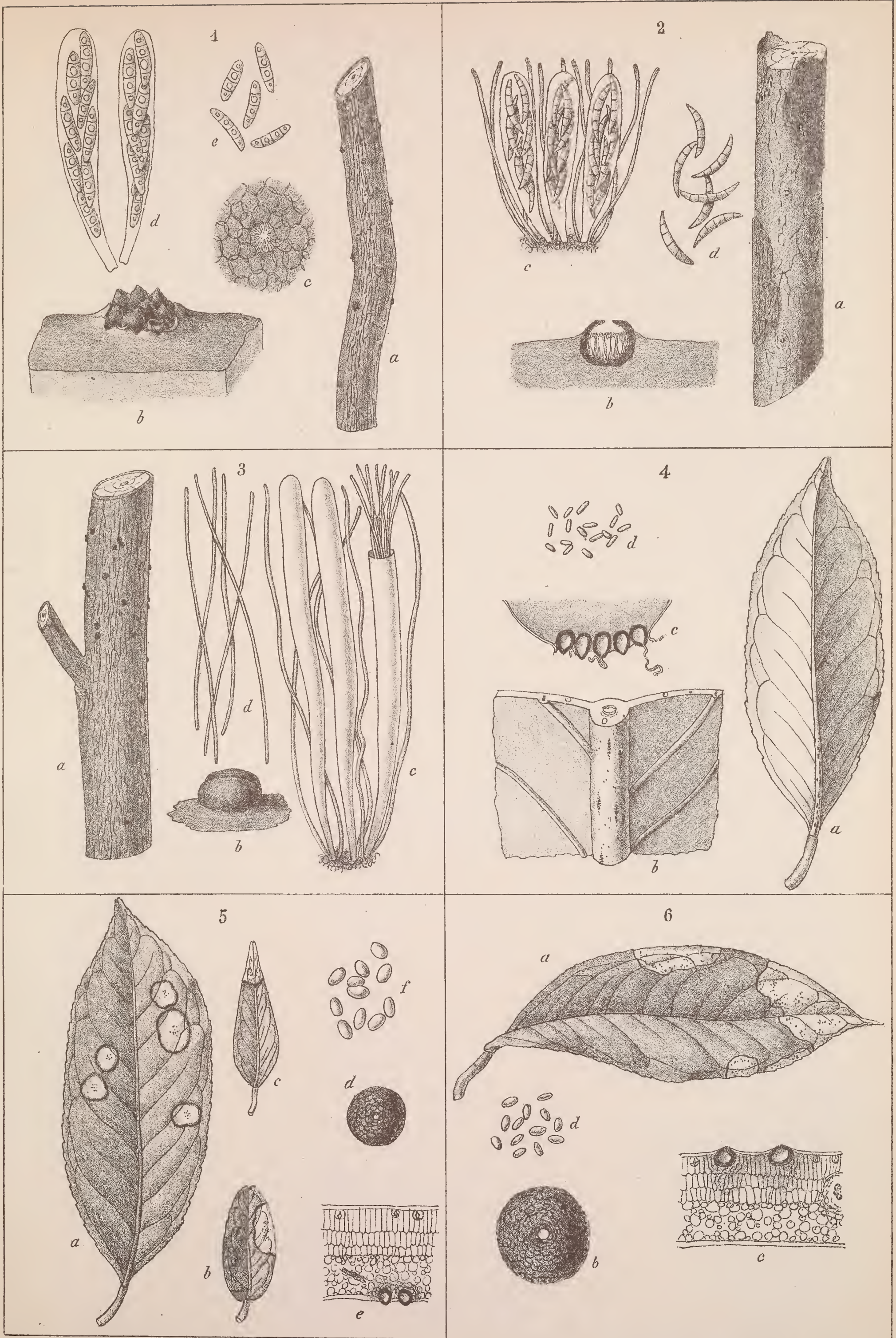




TAVOLA XXXI.

## TAVOLA XXXI.

- FIG. 1. — *Phyllosticta marginalis* Penz. [p. 351]: *a* = foglia infetta ( $\frac{1}{1}$ ); *b* = sezione verticale della foglia, con un peritecio ( $\frac{20}{1}$ ); *c* = mezzo peritecio, visto dall'alto ( $\frac{100}{1}$ ); *d* = stilospore ( $\frac{1000}{1}$ ).
- FIG. 2. — *Phyllosticta micrococcoides* Penz. [p. 351]: *a* = foglia infetta ( $\frac{1}{1}$ ); *b* = sezione verticale della foglia, con quattro periteci ( $\frac{20}{1}$ ); *c* = pezzetto dell'ipofillo, con tre periteci ( $\frac{100}{1}$ ); *d* = stilospore ( $\frac{1000}{1}$ ).
- FIG. 3. — *Phyllosticta platanoidis* Sacc. [p. 353]: *a* = foglia infetta ( $\frac{1}{1}$ ); *b* = sezione verticale della foglia, con cinque periteci ( $\frac{20}{1}$ ); *c* = due periteci, visti dall'alto ( $\frac{100}{1}$ ); *d* = stilospore ( $\frac{1000}{1}$ ).
- FIG. 4. — *Phoma Citri* Sacc. [p. 354]: *a, b* = rametto secco, e pezzo di legno d'arancio col fungo ( $\frac{1}{1}$ ); *c* = sezione verticale di un peritecio ( $\frac{20}{1}$ ); *d* = peritecio visto dall'alto ( $\frac{100}{1}$ ); *e* = gruppo di basidii, con spore ( $\frac{1000}{1}$ ); *f* = stilospore ( $\frac{1000}{1}$ ).
- FIG. 5. — *Phoma densipes* Penz. et Sacc. [p. 354]: *a* = ramoscelli infetti ( $\frac{1}{1}$ ); *b* = sezione verticale di due periteci ( $\frac{20}{1}$ ); *c* = peritecio visto dall'alto ( $\frac{100}{1}$ ); *d* = parte della parete del peritecio, con basidi e stilospore ( $\frac{1000}{1}$ ); *e* = stilospore ( $\frac{1000}{1}$ ).
- FIG. 6. — *Phoma dolichopus* Penz. [p. 355]: *a* = ramo infetto di limone ( $\frac{1}{1}$ ); *b* = sezione verticale di due periteci ( $\frac{20}{1}$ ); *c* = un peritecio prorompente dall'epidermide, visto dall'alto ( $\frac{100}{1}$ ); *d* = basidi e spore ( $\frac{1000}{1}$ ); *e* = stilospore ( $\frac{1000}{1}$ ).



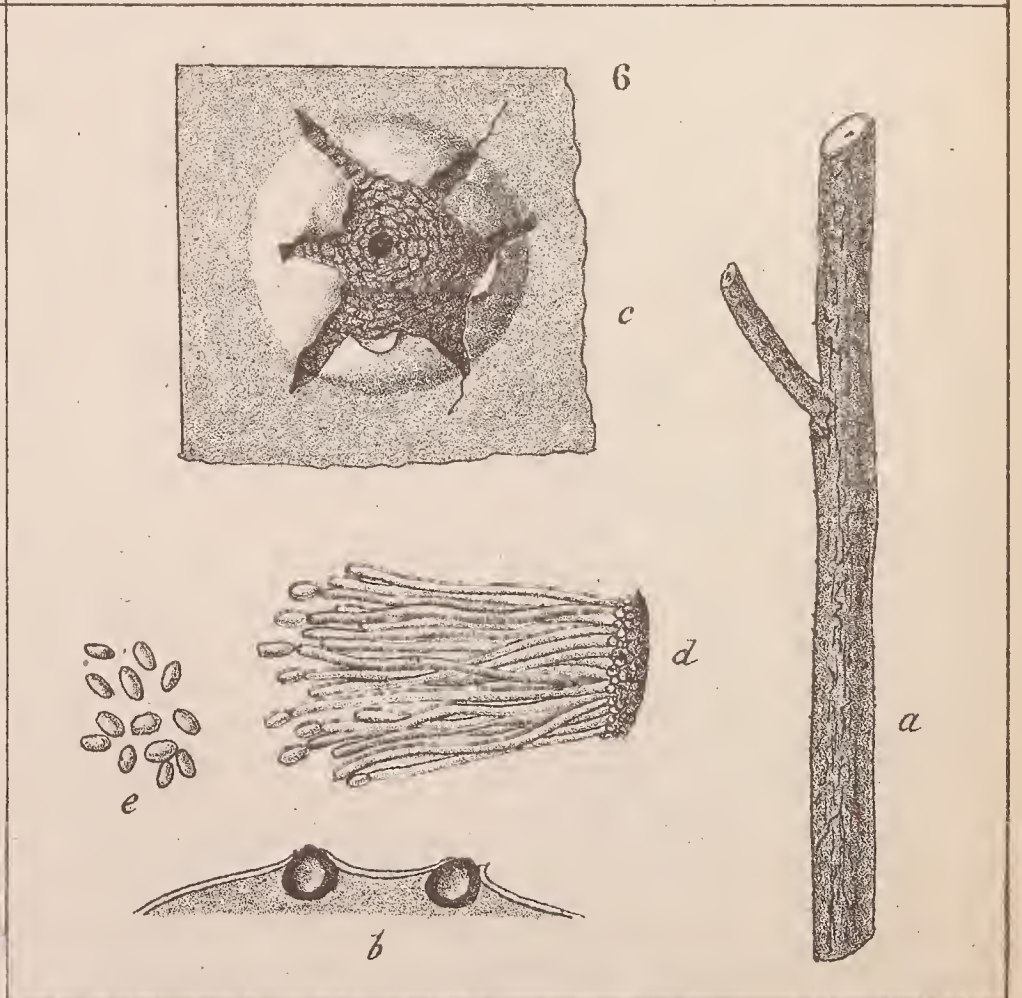
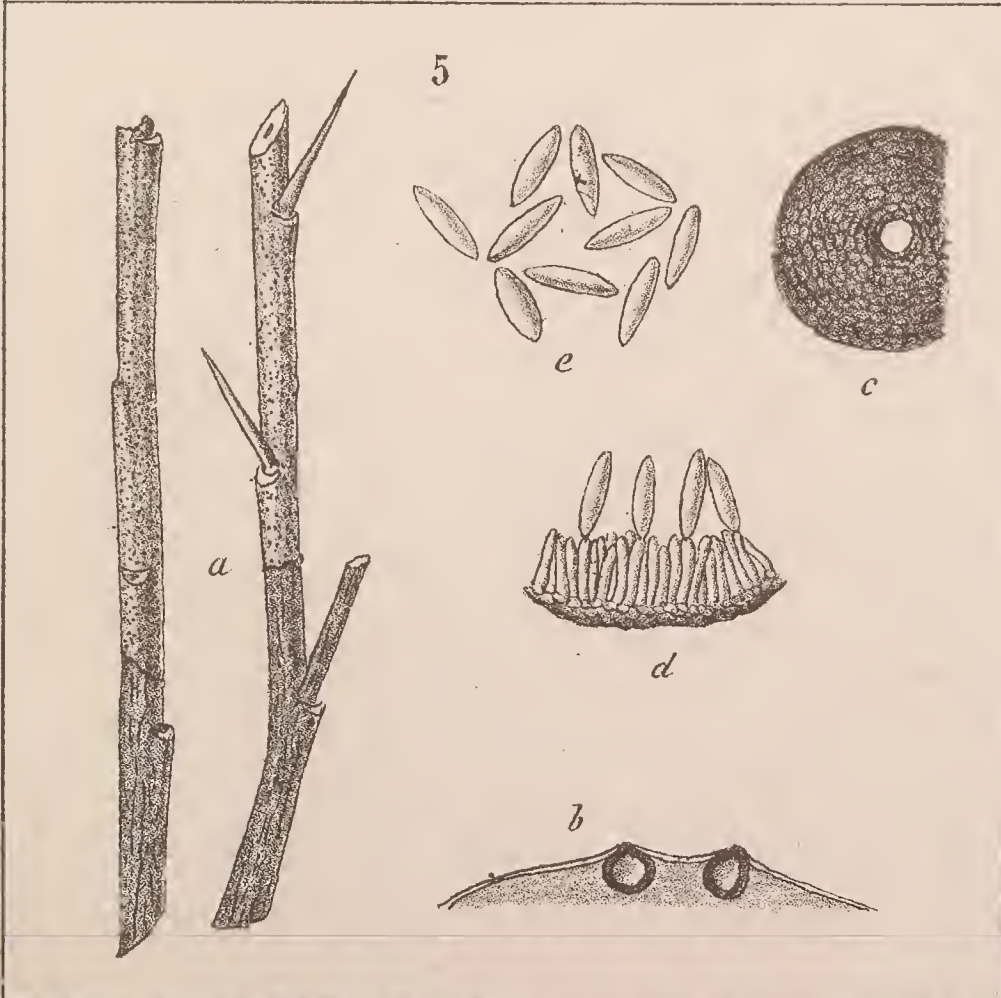
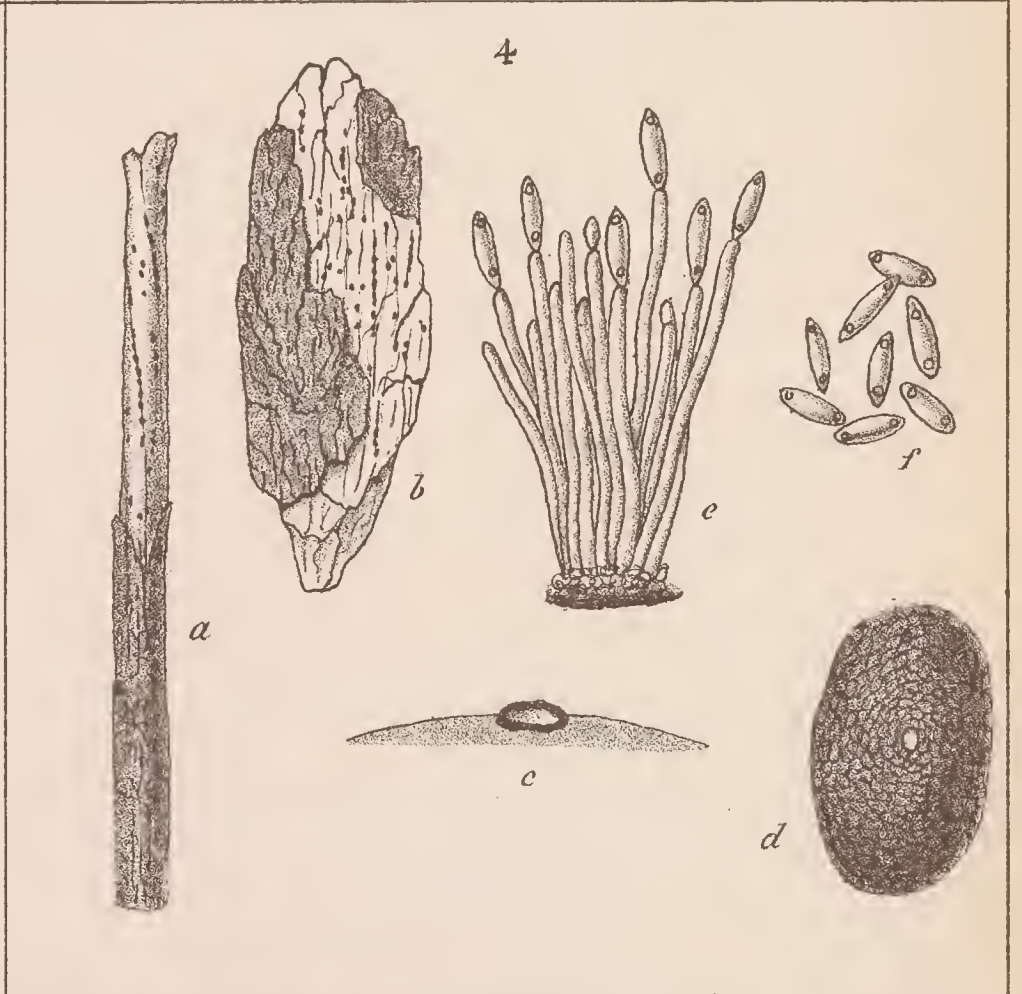
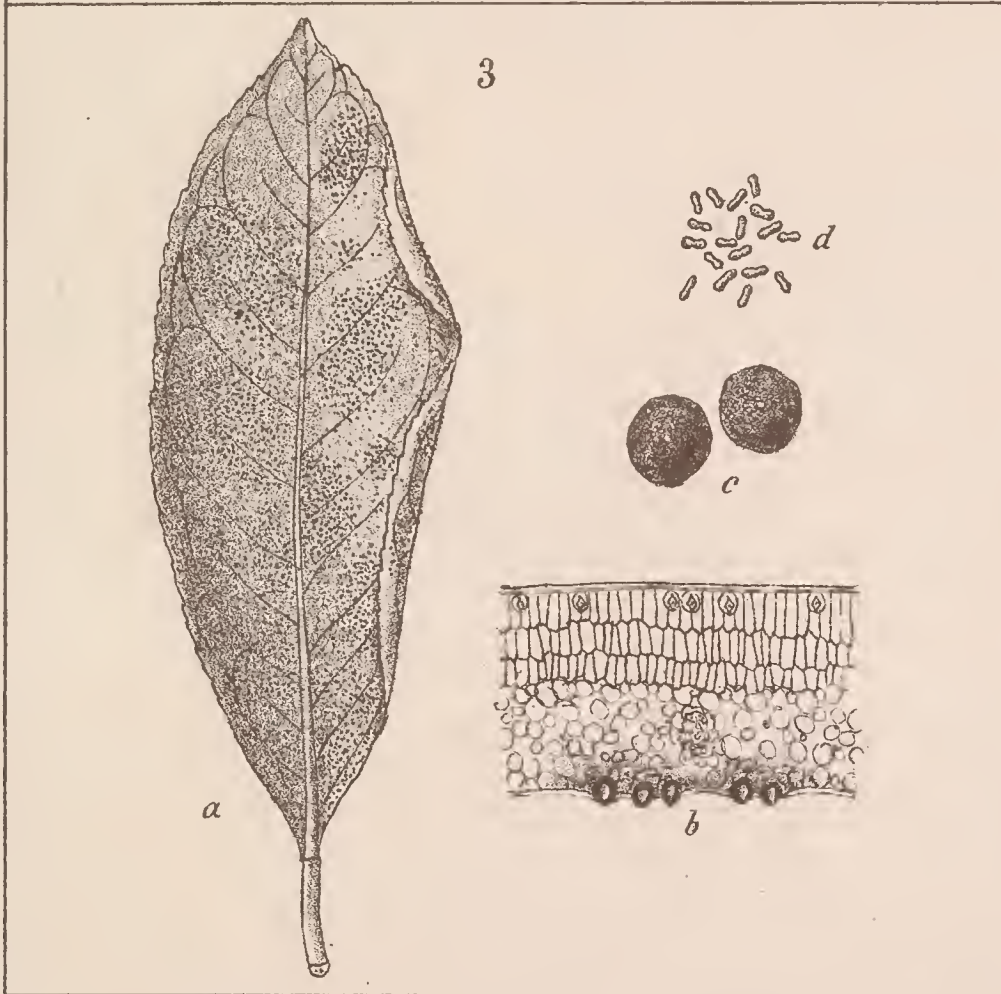
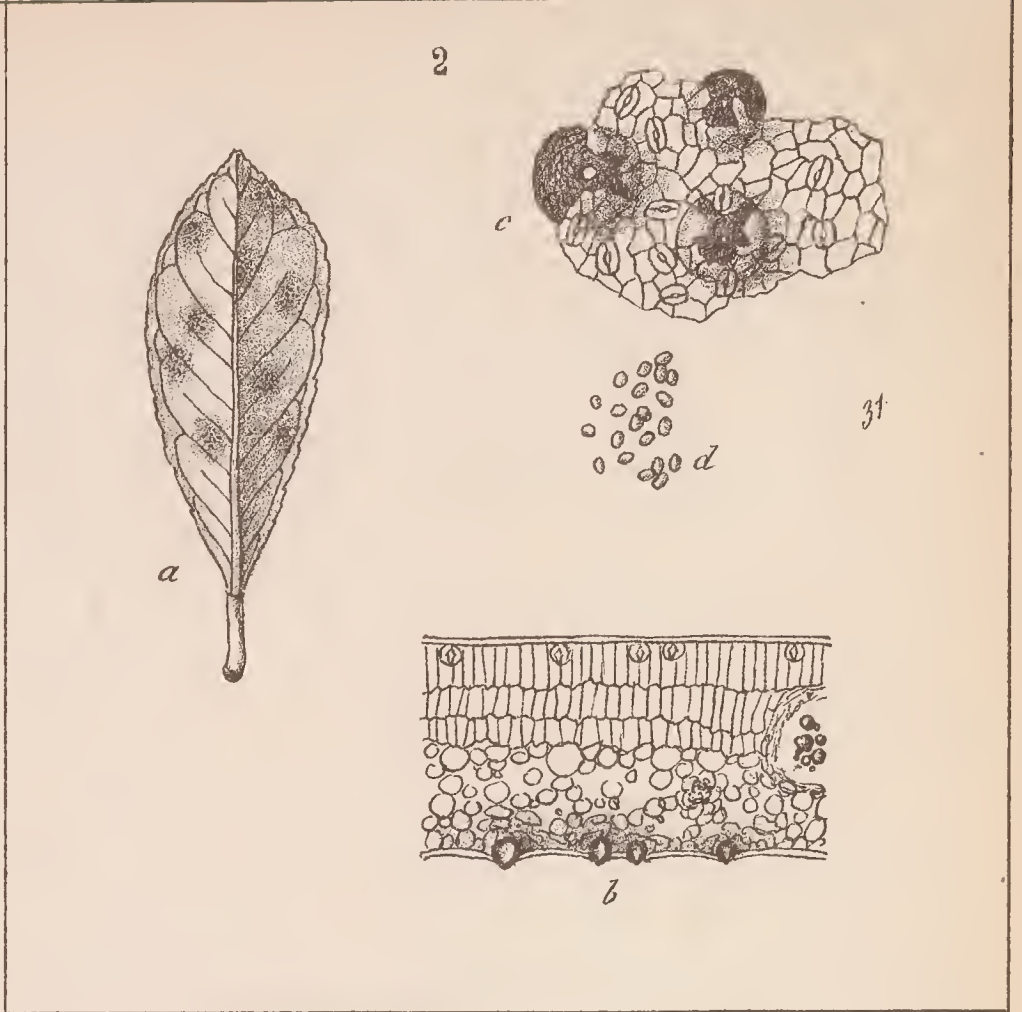
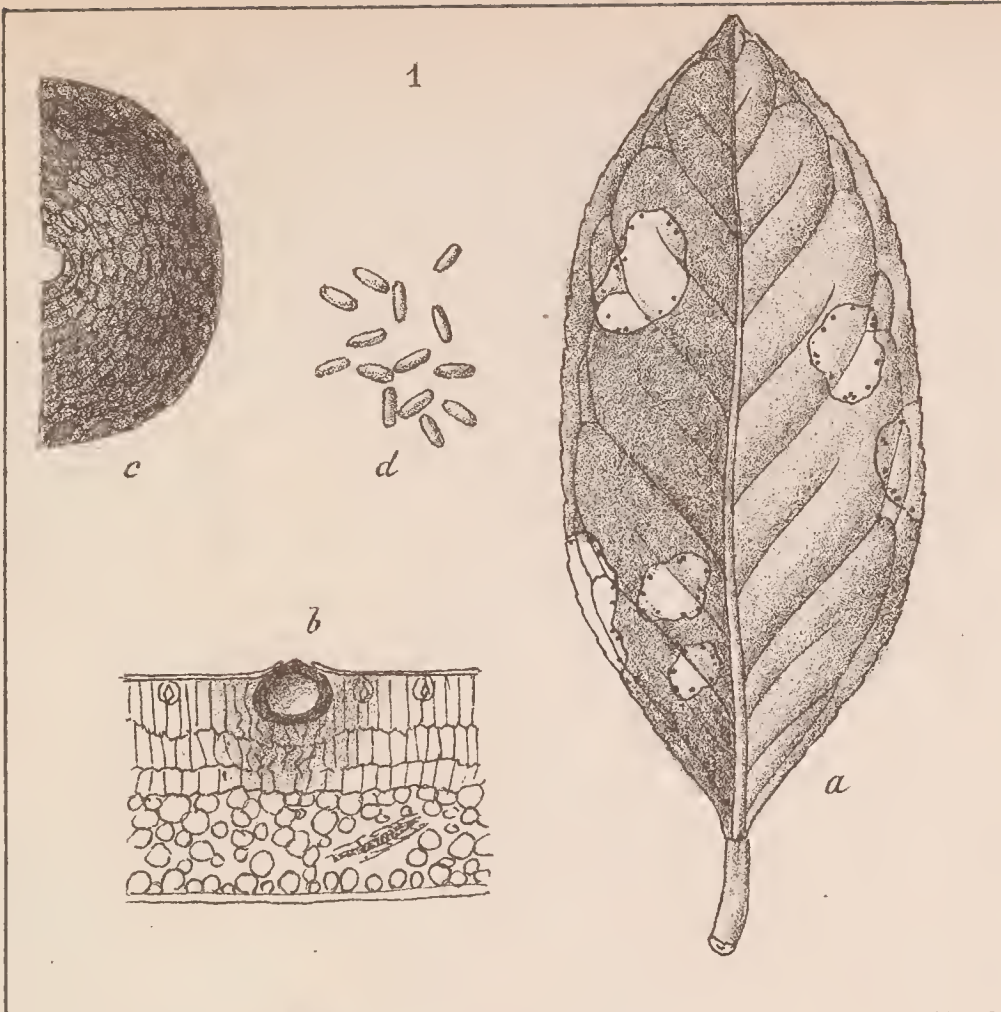




TAVOLA XXXII.

## TAVOLA XXXII.

- FIG. 1. — *Phoma eustaga* Penz. et Sacc. [p. 355]: *a* = foglia infetta ( $\frac{1}{1}$ ); *b* = sezione verticale di tale foglia, con due periteci ( $\frac{20}{1}$ ); *c* = stilospore ( $\frac{1000}{1}$ ).
- FIG. 2. — *Phoma iners* Penz. [p. 356]: *a* = ramo di arancio col funghetto ( $\frac{1}{1}$ ); *b* = sezione verticale di due periteci ( $\frac{20}{1}$ ); *c* = mezzo peritecio, visto dall'alto ( $\frac{100}{1}$ ); *d* = stilospore ( $\frac{1000}{1}$ ).
- FIG. 3. — *Phoma Limoni* Thuem. [p. 357]: *a* = ramo di limone infetto ( $\frac{1}{1}$ ); *b* = sezione verticale di due periteci ( $\frac{20}{1}$ ); *c* = peritecio visto dall'alto ( $\frac{100}{1}$ ); *d* = stilospore ( $\frac{1000}{1}$ ).
- FIG. 4. — *Phoma Limoniae* Penz. [p. 357]: *a* = rametto di *Limonia australis* col fungo ( $\frac{1}{1}$ ); *b* = sezione verticale di un peritecio ( $\frac{20}{1}$ ); *c* = peritecio visto dall'alto ( $\frac{100}{1}$ ); *d* = gruppo di basidi e spore ( $\frac{1000}{1}$ ); *e* = stilospore ( $\frac{1000}{1}$ ).
- FIG. 5. — *Phoma rigida* Penz. [p. 358]: *a* = foglia infetta ( $\frac{1}{1}$ ); *b* = sezione verticale di tale foglia, con tre periteci ( $\frac{20}{1}$ ); *c* = peritecio visto dall'alto ( $\frac{100}{1}$ ); *d* = stilospore ( $\frac{1000}{1}$ ).
- FIG. 6. — *Phoma scabella* Penz. [p. 359]: *a* = pezzo di foglia; *b* = ramo coi periteci del fungo ( $\frac{1}{1}$ ); *c* = sezione verticale d'un peritecio ( $\frac{20}{1}$ ); *d* = peritecio visto dall'alto ( $\frac{100}{1}$ ); *e* = gruppo di basidi e stilospore ( $\frac{1000}{1}$ ); *f* = stilospore ( $\frac{1000}{1}$ ).

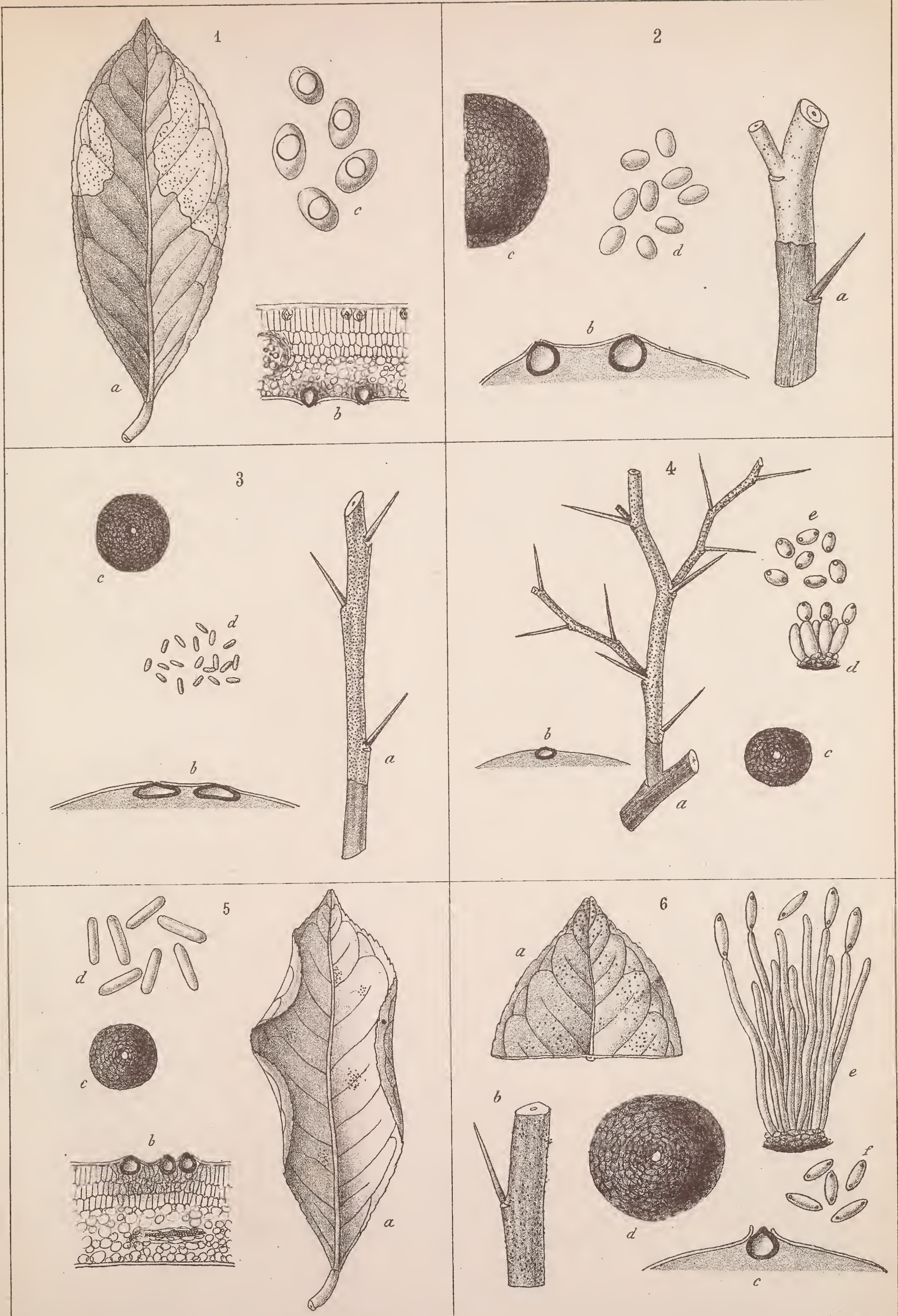




TAVOLA XXXIII.

## TAVOLA XXXIII.

- FIG. 1. — *Phoma (Macrophoma) Mantegazziana* Penz. [p. 360]: *a* = mezza foglia con periteci ( $\frac{1}{1}$ ); *b* = sezione verticale di tale foglia, con due periteci ( $\frac{20}{1}$ ); *c* = mezzo peritecio visto dall'alto ( $\frac{100}{1}$ ); *d* = parete del peritecio, basidi e stilospore ( $\frac{1000}{1}$ ); *e* = stilospore ( $\frac{1000}{1}$ ).
- FIG. 2. — *Phoma (Phomopsis) cytosporella* Penz. et Sacc. [p. 361]: *a* = pezzo di legno con periteci ( $\frac{1}{1}$ ); *b* = sezione verticale d'un gruppo di periteci ( $\frac{100}{1}$ ); *c, d* = sezione orizzontale dei periteci pluriloculari ( $\frac{100}{1}$ ); *e* = basidi e stilospore ( $\frac{1000}{1}$ ); *f* = stilospore ( $\frac{1000}{1}$ ).
- FIG. 3. — *Aposphaeria citricola* Penz. et Sacc. [p. 361]: *a* = pezzo di legno annerito, con numerosi periteci ( $\frac{1}{1}$ ); *b* = periteci ingranditi ( $\frac{20}{1}$ ); *c* = peritecio visto dall'alto, emettendo dall'ostiolo un cirro di spore ( $\frac{100}{1}$ ); *d* = stilospore ( $\frac{1000}{1}$ ).
- FIG. 4. — *Aposphaeria sepulta* (Penz.) Sacc. [p. 362]: *a* = legno con periteci ( $\frac{1}{1}$ ); *b* = periteci immersi nel legno ( $\frac{20}{1}$ ); *c* = basidi e stilospore ( $\frac{1000}{1}$ ); *d* = stilospore ( $\frac{1000}{1}$ ).
- FIG. 5. — *Aposphaeria stenostoma* (Penz.) Sacc. [p. 362]: *a* = legno con periteci ( $\frac{1}{1}$ ); *b* = periteci ingranditi ( $\frac{20}{1}$ ); *c* = peritecio visto dall'alto ( $\frac{100}{1}$ ); *d* = gruppo di basidi ( $\frac{1000}{1}$ ); *e* = stilospore ( $\frac{1000}{1}$ ).
- FIG. 6. — *Dendrophoma valsipora* Penz. [p. 363]: *a* = foglia infetta ( $\frac{1}{1}$ ); *b* = sezione verticale di tale foglia, con due periteci ( $\frac{20}{1}$ ); *c* = mezzo peritecio, visto dall'alto ( $\frac{100}{1}$ ); *d* = basidi ramificati ( $\frac{1000}{1}$ ); *e* = stilospore ( $\frac{1000}{1}$ ).



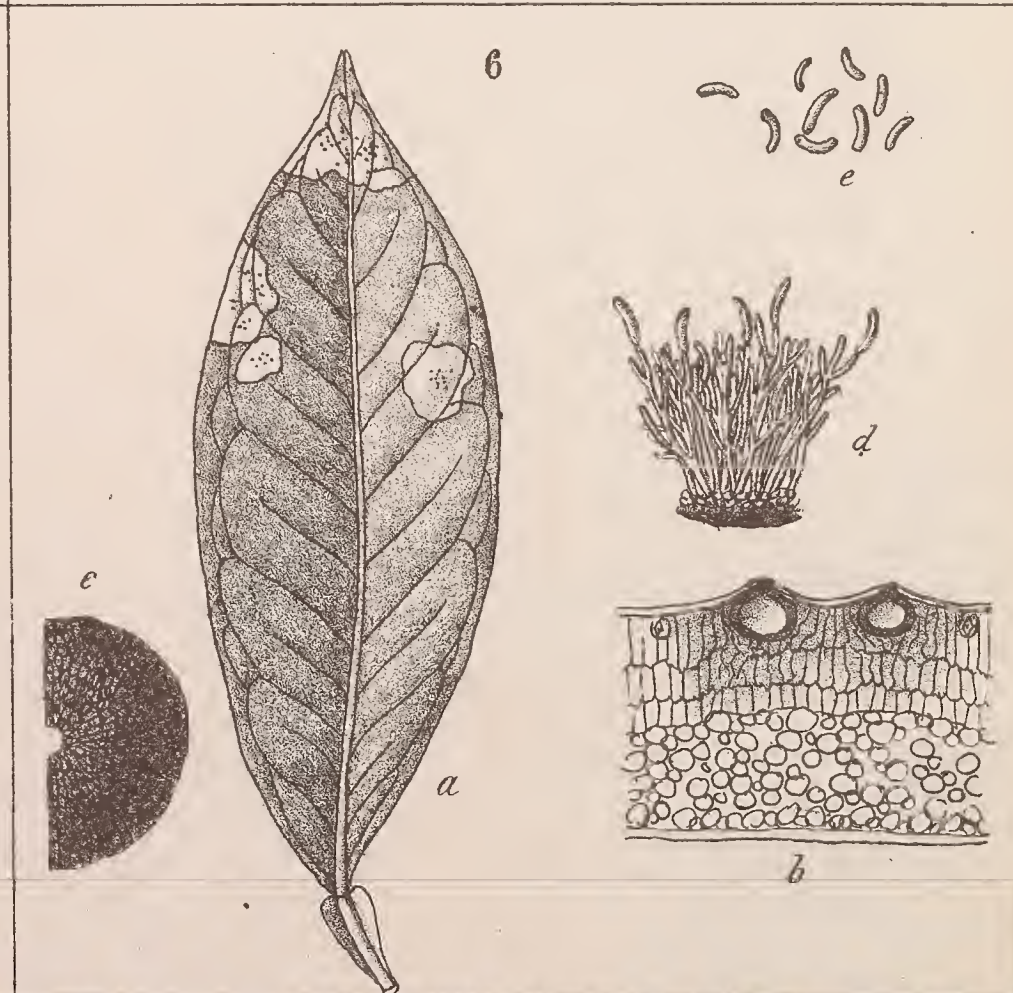
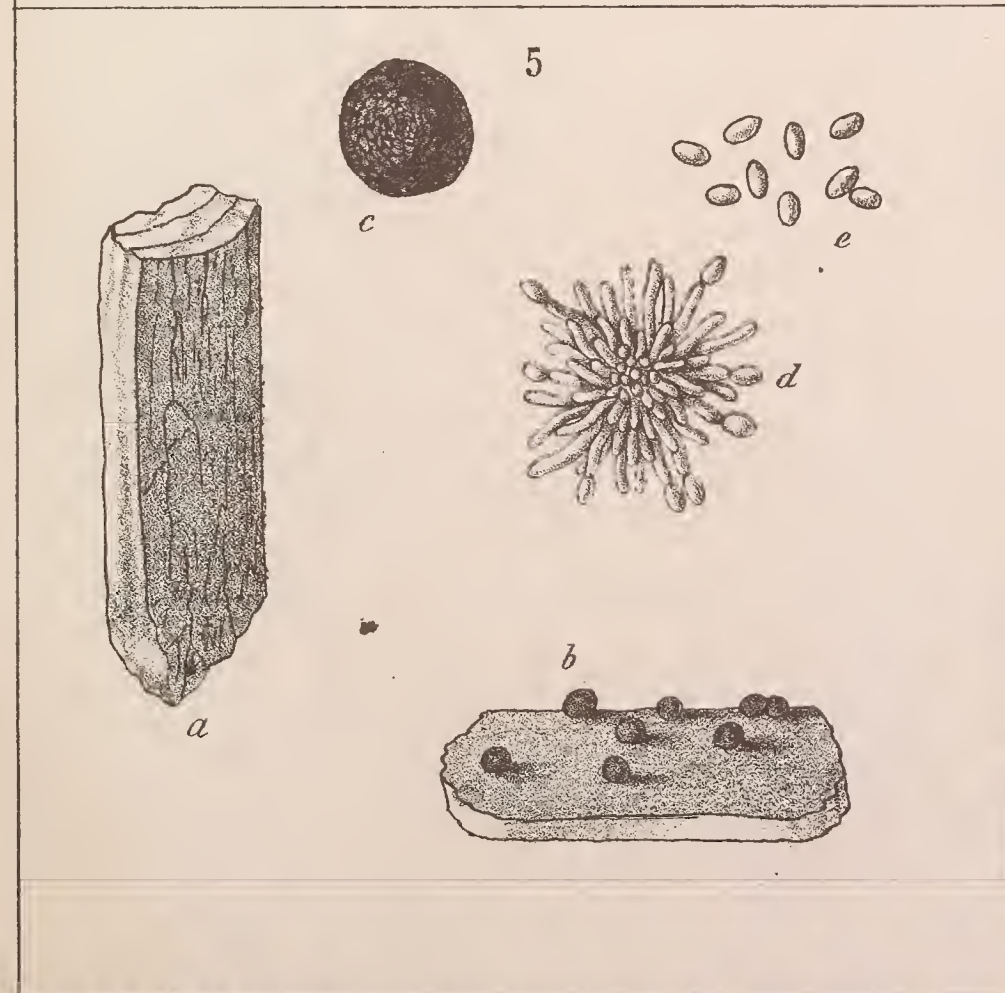
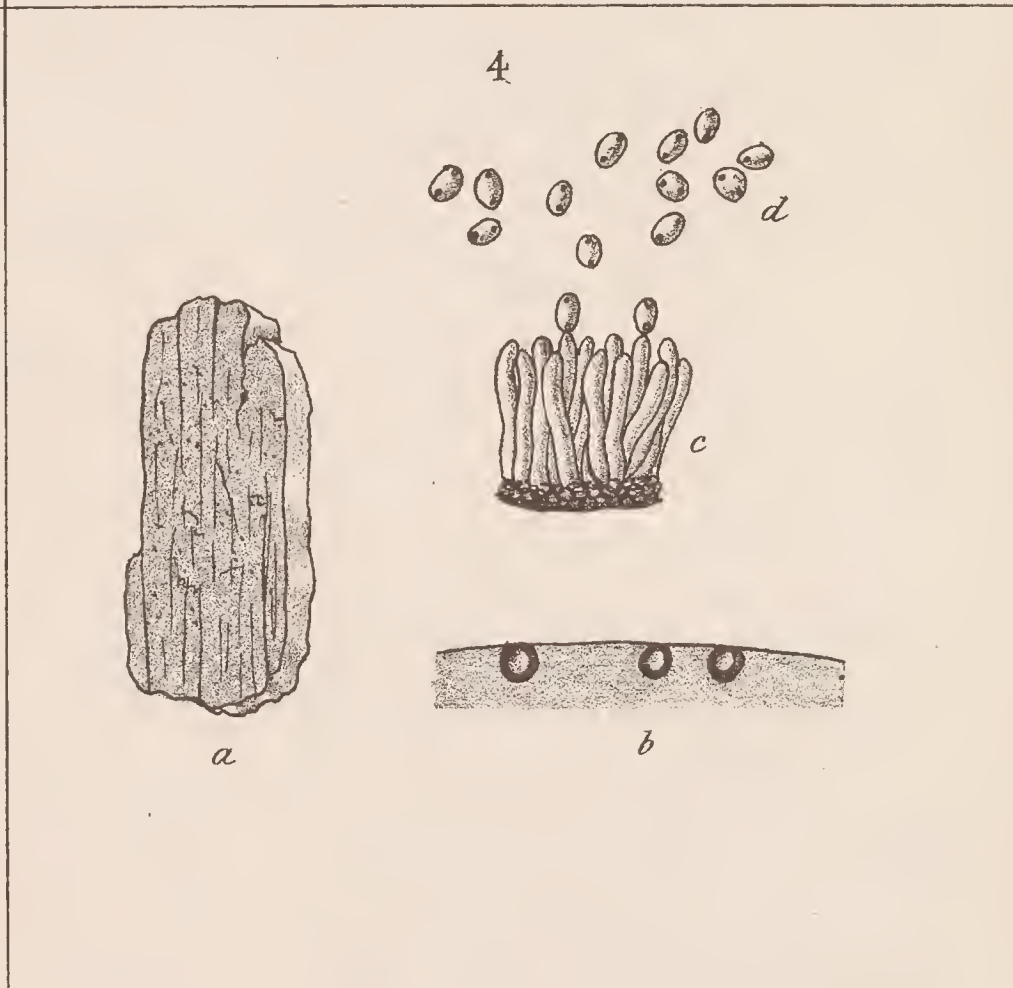
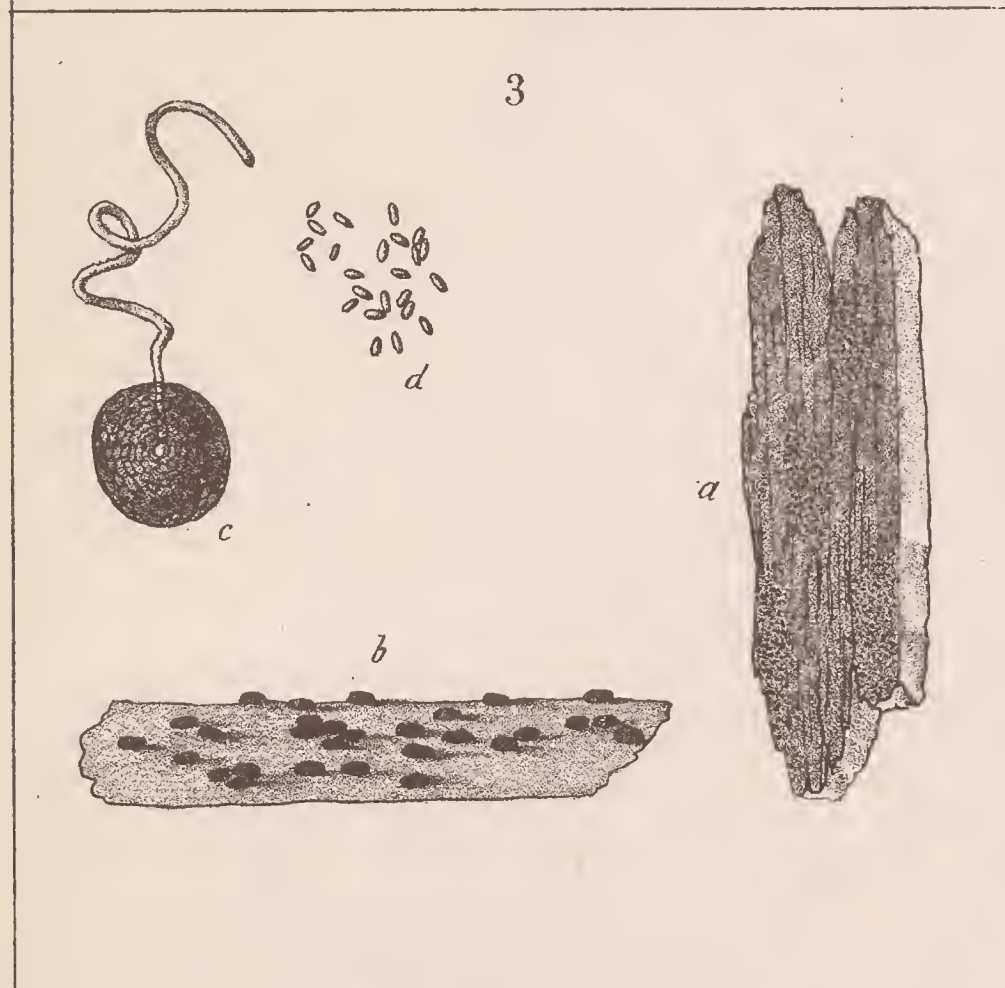
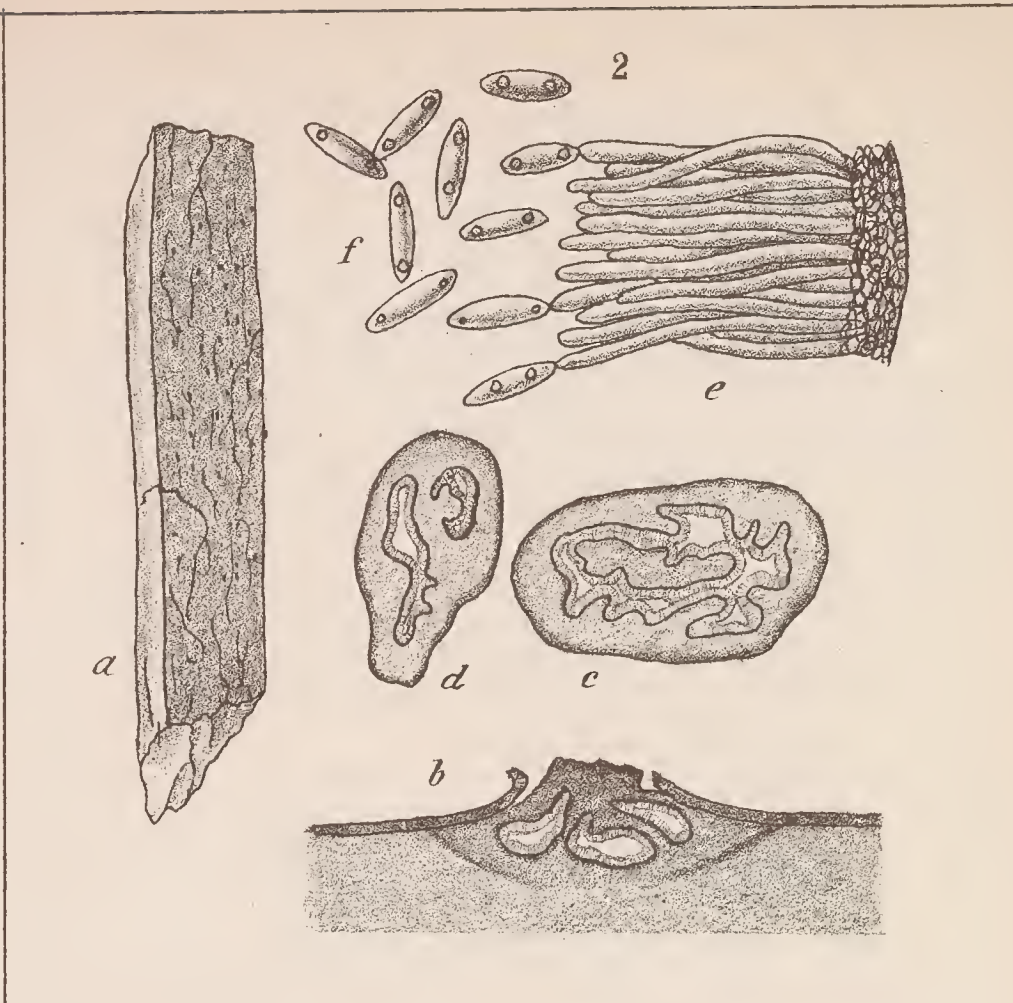
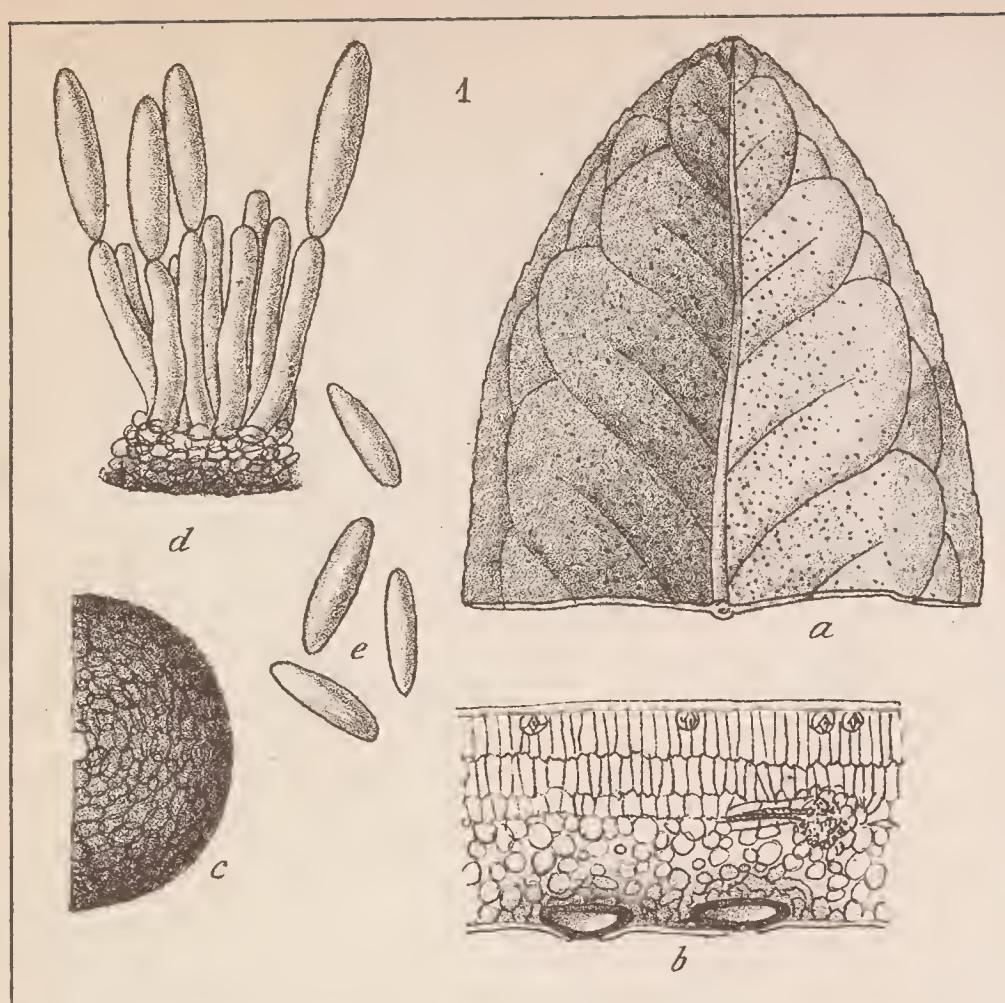




TAVOLA XXXIV.

## TAVOLA XXXIV.

- FIG. 1. — *Ceuthospora phacidioides* Grev. (p. 363):  $a$  = foglia infetta ( $\frac{1}{1}$ );  $b$  = sezione verticale della medesima, con un gruppo di periteci ( $\frac{20}{1}$ );  $c$  = sezione orizzontale di un gruppo di periteci ( $\frac{100}{1}$ );  $d$  = basidi e stilospore ( $\frac{1000}{1}$ );  $e$  = stilospore ( $\frac{1000}{1}$ ).
- FIG. 2. — *Septoria Arethusa* Penz. [p. 364]:  $a$  = foglia infetta ( $\frac{1}{1}$ );  $b$  = sezione verticale di tale foglia, con due periteci ( $\frac{20}{1}$ );  $c$  = stilospore ( $\frac{1000}{1}$ ).
- FIG. 3. — *Septoria Citri* Passer. [p. 366]:  $a$  = foglia infetta ( $\frac{1}{1}$ );  $b$  = sezione verticale della medesima, con tre periteci ( $\frac{20}{1}$ );  $c$  = stilospore ( $\frac{1000}{1}$ );  $d$  = stilospore della *var. minor* Penz.
- FIG. 4. — *Septoria Limonum* Passer. [p. 367]:  $a$  = foglia infetta ( $\frac{1}{1}$ );  $b$  = sezione verticale della foglia, con due periteci ( $\frac{20}{1}$ );  $c$  = stilospore ( $\frac{1000}{1}$ ).
- FIG. 5. — *Septoria sicula* Penz. [p. 367]:  $a$  = foglia infetta ( $\frac{1}{1}$ );  $b$  = sezione verticale della medesima, con un peritecio ( $\frac{20}{1}$ );  $c$  = basidi e stilospore ( $\frac{1000}{1}$ );  $d$  = stilospore ( $\frac{1000}{1}$ ).
- FIG. 6. — *Septoria Tibia* Penz. [p. 368]:  $a, b$  = foglia di limone e di *Limonia australis*, col funghetto ( $\frac{1}{1}$ );  $c$  = sezione di una foglia di limone, con due periteci ( $\frac{20}{1}$ );  $d$  = stilospore ( $\frac{1000}{1}$ ).





TAVOLA XXXV.

## TAVOLA XXXV.

- FIG. 1. — *Rhabdospora Falx* (Berk. et C.) Sacc. [p. 369]:  $a$  = ramo infetto ( $\frac{1}{1}$ );  $b$  = sezione verticale di alcuni periteci ( $\frac{20}{1}$ );  $c$  = parete del peritecio con basidi e stilospore ( $\frac{1000}{1}$ );  $d$  = stilospore ( $\frac{1000}{1}$ ).
- FIG. 2. — *Rhabdospora flexuosa* (Penz.) Sacc. [p. 369]:  $a$  = ramo infetto ( $\frac{1}{1}$ );  $b$  = peritecio prorompente, visto dall'alto ( $\frac{100}{1}$ );  $c$  = sezione verticale di un peritecio ( $\frac{20}{1}$ );  $d$  = stilospore ( $\frac{1000}{1}$ ).
- FIG. 3. — *Phlyctaena Pseudophoma* Sacc. [p. 370]:  $a$  = ramo infetto ( $\frac{1}{1}$ );  $b$  = peritecio prorompente, visto dall'alto ( $\frac{100}{1}$ );  $c$  = peritecio sezionato verticalmente ( $\frac{20}{1}$ );  $d$  = stilospore.
- FIG. 4. — *Coniothyrium Fuckelii* Sacc. f. *Citri* Penz. [p. 370]:  $a$  = foglia infetta ( $\frac{1}{1}$ );  $b$  = sezione verticale della foglia, con due periteci ( $\frac{20}{1}$ );  $c$  = peritecio visto dall'alto ( $\frac{100}{1}$ );  $d$  = stilospore ( $\frac{1000}{1}$ ).
- FIG. 5. — *Coniothyrium fusco-atrum* Penz. [p. 371]:  $a$  = ramo d'arancio con periteci ( $\frac{1}{1}$ );  $b$  = peritecio sezionato verticalmente ( $\frac{20}{1}$ );  $c$  = mezzo peritecio visto dall'alto ( $\frac{100}{1}$ );  $d$  = stilospore ( $\frac{1000}{1}$ ).
- FIG. 6. — *Coniothyrium olivaceum* Bon. f. *Hesperidum* Penz. [p. 371]:  $a$  = ramo infetto ( $\frac{1}{1}$ );  $b$  = sezione verticale di due periteci ( $\frac{20}{1}$ );  $c$  = peritecio papillato, visto dall'alto ( $\frac{100}{1}$ );  $d$  = stilospore ( $\frac{1000}{1}$ ).



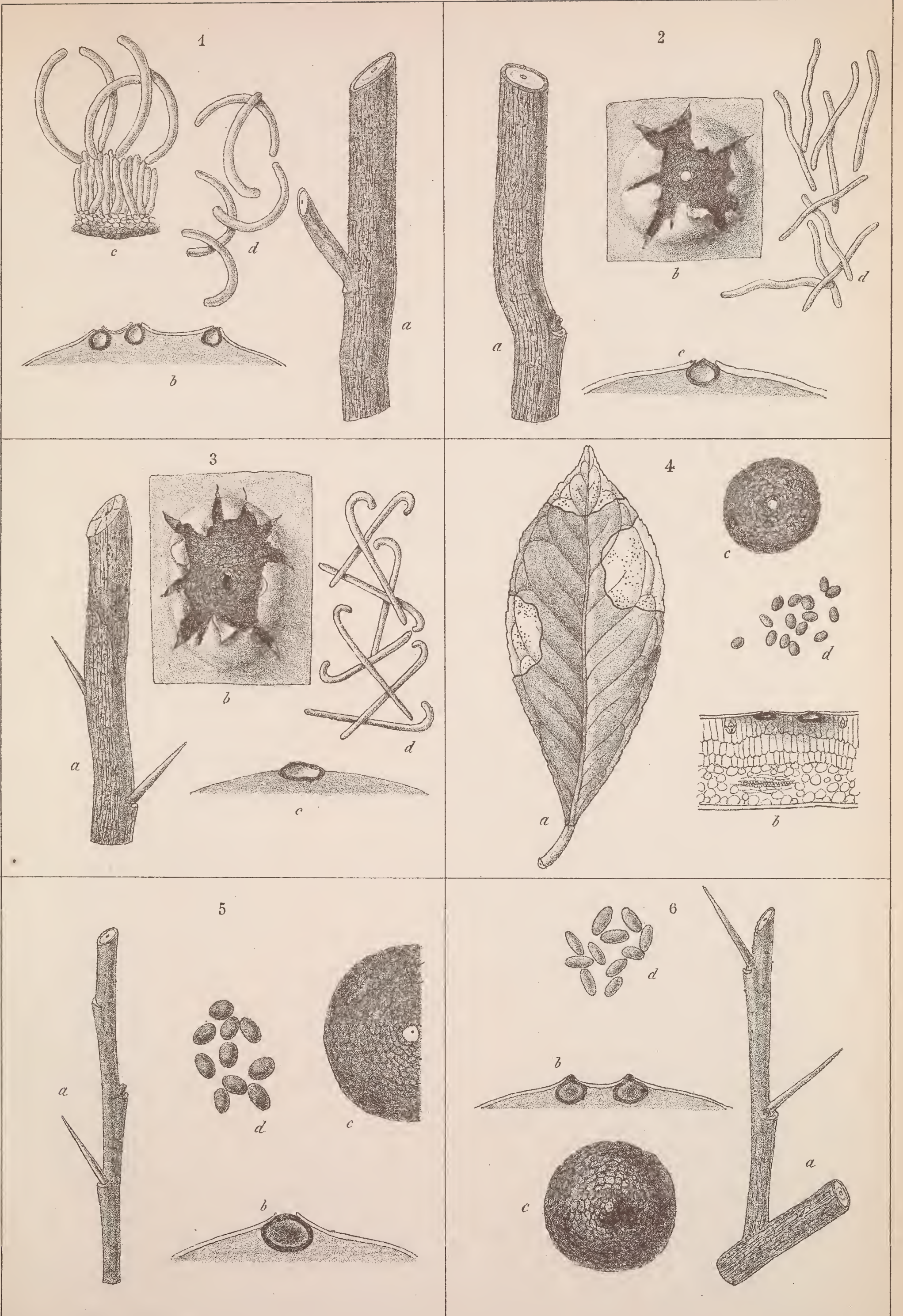




TAVOLA XXXVI.

## TAVOLA XXXVI.

- FIG. 1. — *Sphaeronema caespitosum* Fuck. var. *trigonellum* Penz. [p. 372]: *a* = pezzo di legno collo stroma e con periteci ( $\frac{1}{1}$ ); *b* = periteci della forma tipica ( $\frac{20}{1}$ ); *c* = periteci della forma *humilior* ( $\frac{20}{1}$ ); *d* = parete del peritecio, con basidi e spore ( $\frac{1000}{1}$ ); *e* = stilospore ( $\frac{1000}{1}$ ).
- FIG. 2. — *Sphaeropsis Henriquesii* Thuem. [p. 374]: *a* = ramo infetto ( $\frac{1}{1}$ ); *b* = periteci ingranditi ( $\frac{20}{1}$ ); *c* = basidi e spore ( $\frac{1000}{1}$ ); *d* = stilospore ( $\frac{1000}{1}$ ).
- FIG. 3. — *Diplodia Aurantii* Catt. [p. 375]: *a* = ramo infetto ( $\frac{1}{1}$ ); *b* = foglia con periteci ( $\frac{1}{1}$ ); *c* = peritecio isolato, visto di fianco ( $\frac{100}{1}$ ); *d* = sezione verticale di due periteci ( $\frac{20}{1}$ ); *e* = basidi e spore ( $\frac{500}{1}$ ); *f* = spora immatura ( $\frac{500}{1}$ ); *g* = spora matura ( $\frac{1000}{1}$ ).
- FIG. 4. — *Diplodia microsporella* Sacc. var. *pusilla* Penz. [p. 376]: *a* = ramo infetto ( $\frac{1}{1}$ ); *b* = pezzo di corteccia ingrandito coi gruppi di periteci ( $\frac{20}{1}$ ); *c* = stilospore ( $\frac{1000}{1}$ ).
- FIG. 5. — *Ascochyta bombycina* Penz. et Sacc. [p. 377]: *a* = ramoscello di *Limonia australis* colle foglie invase dal parassita ( $\frac{1}{1}$ ); *b* = sezione verticale di una foglia con tre periteci ( $\frac{20}{1}$ ); *c* = stilospore ( $\frac{1000}{1}$ ).
- FIG. 6. — *Ascochyta Citri* Penz. [p. 378]: *a* = foglia infetta ( $\frac{1}{1}$ ); *b* = sezione verticale della medesima, con due periteci ( $\frac{20}{1}$ ); *c* = stilospore ( $\frac{1000}{1}$ ).

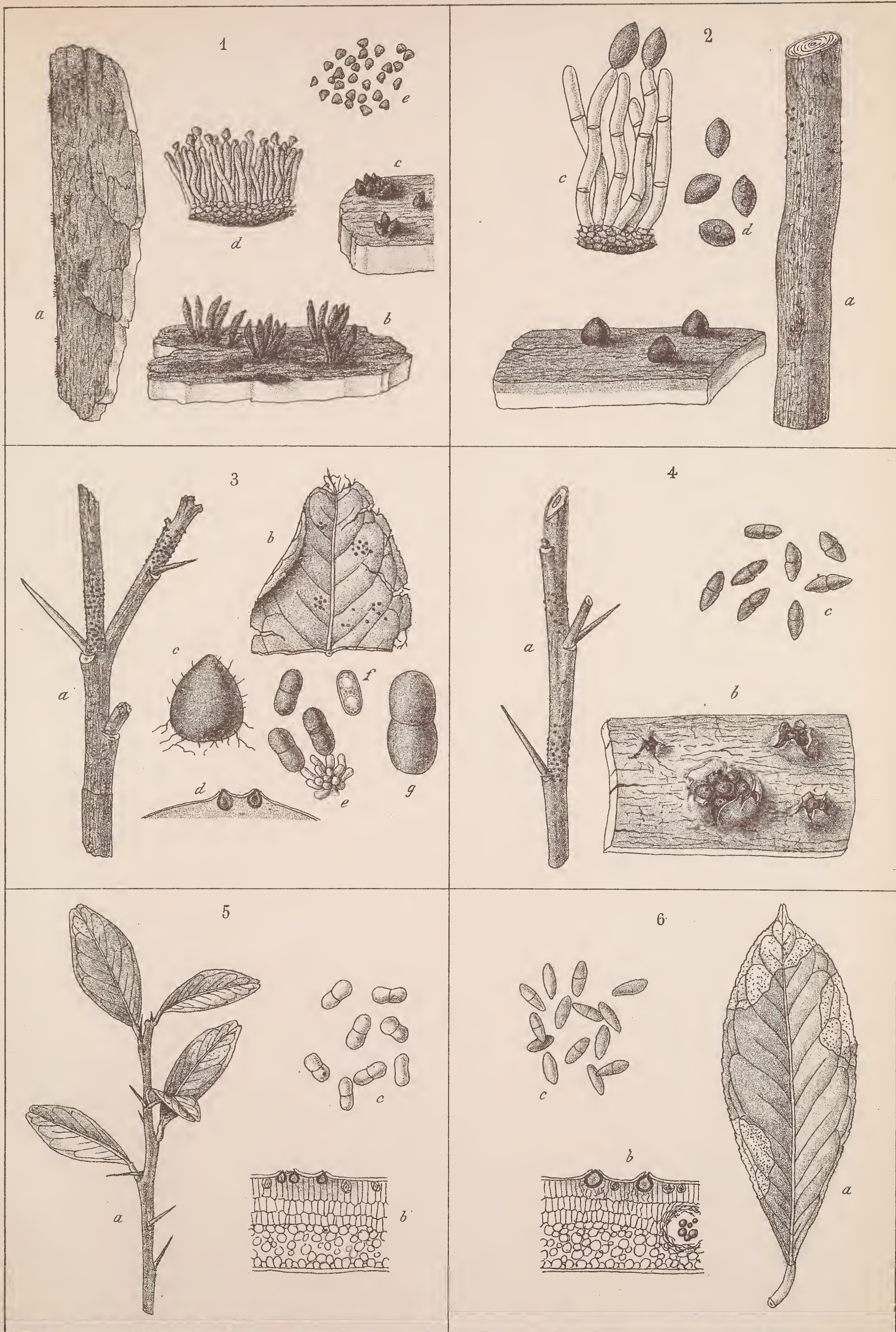




TAVOLA XXXVII.

## TAVOLA XXXVII.

- FIG. 1. — *Ascochyta Hesperidum* Penz. [p. 379]: *a* = foglia infetta di limone ( $\frac{1}{1}$ ); *b* = foglia infetta di *Limonia australis* ( $\frac{1}{1}$ ); *c* = sezione verticale della foglia di limone, con due periteci ( $\frac{20}{1}$ ); *d* = stilospore ( $\frac{1000}{1}$ ).
- FIG. 2. — *Gloeosporium depressum* Penz. [p. 381]: *a* = foglia infetta ( $\frac{1}{1}$ ); *b* = basidi e spore ( $\frac{1000}{1}$ ); *c* = spore ( $\frac{1000}{1}$ ).
- FIG. 3. — *Gloeosporium Hesperidearum* Catt. [p. 381]: *a* = foglia infetta ( $\frac{1}{1}$ ); *b* = basidi e spore ( $\frac{1000}{1}$ ); *c* = spore ( $\frac{1000}{1}$ ).
- FIG. 4. — *Gloeosporium intermedium* Sacc. [p. 382]: significato delle lettere ed ingrandimenti come sopra.
- FIG. 5. — *Gloeosporium intermedium* Sacc. var. *subramulosum* Sacc. [p. 383]: come sopra.
- FIG. 6. — *Gloeosporium intermedium* Sacc. var. *Limoniae australis* Penz. [p. 383]: come sopra.



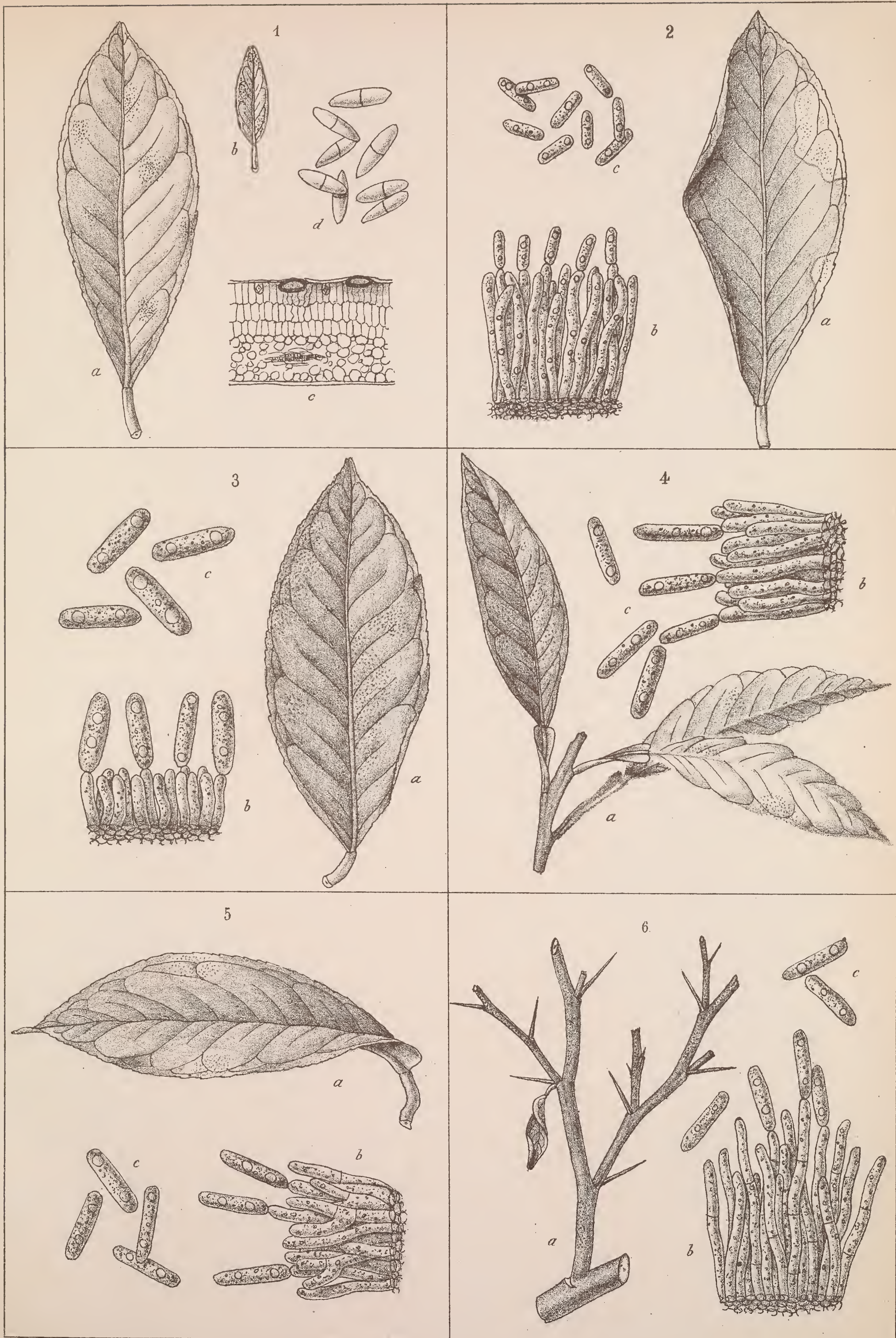




TAVOLA XXXVIII.

## TAVOLA XXXVIII.

- FIG. 1. — *Gloeosporium macropus* Sacc. [p. 384]: *a* = foglia infetta ( $\frac{1}{1}$ ); *b* = basidi e spore ( $\frac{1000}{1}$ );  
*c* = spore ( $\frac{1000}{1}$ ).
- FIG. 2. — *Gloeosporium sphaerelloides* Sacc. [p. 384]: come sopra.
- FIG. 3. — *Colletotrichum gloeosporioides* Penz. [p. 384]: *a* = foglia infetta ( $\frac{1}{1}$ ); *b* = basidi e spore ( $\frac{1000}{1}$ );  
*s* = setole.
- FIG. 4. — *Colletotrichum gloeosporioides* Penz. [p. 384]: *a* = forma ramincola ( $\frac{1}{1}$ ); *b* = acervulo del  
fungo, mezzo nascosto sotto l'epidermide, visto dall'alto ( $\frac{100}{1}$ ); *c* = acervulo simile, irregolare,  
della forma ramincola ( $\frac{100}{1}$ ); *d e* = basidi e spore della varietà a spore più brevi ( $\frac{1000}{1}$ );  
*s* = setole.
- FIG. 5. — *Hormococcus nitidulus* Sacc. [p. 386]: *a* = pezzetto di legno con acervuli del fungo ( $\frac{1}{1}$ );  
*b* = alcuni acervuli più ingranditi ( $\frac{50}{1}$ ); *c* = sezione verticale di un acervulo ( $\frac{100}{1}$ ); *d* = ba-  
sidi e spore ( $\frac{500}{1}$ ); *e* = spore ( $\frac{1000}{1}$ ).
- FIG. 6. — *Hormococcus olivascens* Sacc. [p. 386]: *a b* = apparenza del fungo sopra i rami e sopra le  
foglie ( $\frac{1}{1}$ ); *c* = sezione verticale d'un acervulo ( $\frac{100}{1}$ ); *d* = basidi e spore ( $\frac{500}{1}$ ); *e* = spore ( $\frac{1000}{1}$ ).

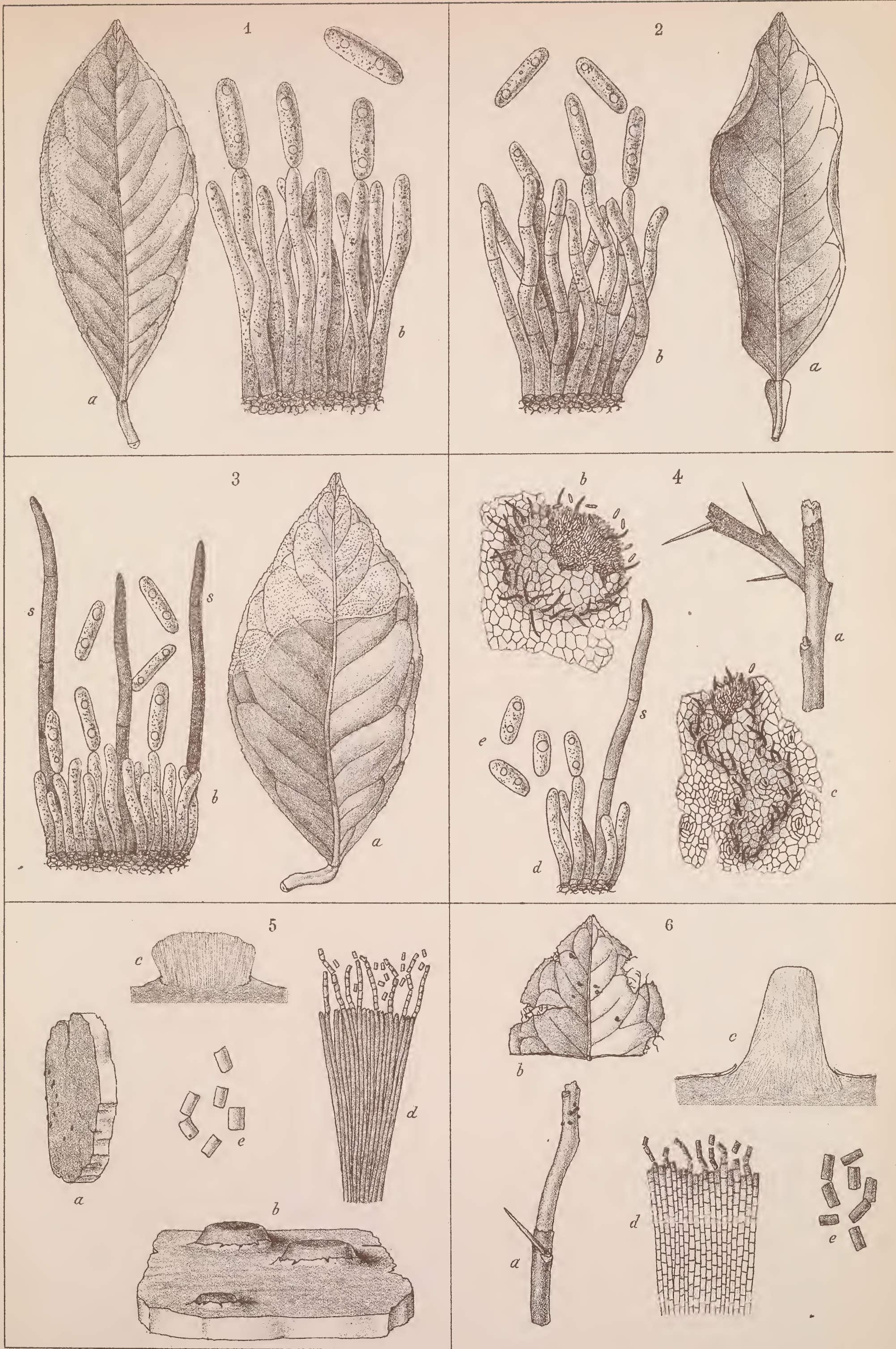




TAVOLA XXXIX.

## TAVOLA XXXIX.

- FIG. 1. — *Coryneum concolor* Penzig [p. 387]: *a* = foglia infetta ( $\frac{1}{1}$ ); *b* = basidi e spore ( $\frac{1000}{1}$ );  
*c* = spore ( $\frac{1000}{1}$ ).
- FIG. 2. — *Pestalozzia funerea* Desm. [p. 388]: *a* = foglia infetta ( $\frac{1}{1}$ ); *b* = sezione verticale di tale  
foglia, con un acervulo ( $\frac{20}{1}$ ); *c* = spore ( $\frac{1000}{1}$ ).
- FIG. 3. — *Oospora hyalinula* Sacc. [p. 389]: *a* = foglia inquinata dalla *Meliola Penzigi* Sacc., sulla  
quale vive parassitica l'*Oospora* ( $\frac{1}{1}$ ); *b* = filo micelico della *Meliola*, circondato dalle ife  
dell'*Oospora* ( $\frac{500}{1}$ ); *c* = ife sterili e fertili dell'*Oospora* ( $\frac{700}{1}$ ).
- FIG. 4. — *Oedocephalum albidum* Sacc. [p. 390]: *a* = radice di limone coi cespuglietti del fungo ( $\frac{1}{1}$ );  
*b* = ife sterili e fertili ( $\frac{100}{1}$ ); *c* = capolino di conidi ( $\frac{500}{1}$ ); *d* = estremità rigonfia di un'ifa  
fertile (sporoforo) ( $\frac{500}{1}$ ); *e* = conidi ( $\frac{1000}{1}$ ).
- FIG. 5. — *Hemiscypha stilboidea* Corda [p. 391]: *a* = limone col fungo ( $\frac{1}{1}$ ); *b* = cespuglietto di ife  
fertili; *c* = apice di uno sporoforo, colla columella centrale e colla coppetta basale ( $\frac{500}{1}$ );  
*d* = conidi ( $\frac{1000}{1}$ ). [Queste figure furono in parte copiate dal CORDA, *Icones*.]
- FIG. 6. — *Cephalosporium Acremonium* Corda [p. 392]: *a* = foglia attaccata dall'*Alternaria tenuis*, sulla  
quale vive il *Cephalosporium* come parassita ( $\frac{1}{1}$ ); *b* = ifa di *Alternaria*, circondata dal micelio  
e dai rami fertili del *Cephalosporium* ( $\frac{500}{1}$ ); *c* = conidi del *Cephalosporium* ( $\frac{1000}{1}$ ).



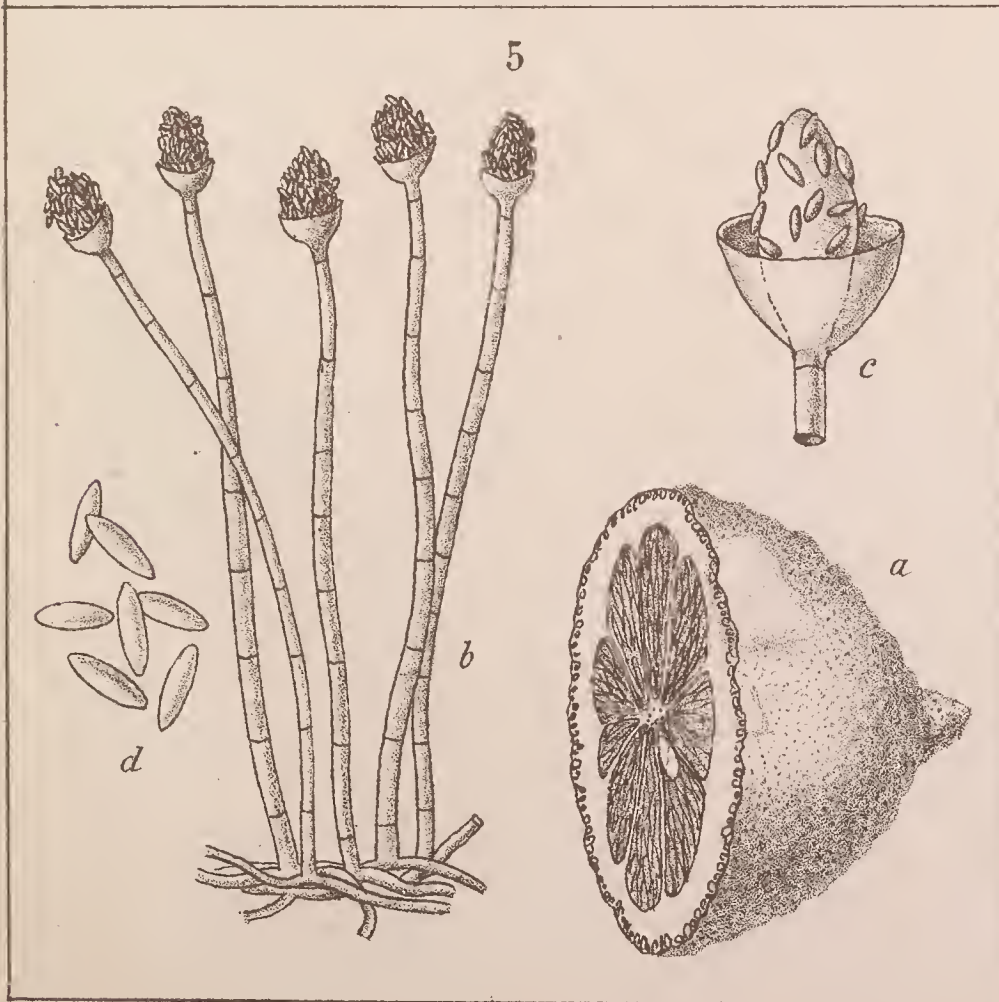
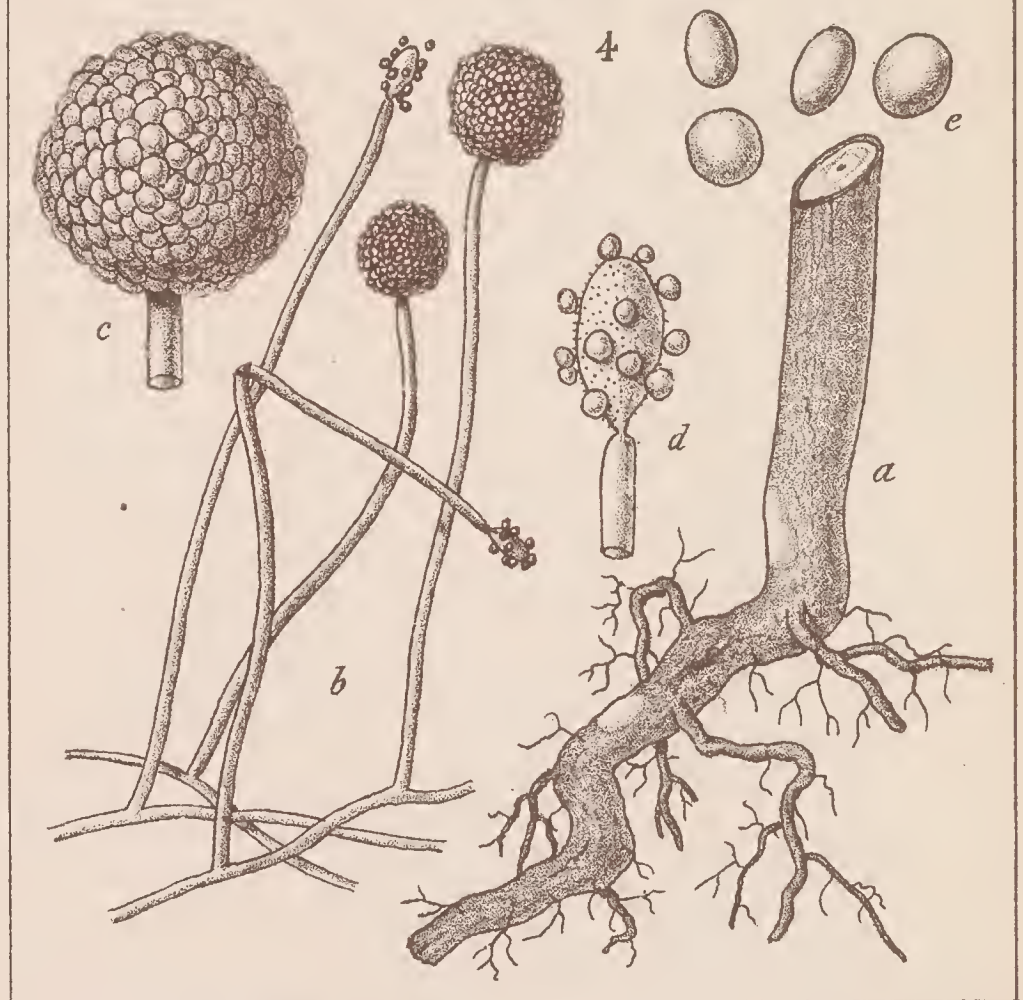
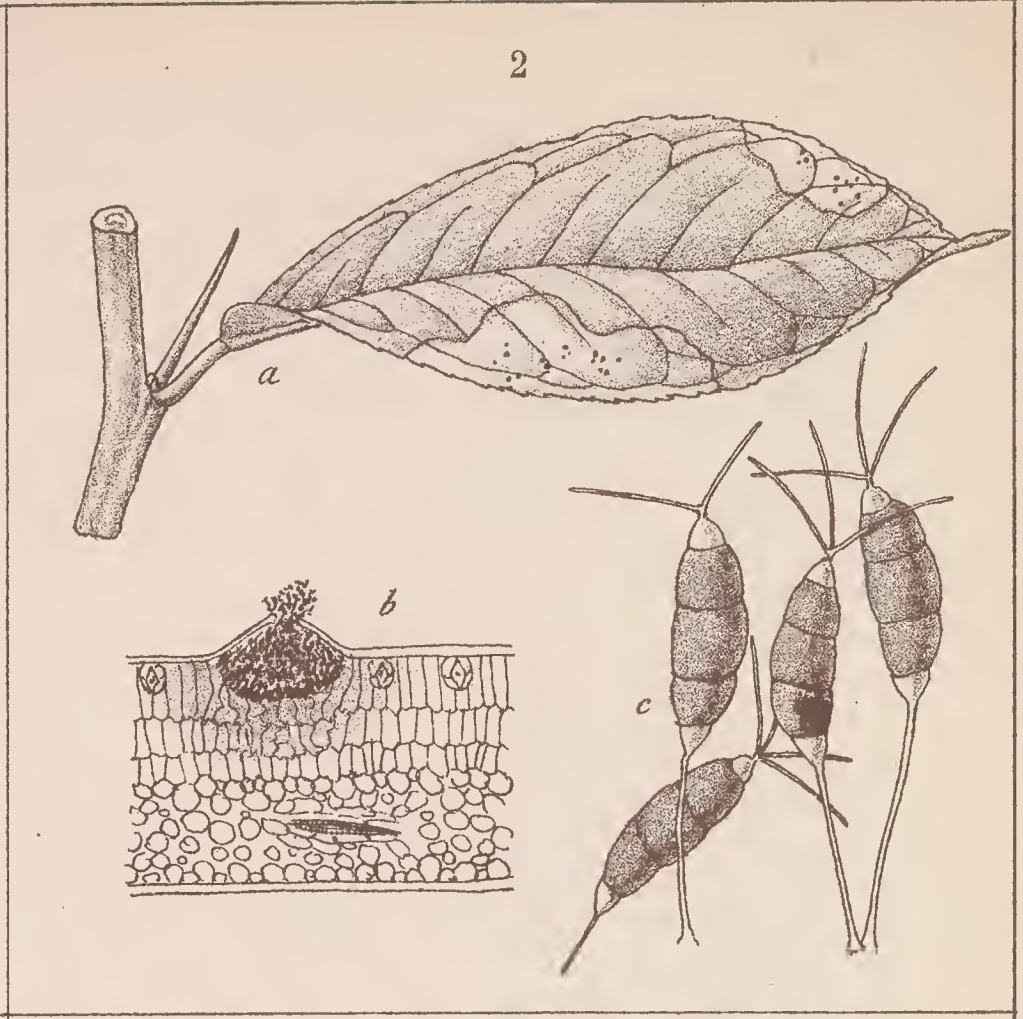




TAVOLA XL.

## TAVOLA XL.

- FIG. 1. — *Aspergillus glaucus* Lk. [p. 392]: *a* = mezzo arancio, ammuffito per opera dell'Aspergillo ( $\frac{1}{1}$ );  
*b* = due sporofori; *c* = sezione longitudinale di un capolino conidico, per mostrarne gli sterimmi; *d* = conidi ( $\frac{1000}{1}$ ).
- FIG. 2. — *Penicillium candidum* Lk. [p. 393; nel testo è citata erroneamente la figura 3]: *a* = foglia infetta ( $\frac{1}{1}$ ); *b* = sporoforo ingrandito ( $\frac{400}{1}$ ); *c* = conidi ( $\frac{500}{1}$ ).
- FIG. 3. — *Penicillium digitatum* (Fr.) Sacc. [p. 394; nel testo è citata erroneamente la figura 4]: *a* = limone infetto ( $\frac{1}{1}$ ); *b* = sporoforo ( $\frac{400}{1}$ ); *c* = conidi ( $\frac{500}{1}$ ).
- FIG. 4. — *Penicillium glaucum* Lk. [p. 394; è citata erroneamente la figura 5 soltanto], forma conidiofora: *a* = limone ammuffito ( $\frac{1}{1}$ ); *b* = micelio e sporofori del fungo ( $\frac{100}{1}$ ); *c* = sporoforo ( $\frac{400}{1}$ ); *d* = conidi ( $\frac{500}{1}$ ).
- FIG. 5. — *Penicillium glaucum* Lk., forma ascofora [p. 395]: *a* = sclerozi ascofori ( $\frac{15}{1}$ ); *b* = sezione di uno sclerozio, nel quale sono già riassorbiti gli aschi ( $\frac{300}{1}$ ); *c* = rametti ascofori ( $\frac{630}{1}$ ); *d* = ascospore mature ( $\frac{800}{1}$ ). (Figure ricopiate dal Brefeld).
- FIG. 6. — *Botrytis griseola* Sacc. [p. 396]: *a* = ramo infetto ( $\frac{1}{1}$ ); *b* = ifa sterile ( $\frac{500}{1}$ ); *c* = estremità ramificata di uno sporoforo ( $\frac{500}{1}$ ); *d e* = ultime ramificazioni dello sporoforo (basidi) con brevissimi sterimmi e conidi ( $\frac{1000}{1}$ ).

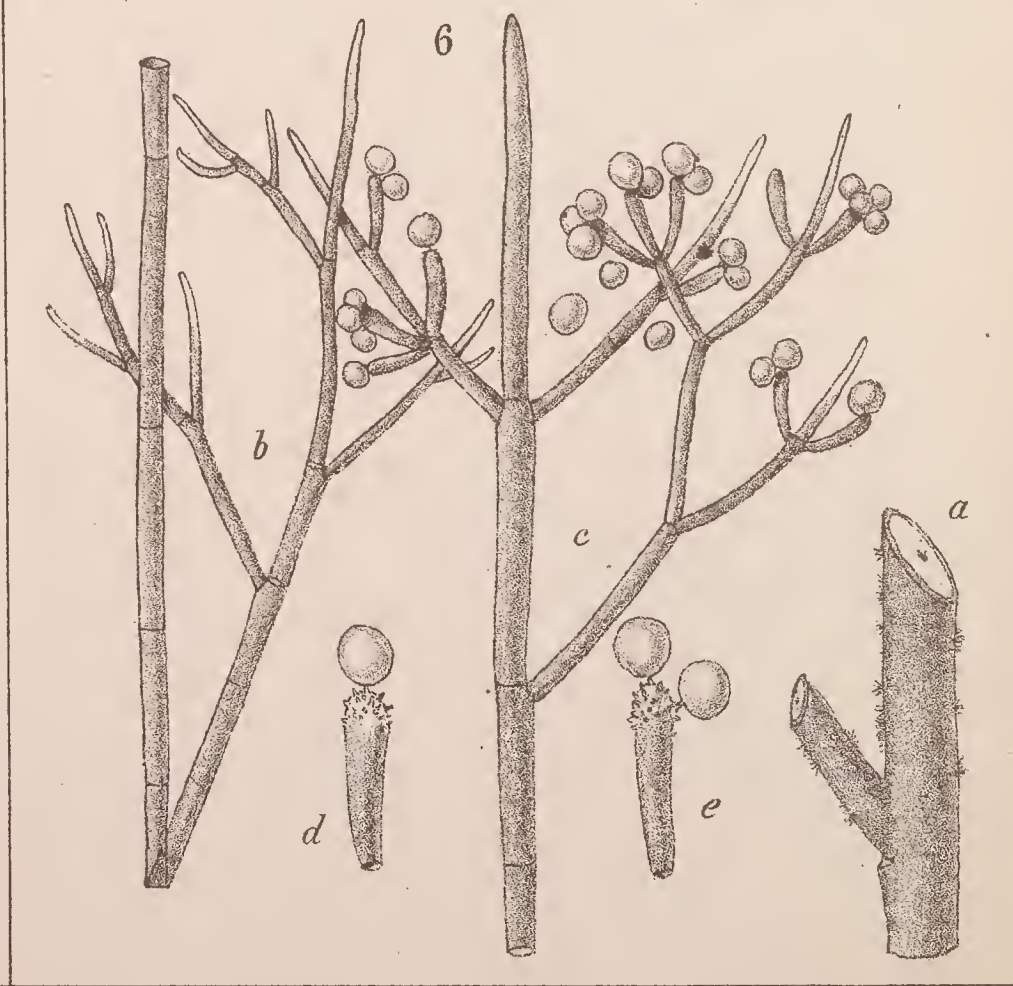
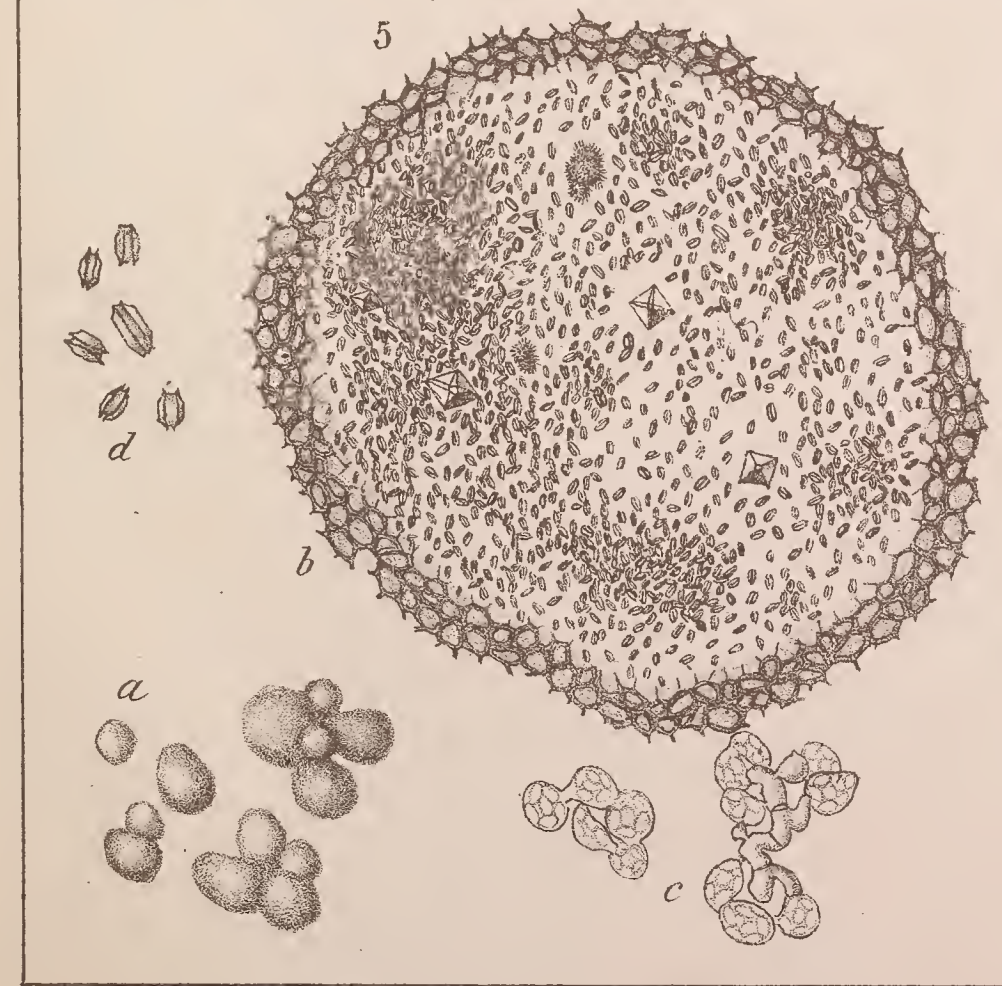
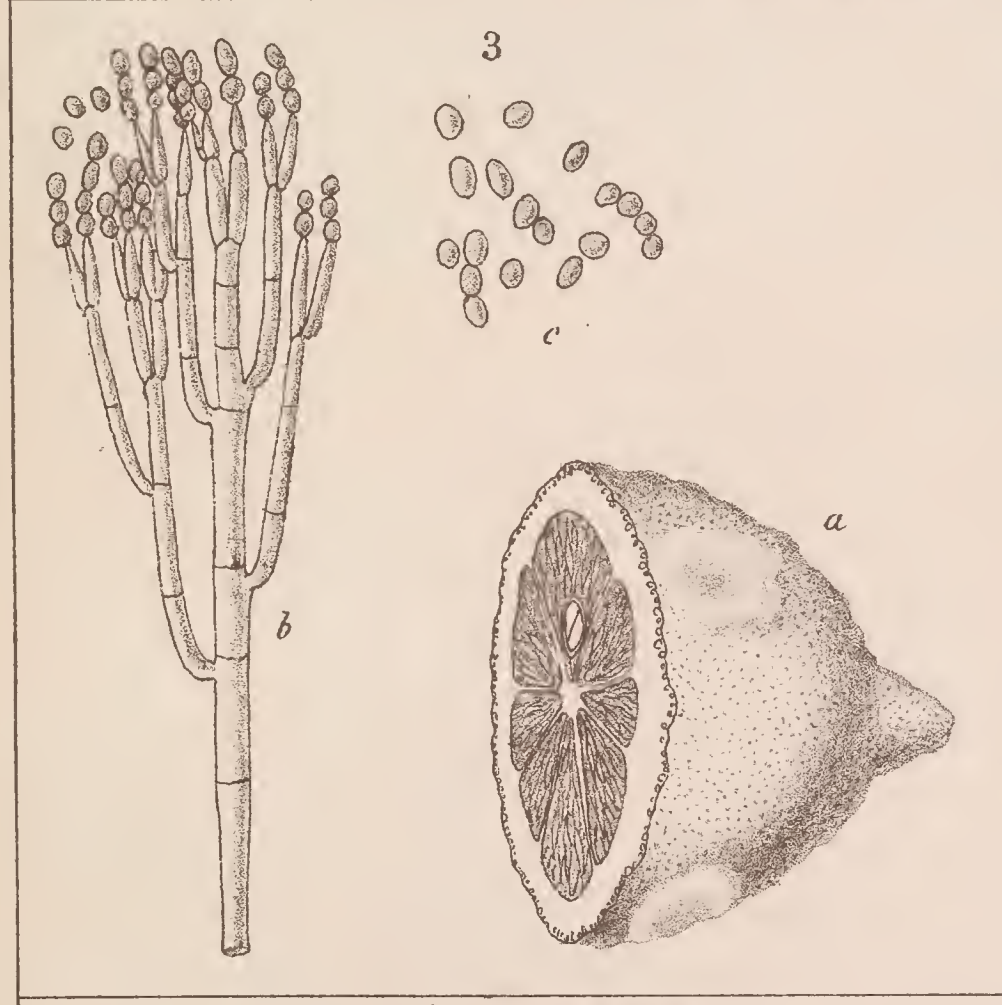
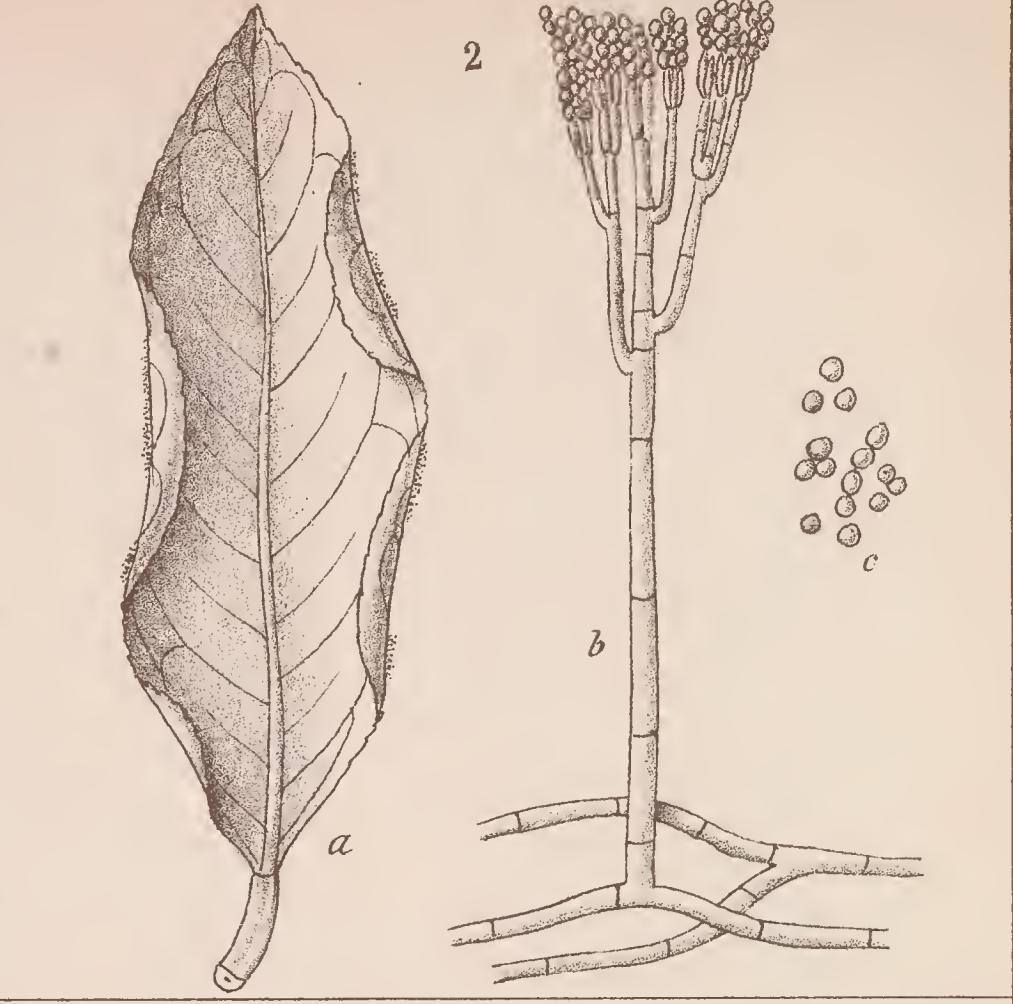
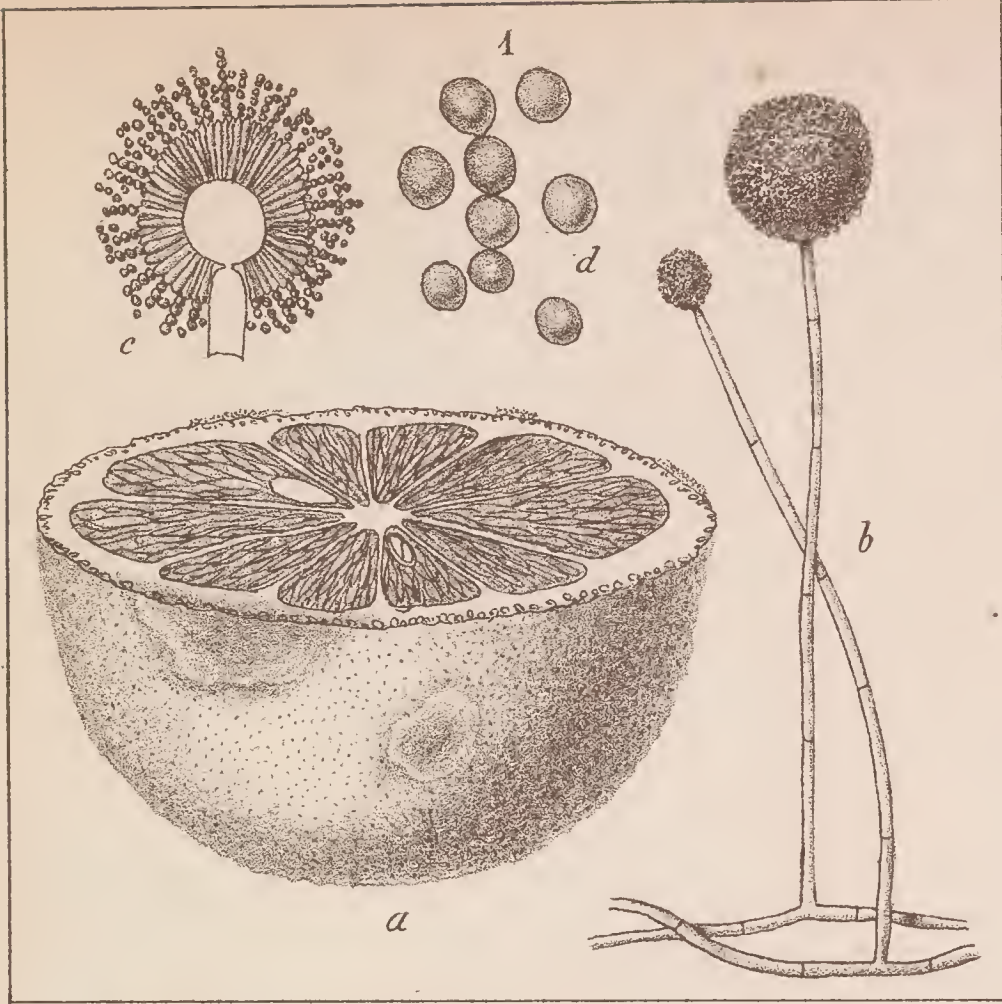




TAVOLA XLI.

## TAVOLA XLI.

- FIG. 1. — *Botrytis vulgaris* (Pers.) Fr. [p. 396]: *a* = ramoscello giovane d'arancio, attaccato dal fungo ( $\frac{1}{1}$ );  
*b* = sporoforo ( $\frac{100}{1}$ ); *c* = ultime ramificazioni dello sporoforo ( $\frac{500}{1}$ ); *d* = conidi ( $\frac{1000}{1}$ ).
- FIG. 2. — *Botrytis vulgaris* Fr. var. *plebeja* Fresen. [p. 397]: *a* = ramo infetto ( $\frac{1}{1}$ ); *b* = ife fertili ( $\frac{100}{1}$ );  
*c* = estremità dello sporoforo ( $\frac{400}{1}$ ); *d* = conidio ( $\frac{1000}{1}$ ).
- FIG. 3. — *Verticillium heterocladum* Penz. [p. 398]: *a* = foglia infestata dal *Lecanium Hesperidum*, sul  
corpo del quale si sviluppa il fungo ( $\frac{1}{1}$ ); *b* = ife sterili e fertili ( $\frac{300}{1}$ ); *c* = conidi ( $\frac{1000}{1}$ ).
- FIG. 4. — *Acrostalagmus albus* Pr. [p. 399]: *a* = (come nella figura precedente); *b* = ife sterili e  
fertili ( $\frac{300}{1}$ ); *c* = capolino di conidi ( $\frac{1000}{1}$ ); *d* = conidi ( $\frac{1000}{1}$ ).
- FIG. 5. — *Trichothecium roseum* Lk. [p. 400]: *a* = limone ammuffito ( $\frac{1}{1}$ ); *b* = sporofori ( $\frac{500}{1}$ ); *c* = co-  
nidi ( $\frac{1000}{1}$ ).
- FIG. 6. — *Ramularia Citri* Penz. [p. 401]: *a* = foglia infetta ( $\frac{1}{1}$ ); *b* = cespuglietto del fungo ( $\frac{1000}{1}$ );  
*c* = conidi ( $\frac{1000}{1}$ ).



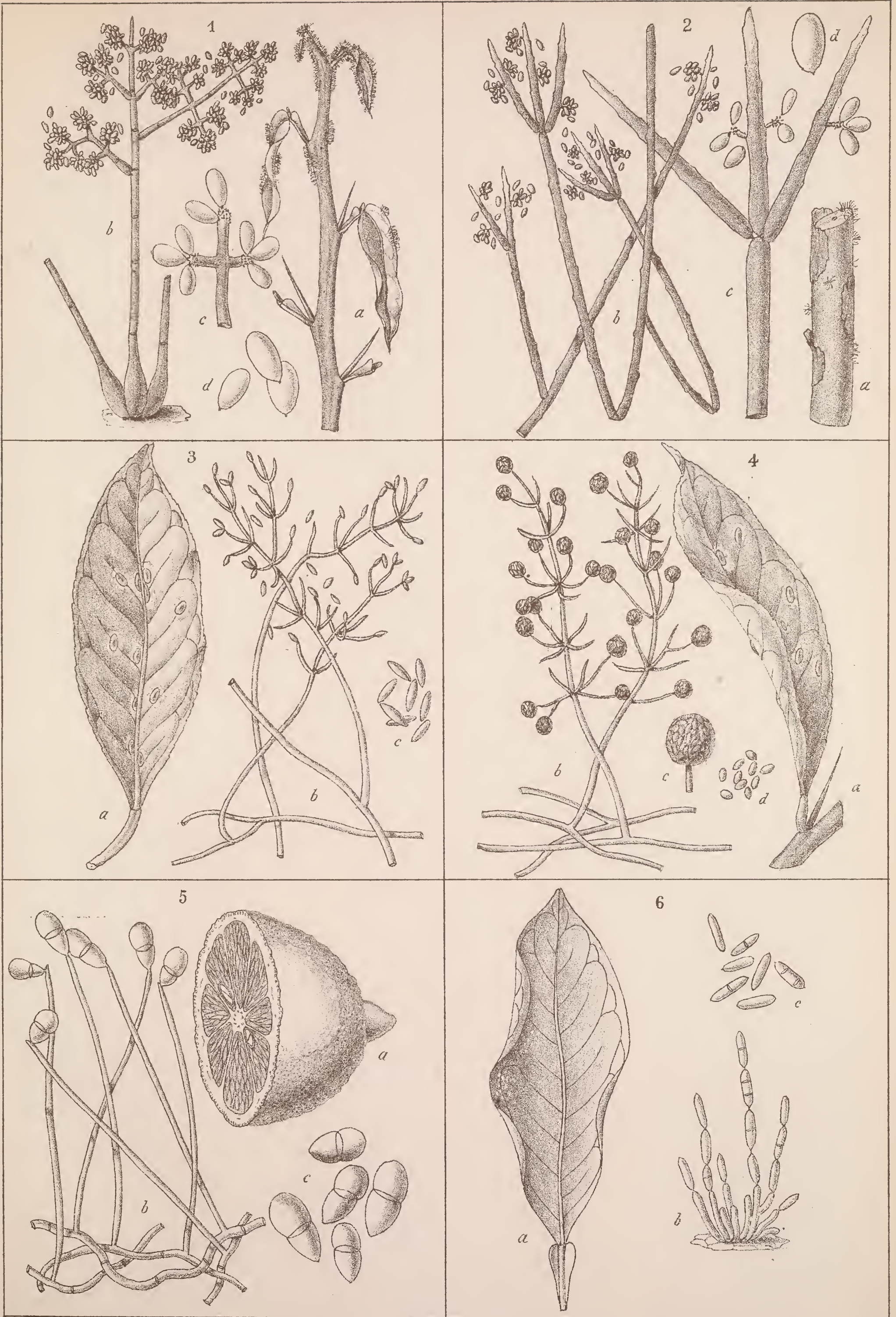




TAVOLA XLII.

## TAVOLA XLII.

- FIG. 1. — *Coniosporium phaeospermum* (Corda) Sacc. [p. 402]:  $a$  = ramo infetto ( $\frac{1}{1}$ );  $b$  = cespuglietto visto dall'alto ( $\frac{1000}{1}$ );  $c$  = conidi ( $\frac{1000}{1}$ ).
- FIG. 2. — *Torula dimidiata* Penz. [p. 402]:  $a$  = ramo infetto ( $\frac{1}{1}$ );  $b$  = catenule torulacee ( $\frac{1000}{1}$ ).
- FIG. 3. — *Torula fasciculata* Penz. [p. 402]:  $a$  = foglia infetta ( $\frac{1}{1}$ );  $b$  = cespuglietto di catenule torulacee ( $\frac{1000}{1}$ ).
- FIG. 4. — *Echinobotryum Citri* Garov. et Catt. [p. 403]:  $a$  = ife e fruttificazioni del fungo parassitico sopra lo *Stysanus monilioides* ( $\frac{500}{1}$ );  $b$  = micelio e capolini conidici in un vaso del legno d'arancio ( $\frac{500}{1}$ ).
- FIG. 5. — *Periconia pycnospora* Fres. forma *Citri* Penz. [p. 404]:  $a$  = foglia infetta ( $\frac{1}{1}$ );  $b$  = sporoforo ( $\frac{250}{1}$ );  $c$  = estremità dello sporoforo, con alcuni conidi ( $\frac{400}{1}$ ).
- FIG. 6. — *Haplographium chlorocephalum* (Fres.) Grove [p. 405]:  $a$  = ramo infetto ( $\frac{1}{1}$ );  $b$  = sporoforo ( $\frac{250}{1}$ );  $c$  = apice dello sporoforo ( $\frac{250}{1}$ );  $d$  = conidi ( $\frac{400}{1}$ ).

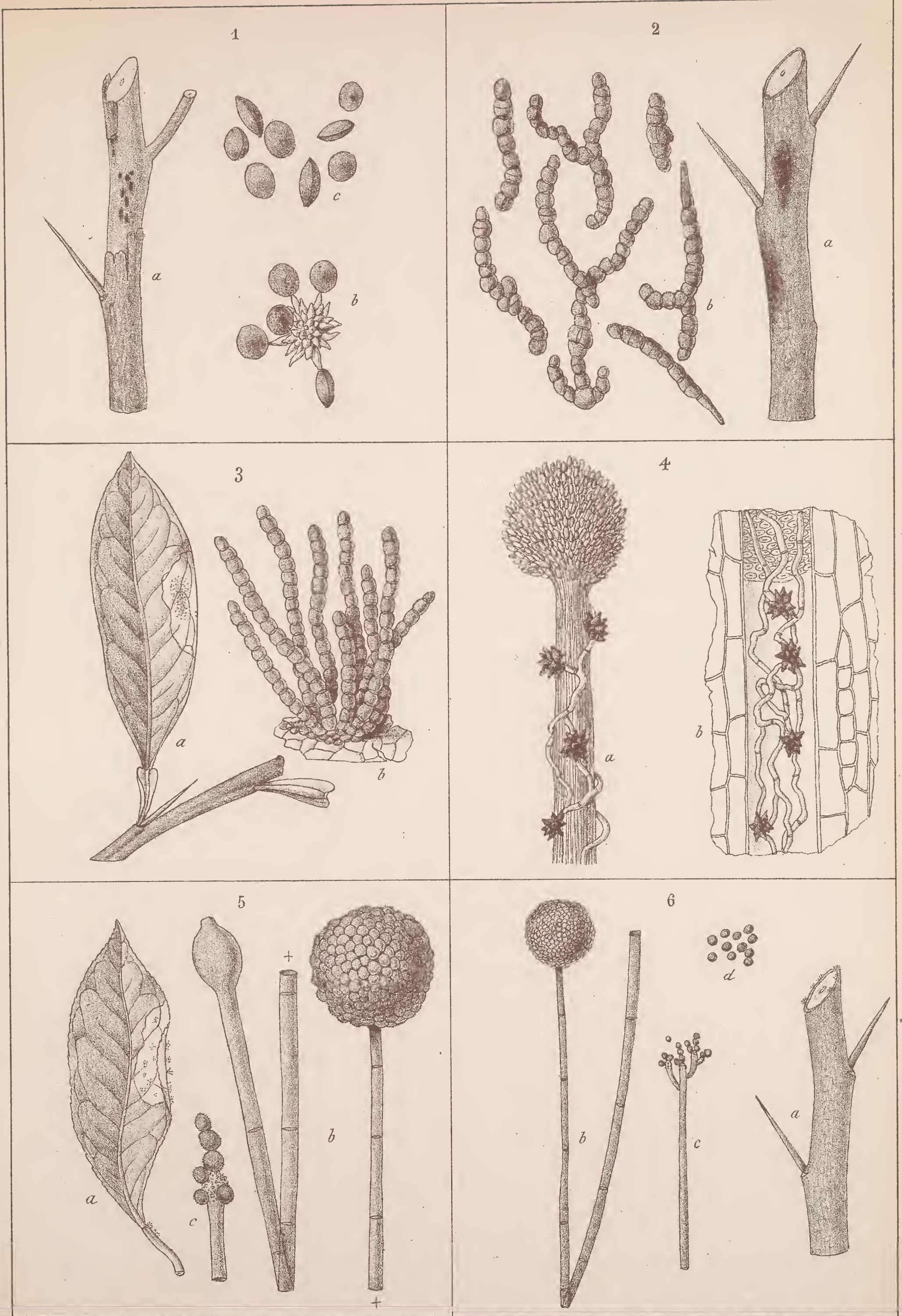




TAVOLA XLIII.

## TAVOLA XLIII.

- FIG. 1. — *Circinotrichum maculiforme* Nees. [p. 405]: *a* = pezzetto di legno, macchiato in nero per la presenza del fungo ( $\frac{1}{1}$ ); *b* = cespuglietto di sporofori con conidi e colle setole ramificate, caratteristiche ( $\frac{1000}{1}$ ); *c* = conidi ( $\frac{1000}{1}$ ).
- FIG. 2 — *Cladosporium compactum* Sacc. [p. 406]: *a* = foglia infetta ( $\frac{1}{1}$ ); *b* = cespuglietto del fungo ( $\frac{500}{1}$ ); *c* = conidi ( $\frac{500}{1}$ ).
- FIG. 3. — *Cladosporium elegans* Penz. [p. 406]: *a* = foglia infetta ( $\frac{1}{1}$ ); *b* = cespuglietto del fungo ( $\frac{500}{1}$ ).
- FIG. 4. — *Cladosporium herbarum* Lk. [p. 407]: *a* = ramo e foglia attaccati dal fungo ( $\frac{1}{1}$ ); *b* = cespuglietto ( $\frac{500}{1}$ ); *c* = conidi ( $\frac{800}{1}$ ).
- FIG. 5. — *Cladosporium sphaerospermum* Penz. [p. 408]: *a* = ramo di limone infetto ( $\frac{1}{1}$ ); *b* = cespuglietto del fungo ( $\frac{500}{1}$ ); *c* = conidi ( $\frac{800}{1}$ ).
- FIG. 6. — *Beltrania rhombica* Penz. [p. 409]: *a* = foglia infetta ( $\frac{1}{1}$ ); *b* = due sporofori ed una setola ( $\frac{600}{1}$ ); *c* = sporoforo con conidi ( $\frac{600}{1}$ ); *d* = conidi isolati ( $\frac{600}{1}$ ).





O. Penzig ex nat. delin. et sculps.

Lit. G. Pizzolatti Modena.



TAVOLA XLIV.

## TAVOLA XLIV.

- FIG. 1. — *Helminthosporium densum* Sacc. et Roum. [p. 410]: *a* = ramoscello col fungo ( $\frac{1}{1}$ ); *b* = cespuglietto di sporofori con conidi ( $\frac{1000}{1}$ ).
- FIG. 2. — *Cercospora fumosa* Penz. [p. 411]: *a* = foglia infetta ( $\frac{1}{1}$ ); *b* = cespuglietto di sporofori con conidi ( $\frac{500}{1}$ ).
- FIG. 3. — *Coniothecium effusum* Corda [p. 411]: *a* = pezzetto di legno, imbrattato dai conidi del fungo ( $\frac{1}{1}$ ); *b* = conidi ( $\frac{800}{1}$ ).
- FIG. 4. — *Speira toruloides* Corda [p. 412]: *a* = pezzo di legno coi cespuglietti del fungo ( $\frac{1}{1}$ ); *b* = gruppi di conidi concatenati ( $\frac{500}{1}$ ); *c* = conidi ( $\frac{500}{1}$ ).
- FIG. 5. — *Stemphylium macrosporioideum* Sacc. var. *spumariodes* Penz. [p. 413]: *a* = pezzo di legno, coperto in parte dal fungo ( $\frac{1}{1}$ ); *b* = ife e conidi maturi ed immaturi ( $\frac{500}{1}$ ).
- FIG. 6. — *Macrosporium commune* Rabh. [p. 413]: *a* = foglia infetta ( $\frac{1}{1}$ ); *b* = cespuglietto di ife fertili ( $\frac{500}{1}$ ); *c* = conidi ( $\frac{500}{1}$ ).

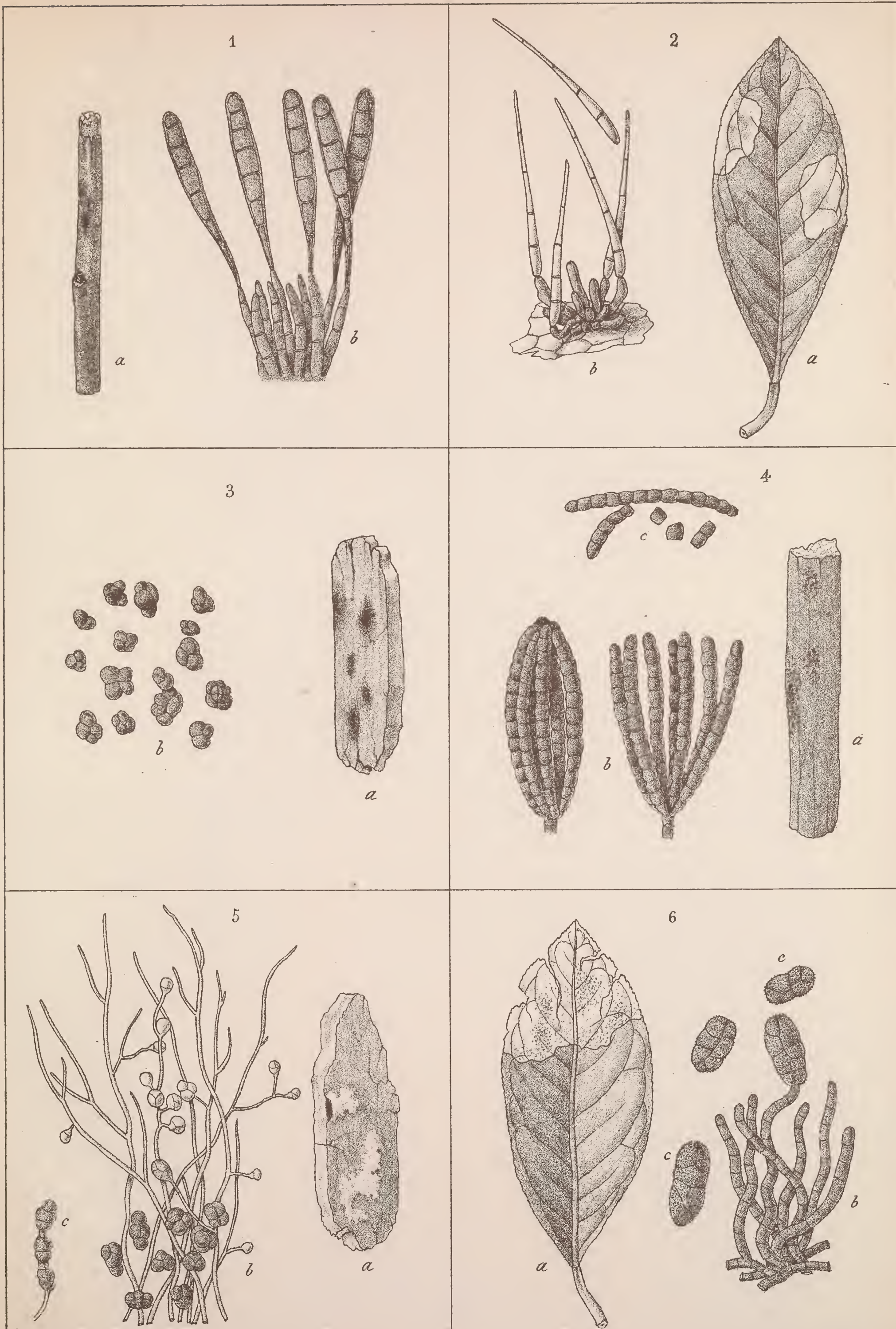


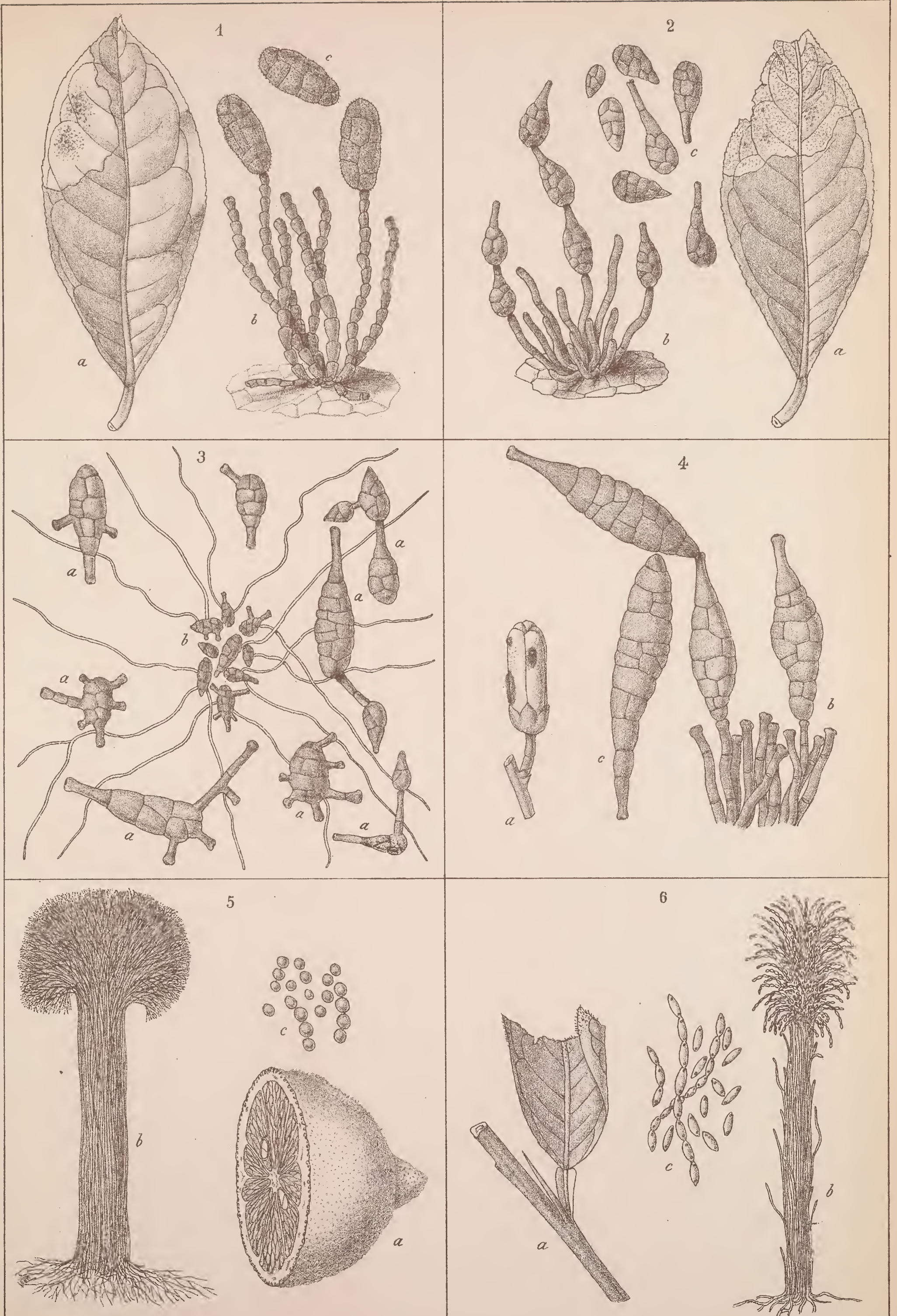


TAVOLA XLV.

## TAVOLA XLV.

- FIG. 1. — *Macrosporium rosarium* Penz. [p. 414]:  $a$  = foglia infetta ( $\frac{1}{1}$ );  $b$  = cespuglietto del fungo ( $\frac{500}{1}$ );  
 $c$  = conidi ( $\frac{500}{1}$ ).
- FIG. 2. — *Alternaria tenuis* Nees [p. 416; nel testo sono indicate erroneamente le figure 3-4]:  $a$  = foglia  
infetta ( $\frac{1}{1}$ );  $b$  = cespuglietto del fungo ( $\frac{500}{1}$ );  $c$  = conidi ( $\frac{500}{1}$ ).
- FIG. 3. — *Alternaria tenuis* Nees, forma mostruosa, proliferata [p. 416]:  $a$  = conidi proliferi ( $\frac{700}{1}$ );  $b$  = co-  
nidi proliferi e semplici, germoglianti ( $\frac{350}{1}$ ).
- FIG. 4. — *Alternaria Brassicae* Sacc. forma *Citri* Penz. [p. 415]:  $a$  = boccio florale di limone, col  
fungo ( $\frac{1}{1}$ );  $b$  = cespuglietto di sporofori con conidi ( $\frac{500}{1}$ );  $c$  = conidio ( $\frac{500}{1}$ ).
- FIG. 5. — *Coremium vulgare* Lk. [p. 417]:  $a$  = limone infetto ( $\frac{1}{1}$ );  $b$  = stipite di *Coremium* ( $\frac{100}{1}$ );  
 $c$  = conidi ( $\frac{1000}{1}$ ).
- FIG. 6. — *Stysanus monilioides* Corda [p. 419]:  $a$  = foglia infetta ( $\frac{1}{1}$ );  $b$  = stipite del fungo ( $\frac{100}{1}$ );  
 $c$  = conidi ( $\frac{1000}{1}$ ).





D. Penzig ex nat. delin et sculps.

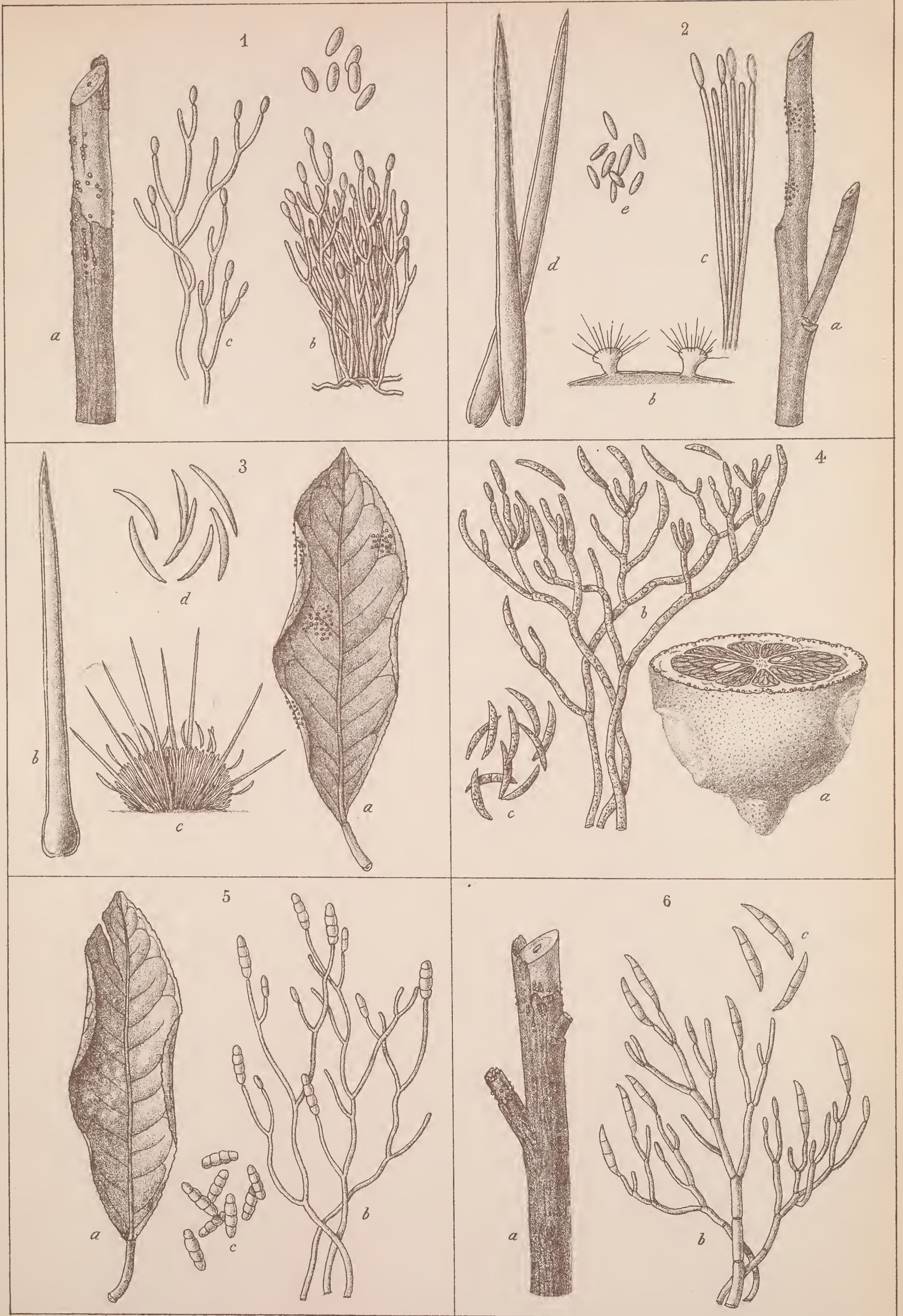
Lit. G. Pizzolotti Modena.



TAVOLA XLVI.

## TAVOLA XLVI.

- FIG. 1. — *Dendrodochium rubellum* Sacc. [p. 419]:  $a$  = ramo infetto ( $\frac{1}{1}$ );  $b, c$  = ife fertili, ramificate ( $\frac{800}{1}$ );  
 $c$  = conidi ( $\frac{1000}{1}$ ).
- FIG. 2. — *Volutella ciliata* (A. S.) Fr. [p. 420]:  $a$  = ramo infetto ( $\frac{1}{1}$ );  $b$  = due sporodochi ( $\frac{40}{1}$ );  $c$  = ife  
fertili e conidi ( $\frac{1000}{1}$ );  $e$  = conidi ( $\frac{1000}{1}$ ).
- FIG. 3. — *Volutella fusarioides* Penz. [p. 421]:  $a$  = foglia infetta ( $\frac{1}{1}$ );  $b$  = setola dello sporodochio;  
 $c$  = sezione verticale d'uno sporodochio ( $\frac{400}{1}$ );  $d$  = conidi ( $\frac{1000}{1}$ ).
- FIG. 4. — *Fusarium dimerum* Penz. [p. 421]:  $a$  = limone ammuffito ( $\frac{1}{1}$ );  $b$  = micelio ed ife fertili ( $\frac{500}{1}$ );  
 $c$  = conidi ( $\frac{500}{1}$ ).
- FIG. 5. — *Fusarium constrictum* Penz. [p. 423]:  $a$  = foglia infetta ( $\frac{1}{1}$ );  $b$  = micelio ed ife fertili ( $\frac{500}{1}$ );  
 $c$  = conidi ( $\frac{500}{1}$ ).
- FIG. 6. — *Fusarium sarcochromum* (Desm.) Sacc. [p. 424]:  $a$  = ramo infetto;  $b$  = micelio ed ife fer-  
tili ( $\frac{500}{1}$ );  $c$  = conidi ( $\frac{500}{1}$ ).



O. Penzig ex nat. delin. et sculps.

Lit. C. Pizzolotti Modena.



TAVOLA XLVII.

## TAVOLA XLVII.

- FIG. 1. — *Epicoccum granulatum* Penz. [p. 425]:  $a$  = ramo infetto ( $\frac{1}{1}$ );  $b$  = ife e conidi ( $\frac{500}{1}$ );  $c$  = conidi ( $\frac{500}{1}$ ).
- FIG. 2. — *Epicoccum micropus* Corda [p. 425]:  $a$  = foglia infetta ( $\frac{1}{1}$ );  $b$  = sezione verticale di uno sporodochio ( $\frac{450}{1}$ );  $c$  = conidi ( $\frac{450}{1}$ ). [Queste figure sono copiate da CORDA, *Icones*, Tav. V, figura 82].
- FIG. 3. — *Epicoccum neglectum* Desm. [p. 426]:  $a$  = foglia infetta ( $\frac{1}{1}$ );  $b$  = sporodochio, visto dall'alto ( $\frac{500}{1}$ );  $c$  = conidi ( $\frac{500}{1}$ ).
- FIG. 4. — *Epicoccum nigrum* Lk. [p. 426]:  $a$  = foglia infetta ( $\frac{1}{1}$ );  $b$  = sporodochio visto dall'alto ( $\frac{500}{1}$ );  $c$  = conidi ( $\frac{500}{1}$ ).
- FIG. 5. — *Mucor stolonifer* Ehrenb. [p. 427]:  $a$  = limone ammuffito ( $\frac{1}{1}$ );  $b$  = micelio e sporofori ( $\frac{30}{1}$ );  $c$  = sporoforo ( $\frac{150}{1}$ );  $c$  = spore ( $\frac{500}{1}$ ).
- FIG. 6. — *Mucor clavatus* Lk. [p. 427]:  $a$  = limone ammuffito ( $\frac{1}{1}$ );  $b$  = micelio e sporofori ( $\frac{150}{1}$ );  $c$  = spore ( $\frac{500}{1}$ ).





O. Penzig ex nat. delin. et sculps.

Lit. G. Pizzolotti Moder



TAVOLA XLVIII.

## TAVOLA XLVIII.

- FIG. 1. — *Dictyostelium sphaerocephalum* (Oudem.) Sacc. et Marchal [p. 428]: *a* = pezzetto di legno cogli steli del saprofita ( $\frac{1}{1}$ ); *b* = stelo isolato ( $\frac{300}{1}$ ); *c* = parte dello stelo più ingrandita ( $\frac{500}{1}$ ); *d* = spore ( $\frac{1000}{1}$ ); *e* = mixamebe sortite dalle spore ( $\frac{1000}{1}$ ).
- FIG. 2. — *Ozonium auricomum* Lk. [p. 429]: *a* = pezzo di corteccia col fungo ( $\frac{1}{1}$ ); *b* = micelio sterile ( $\frac{500}{1}$ ).
- FIG. 3. — *Rhizoctonia violacea* Tul. [p. 430]: *a* = radice infetta ( $\frac{1}{1}$ ); *b* = micelio sterile ( $\frac{500}{1}$ ).
- FIG. 4. — *Sclerotium Citri* Catt. [p. 431]: *a* = sclerozio intero ( $\frac{3}{1}$ ); *b* = sezione della parte esterna [copiati dalla figura di Cattaneo].
- FIG. 5. — *Sclerotium durum* Pers. [p. 431]: *a* = pezzo di corteccia col fungo ( $\frac{1}{1}$ ); *b* = vari sclerozi, ingranditi ( $\frac{25}{1}$ ); *c* = sezione verticale della parte esterna ( $\frac{500}{1}$ ).
- FIG. 6. — *Sclerotium pyrinum* Nees [p. 432]: *a* = limone con sclerozi ( $\frac{1}{1}$ ); *b* = sclerozi isolati ( $\frac{2}{1}$ ); *c* = sclerozio tagliato in mezzo ( $\frac{2}{1}$ ) [copia della figura data dall'autore].

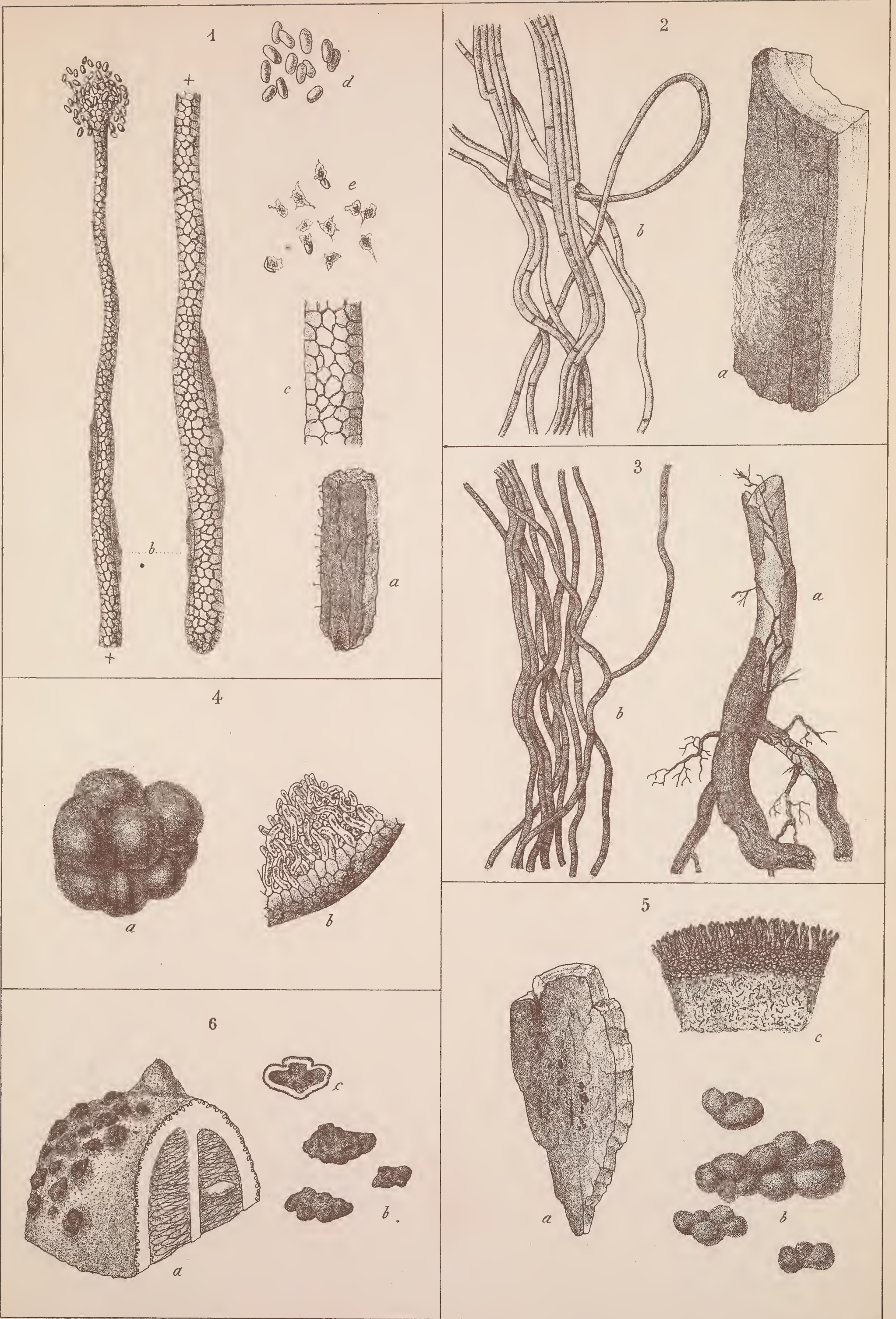




TAVOLA XLIX.

## TAVOLA XLIX.

- FIG. 1. — Infiorescenze di limone attaccate dai bruchi dell'*Albinia Gnidiella* (Mill.) Targ. e dell'*Acrolepia Citri* Mill. et Rag. [p. 448 e seg.; vedi anche Tav. LII, fig. 1-14 e 15-23].
- FIG. 2. — Infiorescenza di limone attaccata dai bruchi dell'*Eupithecia pumilata* Hbn. [p. 461; vedi anche Tav. LII, fig. 24-29].
- FIG. 3. — Larva del *Tydeus Aurantii* Targ. Tozz. [p. 544]. ( $\frac{120}{1}$ ).
- FIG. 4. — *Tydeus Aurantii* Targ. Tozz., animale adulto [p. 544]. ( $\frac{120}{1}$ ).
- FIG. 5. — Ramo d'arancio, attaccato dall'*Aonidia Gemadii* Targ. Tozz. [p. 493; vedi anche Tav. LIV, fig. 8-16].





O. Penzig ex nat. delin. et sculps.

Lit. G. Pizzolotti Modena



TAVOLA L.

## TAVOLA L.

FIG. 1. — Ramo d'arancio, attaccato dalla *Parlatoria Lucasi* Targ. Tozz. [p. 507; vedi anche Tav. LVI, fig. 7-19].

FIG. 2. — Ramoscello d'arancio col *Lecanium Oleae* [p. 527; vedi anche Tav. LVII, fig. 20-26].

FIG. 3. — Ramo d'arancio, invaso dal *Lecanium Hesperidum* Burm. [p. 521; vedi anche Tav. LVII, fig. 16-19].





TAVOLA LI.

## TAVOLA LI.

FIG. 1. — Ramo e frutto di limone, invaso dalla *Mytilaspis citricola* Pack. [p. 500; vedi anche Tav. LV, fig. 4-18].

FIG. 2. — Ramo e frutto di limone, attaccato dal *Dactylopius Citri* Targ. Tozz. [p. 530; vedi anche Tav. LVIII, fig. 1-6].

FIG. 3-4. — Frutto e ramo di limone, invaso dall'*Aspidiotus Limoni* Sign. [p. 488; vedi anche Tav. LIII, fig. 14-20, e Tav. LIV, fig. 1-7].







TAVOLA LII.

## TAVOLA LII.

Fig. 1-14. — **ACROLEPIA CITRI** Mill. et Rag. [p. 451; vedi anche Tav. XLIX, fig. 1].

- FIG. 1. — Bruco sopra uno stame di *Citrus*. ( $\frac{2}{1}$ ).  
FIG. 2-3. — Farfalla ad ali tese e seduta. ( $\frac{2}{1}$ ).  
FIG. 4. — Zampe della farfalla.  
FIG. 5. — Un'ala del paio anteriore.  
FIG. 6. — Testa e primo segmento del bruco.  
FIG. 7. — Alcuni segmenti dal mezzo del bruco, visti dal dorso.  
FIG. 8. — Segmento anale del bruco, visto dal dorso.  
FIG. 9. — Nervatura delle ali.  
FIG. 10-11. — Crisalide, vista dal lato ventrale e dal dorso. ( $\frac{15}{1}$ ).  
FIG. 12. — Segmento anale della crisalide.  
FIG. 13. — Bozzolo della crisalide. ( $\frac{4}{1}$ ).  
FIG. 14. — Squame delle ali. ( $\frac{100}{1}$ ).

Fig. 15-23. — **ALBINIA GNIDIELLA** (Mill.) Targ. [p. 457; vedi anche Tav. XLIX, fig. 1].

- FIG. 15. — Bruco sopra un petalo di limone. ( $\frac{10}{1}$ ).  
FIG. 16. — Alcuni segmenti mediani del bruco, visti dal dorso.  
FIG. 17. — Bruco appeso ad un filo. ( $\frac{4}{1}$ ).  
FIG. 18-19. — Farfalla ad ali tese e seduta, vista dal dorso.  
FIG. 20. — Nervatura delle ali.  
FIG. 21. — Base dell'antenna della farfalla femmina.  
FIG. 22. — Base dell'antenna del maschio.  
FIG. 23. — Zampè della farfalla.

Fig. 24-29. — **EUPITHECIA PUMILATA** Hbn. [p. 461; vedi anche Tav. XLIX, fig. 2].

- FIG. 24. — Farfalla ad ali tese ( $\frac{2}{1}$ ) [riuscita di colorito troppo scuro nel disegno].  
FIG. 25. — Zampe della farfalla.  
FIG. 26. — Nervatura delle ali.  
FIG. 27. — Alcuni segmenti del corpo del bruco, visti dal dorso.  
FIG. 28. — Alcuni segmenti visti dal fianco.  
FIG. 29. — Squame delle ali della farfalla.

Fig. 30-35. — **TOXOPTERA AURANTII** Koch [p. 479].

- FIG. 30. — Individuo alato. ( $\frac{20}{1}$ ).  
FIG. 31. — Antenna.  
FIG. 32. — Zampa.  
FIG. 33. — Pigidio.  
FIG. 34. — Ali. ( $\frac{60}{1}$ ).  
FIG. 35. — Cellula pigmentata delle ali, più ingrandita. ( $\frac{120}{1}$ ).

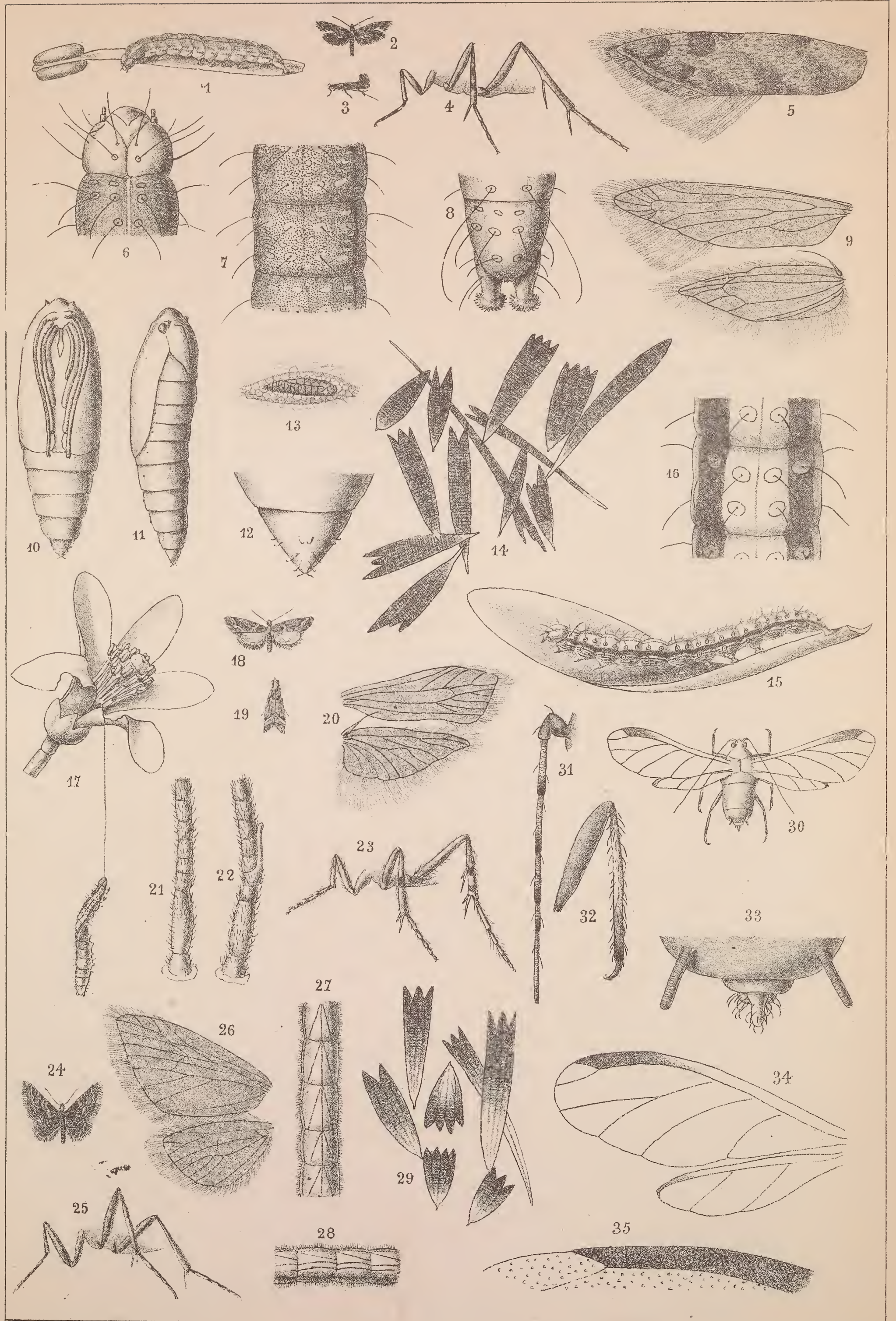




TAVOLA LIII.

## TAVOLA LIII.

Fig. 1-6. — **ASPIDIOTUS FICUS** Comst. [p. 483; figure copiate dal Comstock].

FIG. 1. — Ramo d'arancio, invaso dall'*Aspidiotus Ficus*. ( $\frac{1}{1}$ ).

FIG. 2. — Larva ingrandita.

FIG. 3. — Pigidio (segmento anale) della femmina adulta.

FIG. 4-6. — Gusci dell'insetto, visti dal dorso.

Fig. 7-13. — **ASPIDIOTUS NERII** Bouché [p. 485; le figure sono fatte sopra esemplari raccolti sul *Nerium Oleander*].

FIG. 7. — Maschio. ( $\frac{50}{1}$ ).

FIG. 8. — Larva. ( $\frac{80}{1}$ ).

FIG. 9-10. — Zampa ed antenna della larva.

FIG. 11. — Individuo maschile, prima di subire la trasformazione in crisalide ( $\frac{50}{1}$ ).

FIG. 12. — Pigidio (segmento anale) della femmina adulta ( $\frac{375}{1}$ ).

FIG. 13. — Pigidio del maschio, nello stadio rappresentato dalla figura 11.

FIG. 14-23. — **ASPIDIOTUS LIMONI** Sign. [p. 488; da esemplari sul limone provenienti da Messina; vedi anche Tav. LI, fig. 3-4].

FIG. 14. — Larva. ( $\frac{50}{1}$ ).

FIG. 15. — Larva in età più avanzata, pronta a fissarsi.

FIG. 16-17. — Zampa ed antenna della larva.

FIG. 18. — Femmina adulta. ( $\frac{40}{1}$ ).

FIG. 19. — Maschio, prima di trasformarsi in crisalide. ( $\frac{40}{1}$ ).

FIG. 20. — Pigidio del maschio, nello stadio rappresentato dalla figura precedente.

FIG. 21. — Squame frangiate del margine del pigidio (femmina). ( $\frac{1000}{1}$ ).

FIG. 22. — Pigidio della femmina adulta. ( $\frac{375}{1}$ ).

FIG. 23. — Apparecchio boccale delle femmina adulta. ( $\frac{1000}{1}$ ).



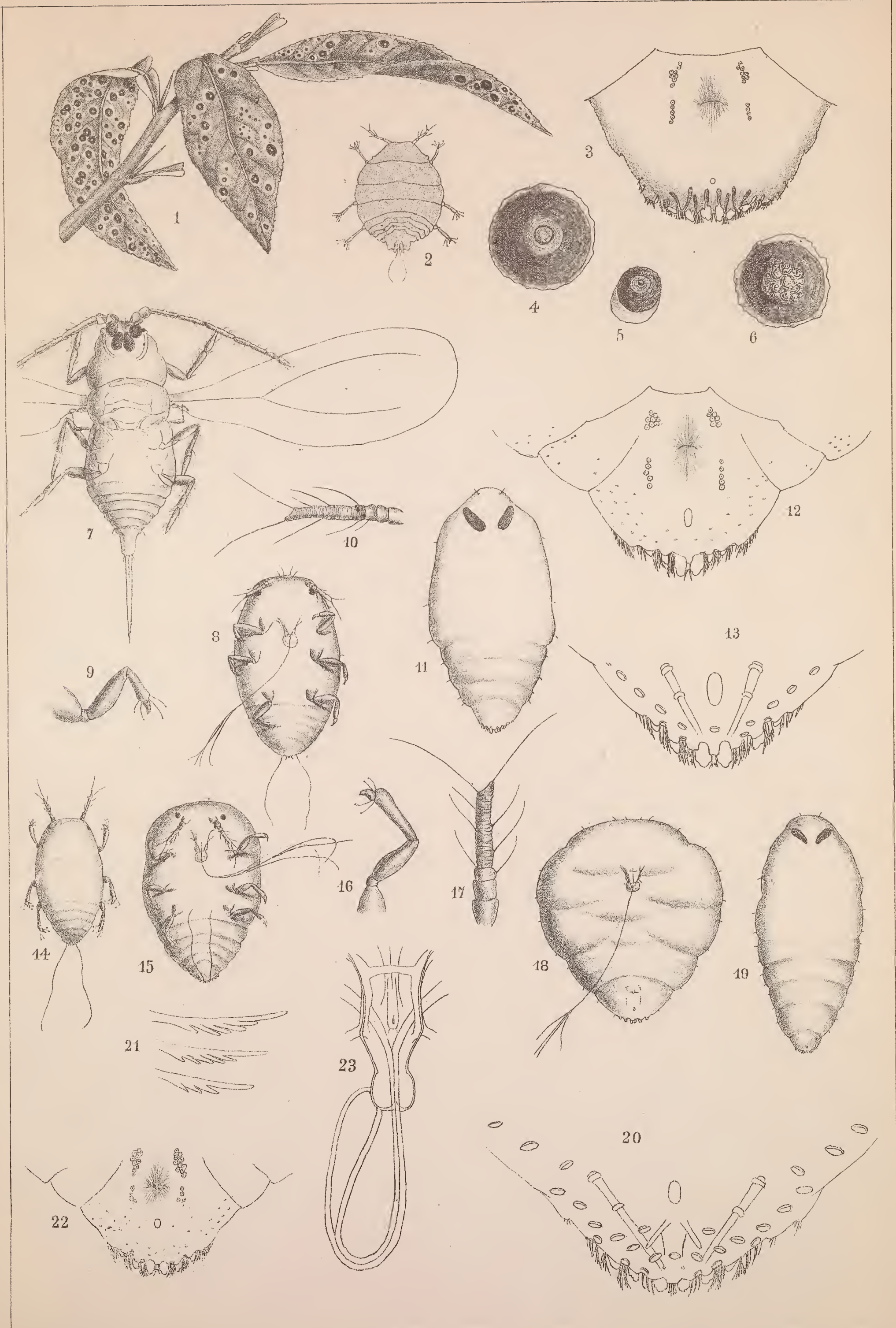




TAVOLA LIV.

## TAVOLA LIV.

*Fig. 1-7.* — **ASPIDIOTUS LIMONI** Sign. [p. 488; vedi anche Tav. LI, fig. 3-4;  
Tav. LIII, fig. 14-23].

FIG. 1-3. — Crisalide del maschio in vari stadi di sviluppo.

FIG. 4. — Maschio perfetto. ( $\frac{40}{1}$ ).

FIG. 5-7. — Bilanciere, testa e zampa del maschio.

*Fig. 8-16.* — **AONIDIA GENNADII** Targ. Tozz. [p. 493; vedi anche Tav. XLIX, fig. 5].

FIG. 8. — Guscio della femmina, colle spoglie larvali. ( $\frac{25}{7}$ ).

FIG. 9. — Corpo della femmina adulta, vista dal lato ventrale.

FIG. 10. — Pigidio della femmina adulta.

FIG. 11. — Antenna della larva.

FIG. 12. — Guscio del maschio, colla spoglia larvale. ( $\frac{25}{1}$ ).

FIG. 13. — Maschio adulto. ( $\frac{30}{1}$ ).

FIG. 14. — Femmina pregna d'uova. ( $\frac{25}{1}$ ).

FIG. 15. — Spoglia larvale, ingrandita. ( $\frac{60}{1}$ ).

FIG. 16. — Guscio della femmina colla spoglia larvale, dopo la prima muta. ( $\frac{30}{1}$ ).

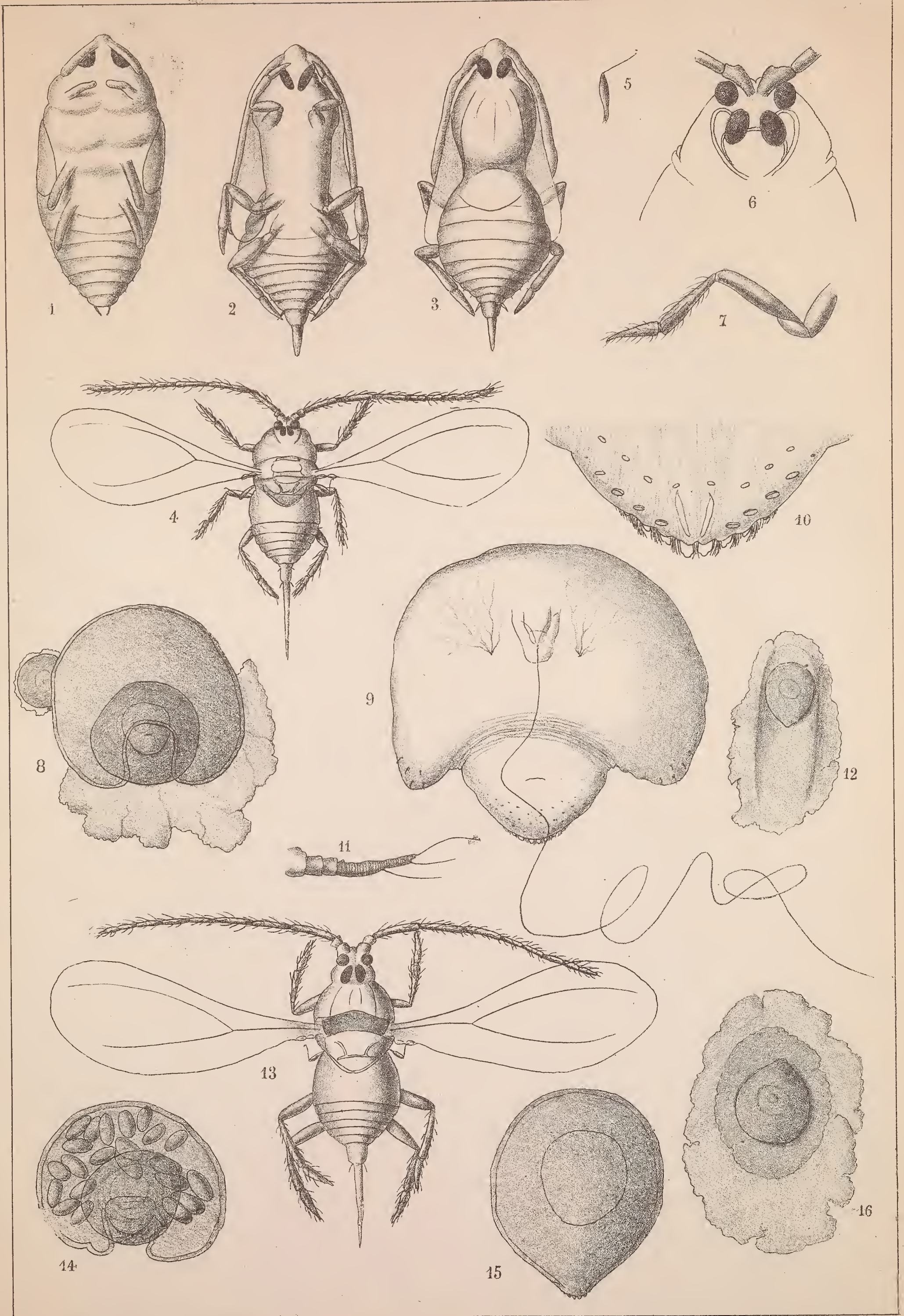




TAVOLA LV.

## TAVOLA LV.

FIG. 1. — Pigidio della femmina di *Diaspis Monserrati* Colv. [p. 495; figura copiata dal disegno dell'autore. Vi sono omesse le squame che ornano il margine del pigidio].

FIG. 2. — Pigidio della femmina di *Diaspis Colvei* Penz. [p. 497; copia del disegno dato dal COLVÉE].

FIG. 3. — Pigidio della femmina di *Chionaspis Citri* Comst. [p. 498; copiata dal COMSTOCK].

Fig. 4-18. — **MYTILASPIS CITRICOLO** Pack. [= *Mytil. flavescens* Targ. Tozz.; vedi p. 500 e Tavola LI, figura 1].

FIG. 4-5. — Femmina, vista dalla parte ventrale e dorsale. ( $\frac{16}{1}$ ). [Figure copiate dal COMSTOCK].

FIG. 6. — Larva. ( $\frac{90}{1}$ ).

FIG. 7. — Antenna della larva.

FIG. 8. — Pigidio della larva.

FIG. 9. — Zampetta della larva.

FIG. 10. — Femmina adulta. ( $\frac{60}{1}$ ).

FIG. 11. — Maschio, prima di trasformarsi in crisalide. ( $\frac{60}{1}$ ).

FIG. 12. — Uova.

FIG. 13. — Zampa del maschio adulto.

FIG. 14. — Maschio adulto [copia della figura data dal MILAZZO].

FIG. 15. — Testa del maschio adulto [copiata dal MILAZZO].

FIG. 16. — Armatura genitale del maschio [secondo TARGIONI].

FIG. 17. — Pigidio del maschio, nello stadio rappresentato dalla figura 11.

FIG. 18. — Pigidio della femmina adulta.



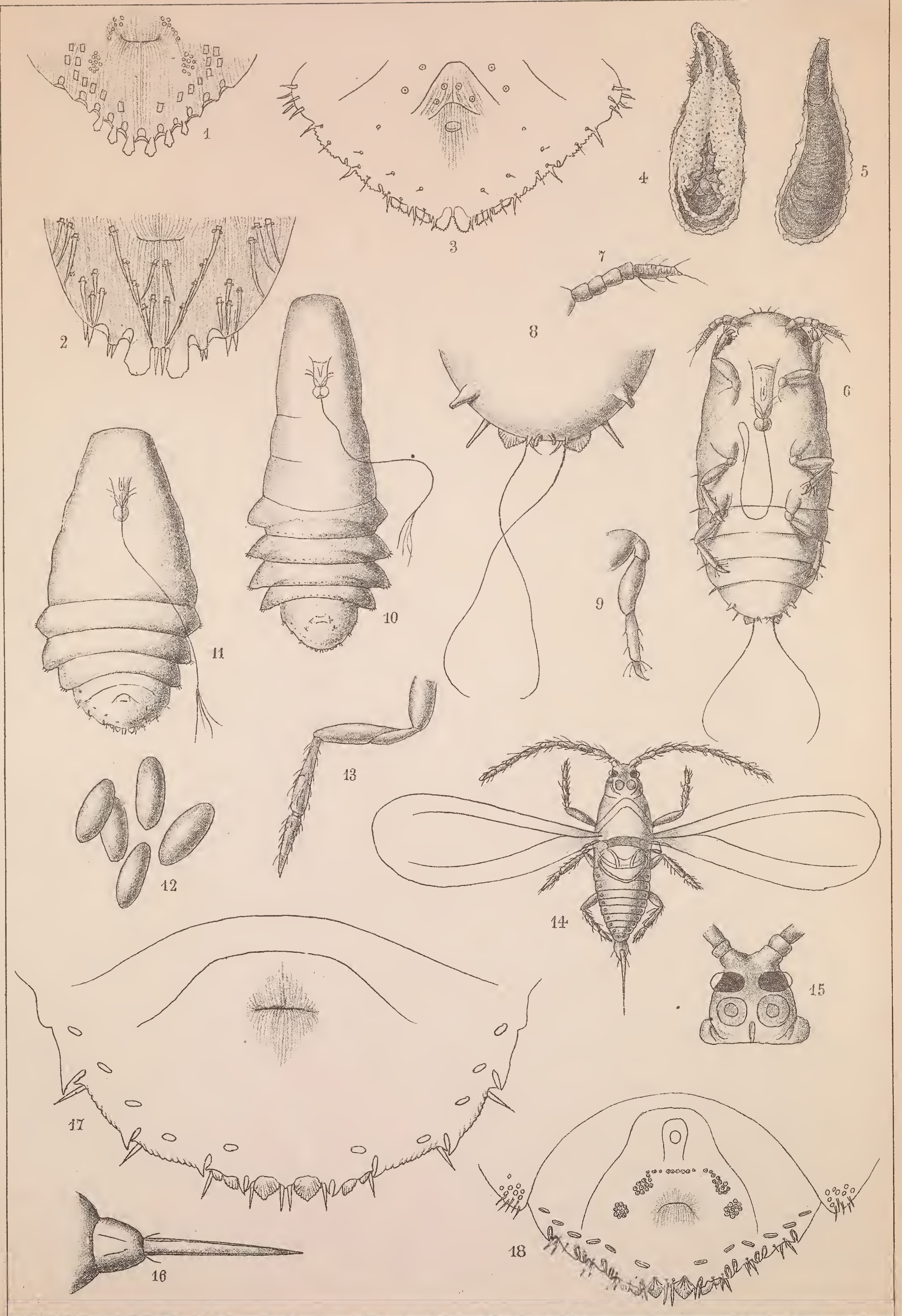




TAVOLA LVI.

## TAVOLA LVI.

Fig. 1-6. — **MYTILASPIS GLOVERII** (Pack.) Comst. [p. 505; figure copiate dal COMSTOCK].

FIG. 1. — Ramo e foglia di arancio, invasi dalla *Mytilaspis Gloverii*. ( $\frac{1}{1}$ ).

FIG. 2. — Maschio adulto.

FIG. 3. — Pigidio della femmina adulta.

FIG. 4. — Femmina adulta con uova, vista dal lato ventrale.

FIG. 5. — Guscio del maschio.

FIG. 6. — Guscio della femmina, visto dal dorso.

Fig. 7-19. — **PARLATORIA LUCASII** Targ. Tozz. [p. 507; vedi anche Tav. L, fig. 1].

FIG. 7. — Larva pronta a fissarsi. ( $\frac{50}{1}$ ).

FIG. 8-9-10. — Antenna, pigidio, zampa della larva.

FIG. 11. — Femmina adulta. ( $\frac{70}{1}$ ).

FIG. 12. — Guscio della femmina, con due spoglie. ( $\frac{20}{1}$ ).

FIG. 13. — Guscio del maschio, con una spoglia. ( $\frac{20}{1}$ ).

FIG. 14. — Maschio adulto [Questo disegno fu fatto sopra un individuo maschile, morto sotto il suo guscio e disseccato.]

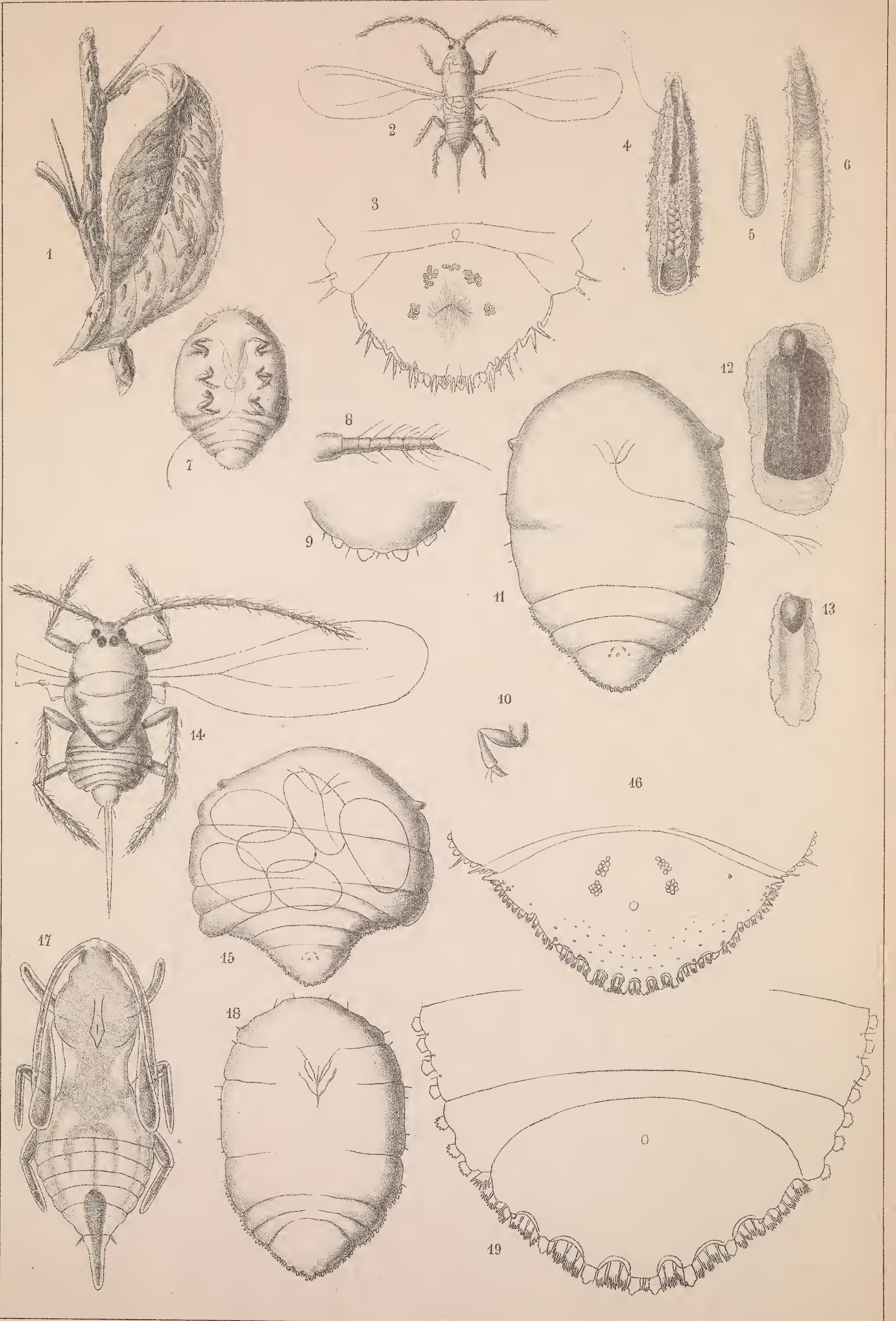
FIG. 15. — Femmina pregna. ( $\frac{70}{1}$ ).

FIG. 16. — Pigidio della femmina.

FIG. 17. — Crisalide del maschio.

FIG. 18. — Maschio, prima di trasformarsi in crisalide.

FIG. 19. — Pigidio e penultimo segmento del maschio, nello stadio rappresentato dalla figura precedente.







## TAVOLA LVII.

Fig. 1-3. — **PARLATORIA PERGANDII** Comst. [p. 511; figure copiate dal COMSTOCK].

FIG. 1-2. — Guscio femminile e maschile. ( $\frac{10}{1}$ ).

FIG. 3. — Margine del pigidio femminile (metà sinistra)

FIG. 4. — *Ceroplastes floridensis* Comst. [p. 514]: corpo della femmina [secondo COMSTOCK].

FIG. 5. — *Ceroplastes floridensis* Comst.: corpo della femmina visto dall'alto [figura schematica per mostrare la disposizione e proporzione delle placche di cera].

FIG. 6. — *Ceroplastes cirrhipediformis* Comst. [p. 517]: corpo della femmina [secondo COMSTOCK].

FIG. 7. — *Ceroplastes cirrhipediformis* Comst. [figura schematica, come la figura 5].

Fig. 8-14. — **CEROPLASTES RUSCI** Sign. [p. 519].

FIG. 8. — Corpo della femmina coperto dalle croste cerose, visto dall'alto. ( $\frac{3}{1}$ ).

FIG. 9-10. — Corpo della femmina denudato, visto dal dorso e di fianco. ( $\frac{3}{1}$ ).

FIG. 11. — Femmina, vista dal lato ventrale. ( $\frac{10}{1}$ ).

FIG. 12. — Ramo d'arancio, con numerosi *Ceroplastes*. ( $\frac{1}{1}$ ).

FIG. 13-14. — Zampa ed antenna della femmina.

FIG. 15. — *Lecanium hemisphaericum* Targ. Tozz. [p. 529; copiata dal COMSTOCK].

Fig. 16-19. — **LECANIUM HESPERIDUM** Burm. [p. 521; vedi anche Tav. L, fig. 3].

FIG. 16. — Larva. ( $\frac{60}{1}$ ).

FIG. 17-18. — Femmina adulta, vista dal ventre e dal dorso. ( $\frac{20}{1}$ ).

FIG. 19. — Antenna della femmina.

Fig. 20-26. — **LECANIUM OLEAE** [p. 527; vedi anche Tav. L, fig. 2].

FIG. 20. — Larva vista dal dorso. ( $\frac{60}{1}$ ).

FIG. 21-22. — Antenna e zampa della larva.

FIG. 23. — Larva vista dalla parte ventrale. ( $\frac{60}{1}$ ).

FIG. 24. — Femmina adulta, vista dal dorso. ( $\frac{20}{1}$ ).

FIG. 25-26. — Zampa ed antenna della femmina adulta.



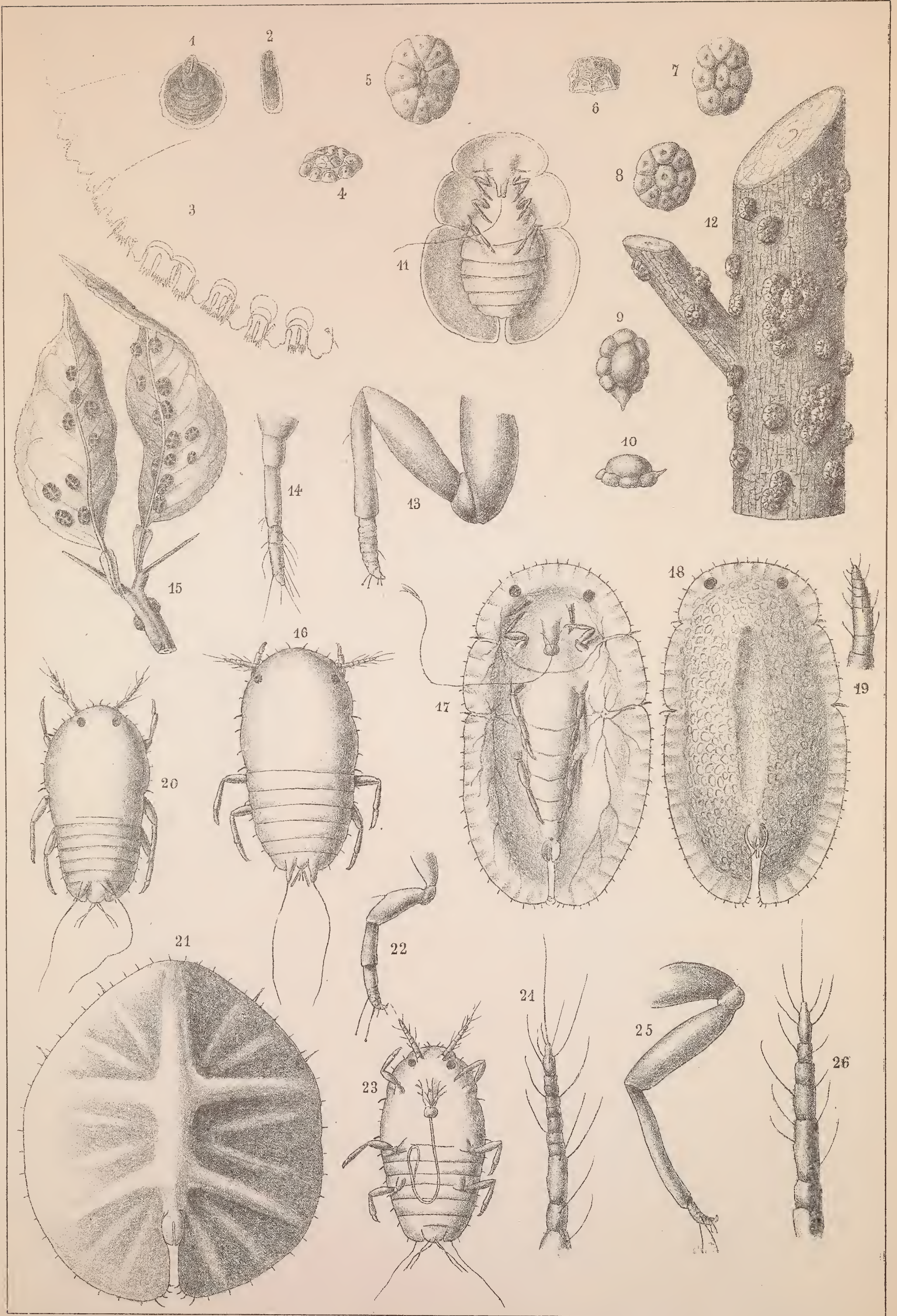




TAVOLA LVIII.

## TAVOLA LVIII.

Fig. 1-6. — **DACTYLOPIUS CITRI** Targ. Tozz. [p. 530; vedi anche Tav. LI, fig. 2].

FIG. 1-2. — Femmina adulta, vista dal dorso e dal ventre. ( $\frac{20}{1}$ ).

FIG. 3-4. — Zampa ed antenna della femmina adulta.

FIG. 5. — Larva. ( $\frac{20}{1}$ ).

FIG. 6. — Antenna della larva.

FIG. 7. — *Icerya Purchasi* Comst. [p. 534; copiata dal COMSTOCK].

FIG. 8. — *Dactylopius Citri* Targ. Tozz. (*D. destructor* Comst.): maschio adulto [p. 530; copiato dal COMSTOCK].

FIG. 9. — *Dactylopius Citri* Targ. Tozz. (*D. destructor* Comst.): femmina adulta [p. 530; copiata dal COMSTOCK]. ( $\frac{5}{1}$ ).

FIG. 10. — *Typhlodromus oleivorus* Pack. [p. 548; figure copiate dall'HUBBARD]: *a* = acaro visto dal dorso ( $\frac{100}{1}$ ); *b* = lo stesso, visto da un lato ( $\frac{100}{1}$ ); *c* = uovo maturo ( $\frac{200}{1}$ ); *d* = zampetta dell'acaro ( $\frac{200}{1}$ ).

Fig. 11-13. — **LEIOSOMA NITENS** [p. 547; figure copiate dal BERLESE].

FIG. 11. — Femmina adulta. ( $\frac{140}{1}$ ).

FIG. 12. — Maschio (senza zampe) visto dal lato ventrale ( $\frac{140}{1}$ ).

FIG. 13. — Cefalotorace della femmina. ( $\frac{200}{1}$ ).

FIG. 14. — *Heliothrips haemorrhoidalis* Bouché [p. 446]: femmina adulta ( $\frac{40}{1}$ ) [figura copiata dall'HEEGER].

FIG. 15. — *Tetranychus Aurantii* Targ. Tozz.: [p. 546; figura copiata dall'autore]: acaro adulto ( $\frac{80}{1}$ ).

FIG. 16. — *Tetranychus Aurantii* Targ. Tozz.: estremità delle zampe. ( $\frac{200}{1}$ ).

Fig. 17-22. — **HALTEROPHORA HISPANICA** (De Brême) Rond. [p. 471; fig. 17, 18, 20 e 22 copiate dal DE BRÊME; fig. 19 e 21 copiate dai disegni di ALFONSO].

FIG. 17. — Maschio. ( $\frac{7}{1}$ ).

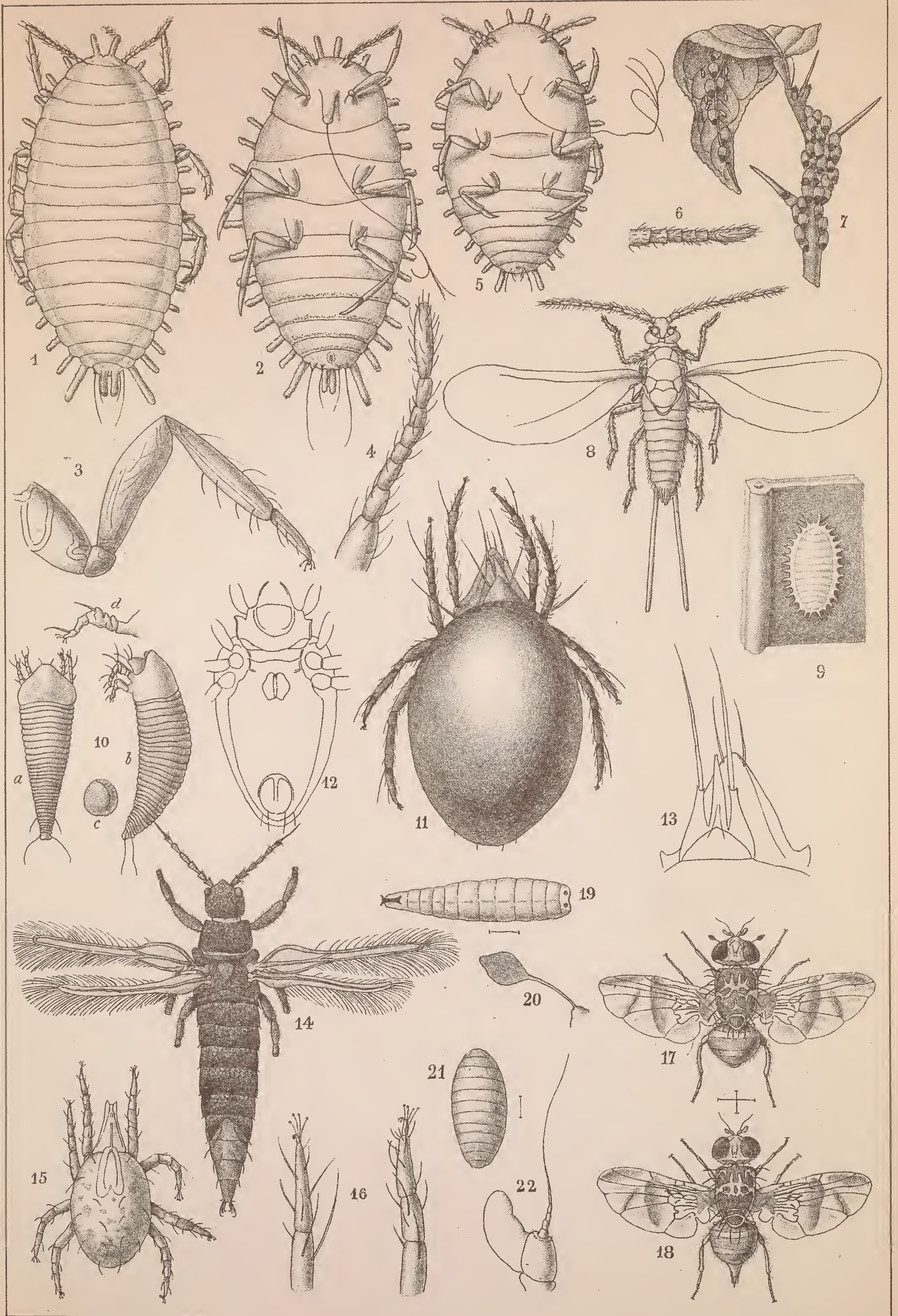
FIG. 18. — Femmina. ( $\frac{7}{1}$ ).

FIG. 19. — Larva. ( $\frac{7}{1}$ ).

FIG. 20. — Laminetta pedunculata, inserita sulla fronte del maschio. ( $\frac{30}{1}$ ).

FIG. 21. — Pupa. ( $\frac{6}{1}$ ).

FIG. 22. — Antenna dell'insetto perfetto. ( $\frac{80}{1}$ ).

























SMITHSONIAN LIBRARIES



3 9088 01837 7317